

RELAZIONE GEOLOGICA E GEOTECNICA

SULLE INDAGINI ESEGUITE PER IL PIANO URBANISTICO ATTUATIVO AMBITO ASP_AN1.8

IN COMUNE DI IMOLA (BO)

Committente:

Zini Elio s.r.l.

Via I Maggio 47 - 40026 Imola (BO)

C.F. e P. IVA 01543211203

Pavirani s.r.l.

Via Gaspari 5/2 – 40033 Casalecchio di Reno (BO)

Imola 21 dicembre '20





Sommario

1	PREN	MESSA	•••••	3
2	VINC	COLISTICA		4
	2.1 2.2 2.3	Piano di gestione del rischio alluvioni	5	
3	INQL	JADRAMENTO GEOLOGICO REGIONALE	••••••	8
	3.1 3.2	INQUADRAMENTO GEOLOGICO STRUTTURALE		
4	STRA	ATIGRAFIA DELLE UNITÀ QUATERNARIE CONTINENTALI		11
	4.1 4.2 4.3 4.4	Supersintema emiliano-romagnolo	12	
5	INDA	AGINI GEOGNOSTICHE E MODELLO DEL SOTTOSUOLO	•••••	16
	5.1 5.2	INDAGINI PREGRESSE IN PROSSIMITÀ DEL SITO		
6	PRO	GETTAZIONE GEOTECNICA	•••••	25
7	SISM	IICITÀ DELL'AREA		28
	7.1 7.2 7.3	CARATTERIZZAZIONE SISMICA DEL TERRENO ATTRAVERSO PROVE HVSR	44	
8	CON	CLUSIONI		47



1 Premessa

Su incarico di Zini Elio s.r.l. è stata eseguita un'indagine geologica e geotecnica per il Piano Urbanistico Attuativo dell'ambito 1.8, a Imola, intesa ad accertare alcune caratteristiche geomeccaniche dei terreni su cui dovranno effettuarsi gli interventi come da progetto.

Si sono pertanto individuati i tipi litologici e alcune proprietà dei terreni medesimi, che verranno descritti di seguito.



Figura 1: Ubicazione area di intervento

L'indagine è stata eseguita direttamente sull'area mediante l'esecuzione di n° 8 prove penetrometriche statiche, 2 sondaggi a carotaggio continuo attrezzati a piezometro e 2 prove tromografiche HVSR, sono state inoltre considerati ed analizzati i dati di precedenti indagini eseguite in aree limitrofe ed i dati di indagini fornite dal Servizio Geologico, Sismico e dei Suoli della regione Emilia-Romagna.



2 Vincolistica

Di seguito vengono riportati i vincoli e gli strumenti di pianificazione che interessano direttamente l'area in oggetto.

2.1 Piano di gestione del rischio alluvioni

Il piano di gestione del rischio alluvioni della Regione Emilia-Romagna fornisce le "Mappe di Pericolosità ed Elementi Esposti" e le "Mappe del Rischio alluvioni", queste sono riferite o al "Reticolo naturale principale e secondario" oppure al "Reticolo secondario di pianura". L'area oggetto di studio è ricompresa nelle tavole "239 NO - Imola". Sia la "Mappa di pericolosità ed elementi esposti" relativa al Reticolo naturale principale e secondario che la carta relativa al Reticolo secondario di pianura indicano l'area indagata come *P2-M* (alluvioni poco frequenti, tempo di ritorno tra 100 e 200 anni, media probabilità).

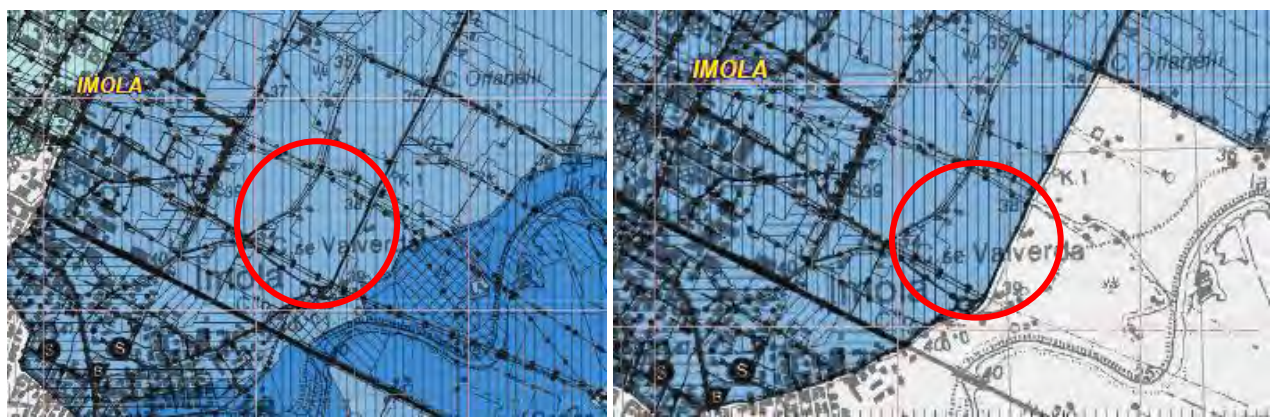


Figura 2 e Figura 3: Mappa di pericolosità ed elementi esposti, reticolo naturale principale e secondario e reticolo secondario di pianura

Sulla base delle Mappe di Pericolosità sono elaborate le mappe del Rischio di seguito riportate.

La "Mappa del rischio alluvioni" classifica l'area in oggetto risulta: R2 (rischio medio): per il quale sono possibili danni minori agli edifici, alle infrastrutture e al patrimonio ambientale che non pregiudicano l'incolumità delle persone, l'agibilità degli edifici e la funzionalità delle attività economiche. per la carta relativa al Reticolo naturale principale e secondario, mentre R1 (rischio moderato o nullo).

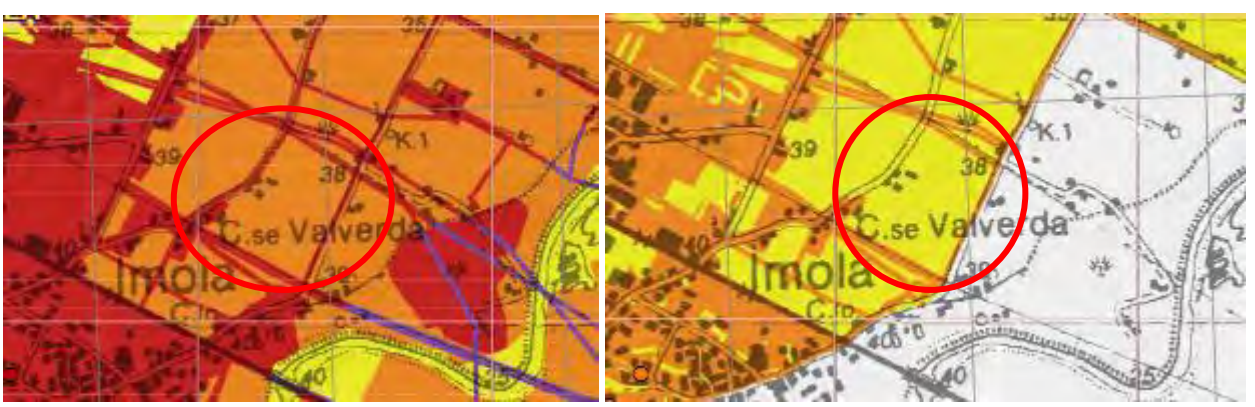


Figura 4 e Figura 5: Mappa del rischio alluvioni, reticolo naturale principale e secondario e reticolo secondario di pianura



2.2 Piano Territoriale di Coordinamento Provinciale

La tavola 2 A - Rischio da frana, assetto dei versanti e gestione delle acque meteoriche, foglio IV, allegata al Piano territoriale di coordinamento provinciale indica che l'area in oggetto appartiene all'ambito di controllo degli apporti d'acqua in pianura, assoggettandola perciò all'articolo 4.8 delle norme tecniche d'attuazione.

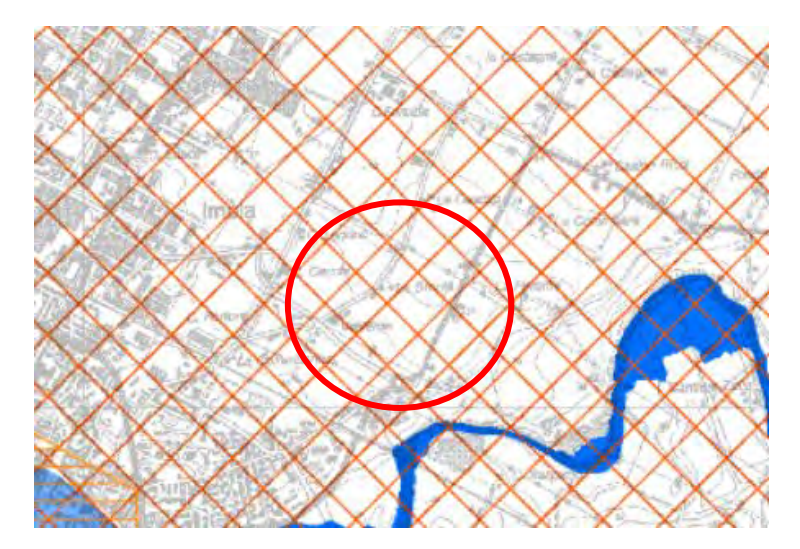


Figura 6: Tav. 2 A, foglio IV

2.3 Microzonazione sismica

Di seguito vengono riportate le tavole di microzonazione sismica relative all'area in oggetto.

La tavola 2 - *Potenziale liquefazione nelle aree di pianura* indica che i criteri per la potenziale liquefazione non sono del tutto verificati, nonostante le analisi di liquefazione effettuate dalla Regione Emilia-Romagna e dal Circondario Imolese nei dintorni dell'area in oggetto abbiano dato esiti prevalentemente negativi. Dai dati Arpa la soggiacenza della falda nell'area indagata risulta maggiore di 3,5 m da p.c.

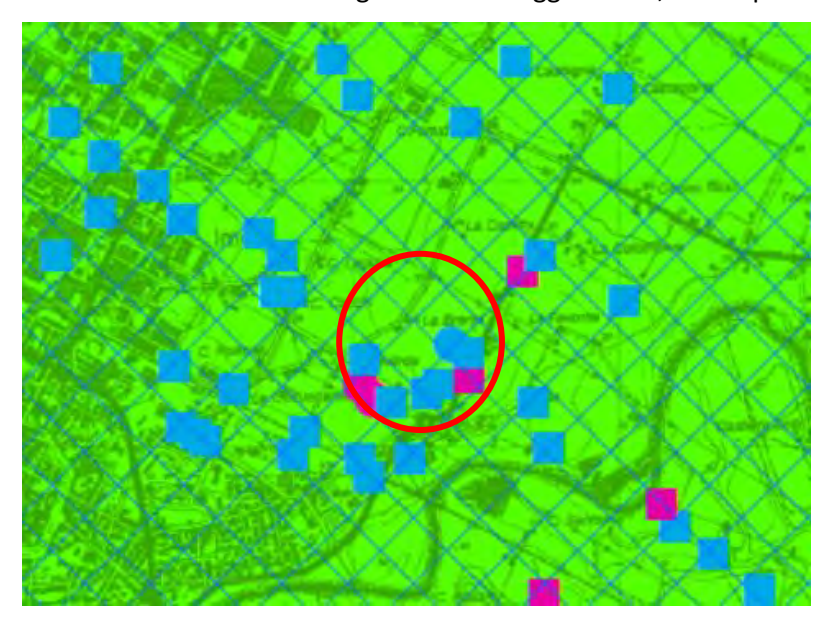


Figura 7: Tav. 2 Potenziale liquefazione nelle aree di pianura



La tavola 3 - Potenziali cedimenti post-sismici nelle aree di pianura indica che l'area in oggetto è caratterizzata da un'ininfluente presenza di depositi coesivi molto soffici. I triangoli indicano le analisi dei cedimenti effettuate dalla Regione Emilia-Romagna: i triangoli azzurri indicano cedimenti post-sismici non attesi per assenza di sedimenti con Cu<70KPa entro la profondità di 10 m dal p.c., mentre i triangoli verdi indicano cedimenti post-sismici non attesi per ridotto spessore cumulato (max 2 m) di sedimenti con Cu<70 KPa entro la profondità di 10 m dal p.c.

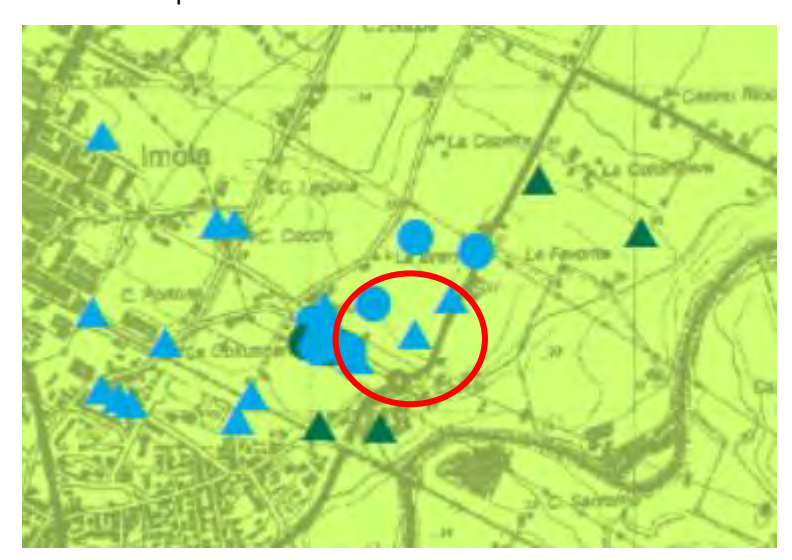


Figura 8: Tav. 3 Potenziali cedimenti post-sismici nelle aree di pianura

La Tav. 5 Foglio 3 - Carta comunale delle aree suscettibili di effetti locali - analisi di I livello indica che l'area in oggetto viene classificata come "A - Area potenzialmente soggetta ad amplificazione per caratteristiche litologiche".



Figura 9: Tav. 5.3 Carta comunale delle aree suscettibili di effetti locali - analisi di I livello



La Tav. 10 Foglio 3 - *Carta di sintesi* indica che la zona indagata è ricompresa nelle aree oggetto di approfondimento di secondo livello.



Figura 10: Tav. 10.3 - Carta di sintesi



3 Inquadramento geologico regionale

3.1 Inquadramento geologico strutturale

Il Bacino Padano costituisce il riempimento dell'avanfossa plio-pleistocenica sviluppatasi al margine della catena appenninica in via di sollevamento. Al suo limite meridionale, il Bacino Padano è delimitato da un importante fronte di accavallamento, noto come Pedeapenninic Thrust Front o PTF (Boccaletti et al., 1985). Il PTF, un lineamento tettonico allungato parallelamente all'Appennino e segmentato da numerose linee tettoniche trasversali (Castellarin et al., 1985), separa la catena in via di sollevamento a sud da un'area fortemente subsidente a nord.

Le ricerche condotte dall'AGIP nel corso degli ultimi decenni hanno fornito le basi per la ricostruzione della struttura profonda del Bacino Padano mediante l'interpretazione di profili sismici (Pieri & Groppi, 1981; Dondi et al., 1982; Castellarin et al., 1985; Dondi & D'Andrea, 1986; Dalla et al., 1992). Recentemente, sulla base di criteri stratigrafico-sequenziali, Regione Emilia-Romagna & ENI-AGIP (1998) e Regione Lombardia & ENI-Divisione Agip (2000) hanno suddiviso il Bacino Padano in sette sequenze deposizionali, delimitate a base e a tetto da superfici di inconformità e da superfici correlative di continuità stratigrafica (figura 1). Queste sequenze, i cui limiti marcano importanti fasi di ristrutturazione del bacino nel corso dell'orogenesi, con denudamento delle aree marginali e incremento della subsidenza in quelle centrali, mostrano un grado di deformazione progressivamente decrescente dal basso verso l'alto, con valori minimi in corrispondenza della successione medio e tardoquaternaria.

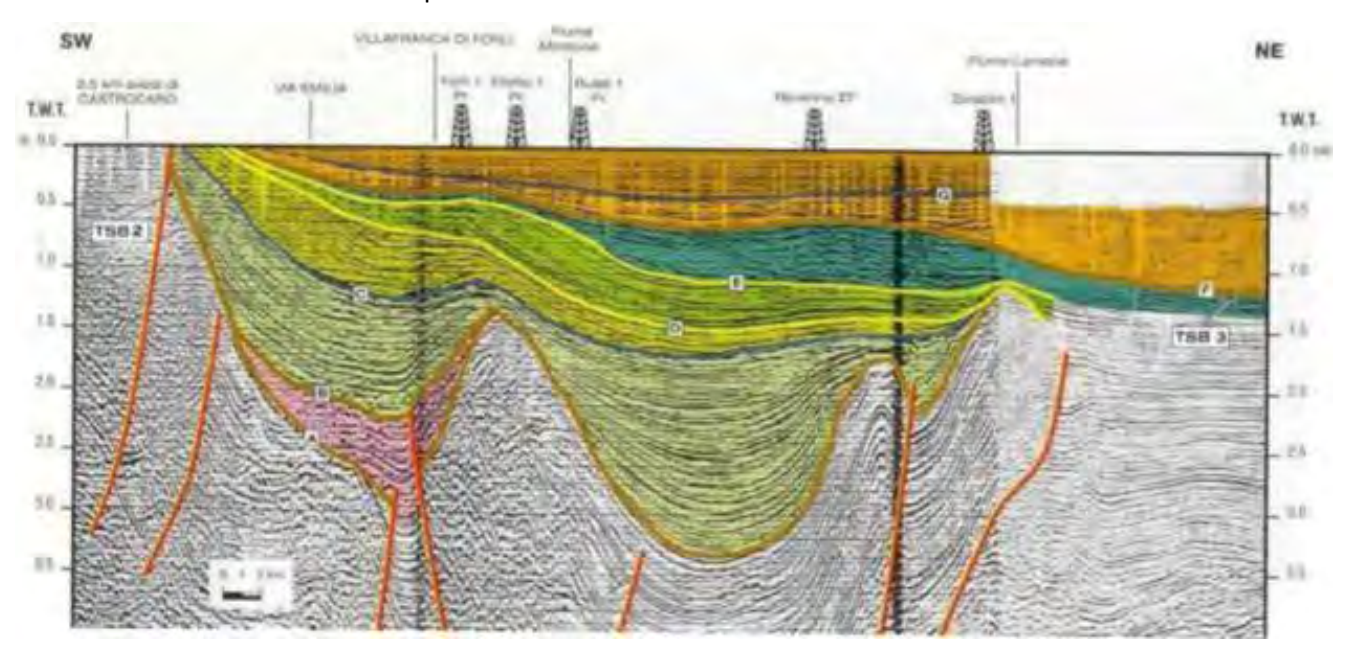


Figura 11: sezione sismica che illustra la struttura del Bacino Padano e la sua suddivisione in sequenze deposizionali (da Regione Emilia-Romagna & ENI-AGIP, 1998).

Il basso grado di deformazione tettonica della sequenza deposizionale più recente (situata al di sopra della discontinuità "G" in figura 11) consente una buona preservazione dei rapporti originari tra facies all'interno dei depositi datati agli ultimi 400.000 anni. Ricostruzioni stratigrafiche e sedimentologiche di dettaglio



all'interno di questa sequenza, basate sullo studio di sondaggi a carotaggio continuo profondi fino a 200m, hanno messo in luce come una ciclicità deposizionale alla scala milankoviana, definita dall'alternanza di cicli glaciale/interglaciale di circa 100.000 anni di durata, rappresenti il principale elemento di controllo dell'architettura stratigrafica (Amorosi et al., 2004; Amorosi & Colalongo, 2005), permettendo l'attribuzione delle superfici trasgressive a successivi episodi interglaciali (stadi isotopici dell'ossigeno 1, 5e, 7, 9 e 11 in Fig. 12 - Amorosi & Colalongo, 2005).

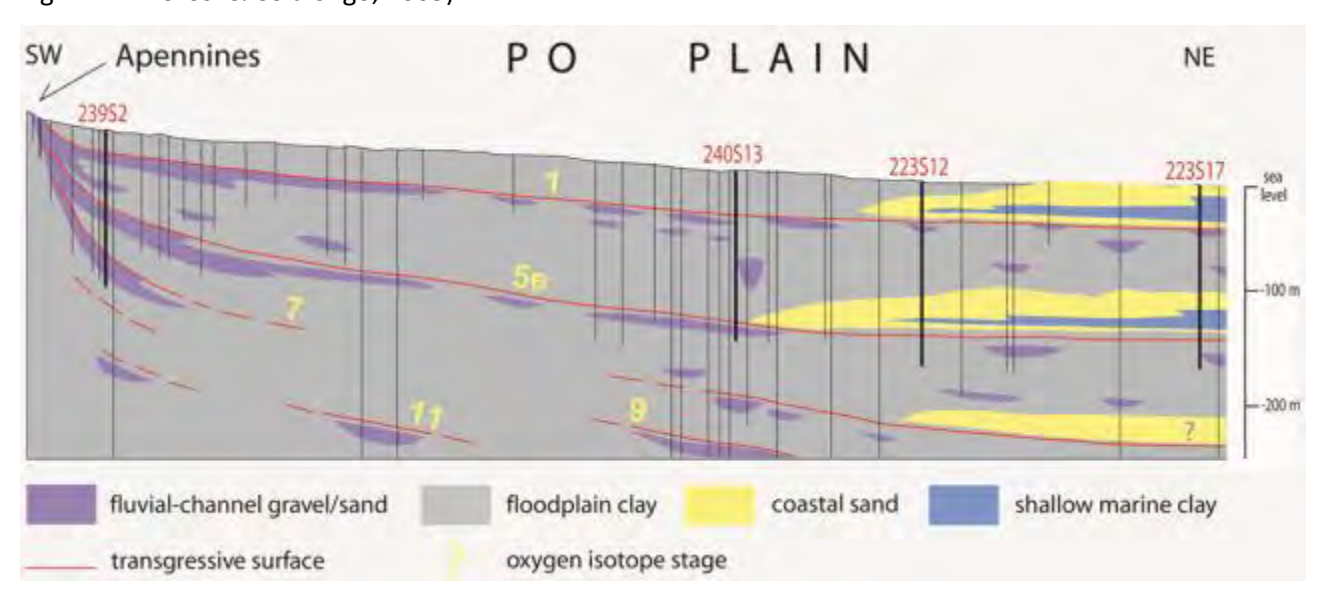


Figura 12: stratigrafia del Bacino Padano, dal margine appenninico al Mare Adriatico, e sua suddivisione in sequenze trasgressivo-regressive legate alla ciclicità milankoviana dei 100.000 anni. Si osservino i rapporti stratigrafici tra depositi di conoide alluvionale (in viola) e litorali (in giallo), separati da superfici trasgressive (da Amorosi & Colalongo, 2005).

Come osservabile in figura 12, i depositi tardoquaternari al margine del Bacino Padano sono dominati da spessi accumuli di sedimenti di conoide alluvionale, che costituiscono i principali acquiferi dell'intera area padana. Si tratta di spessi pacchi di ghiaie amalgamate, sovrapposti e saldati lateralmente per spessori complessivi dell'ordine delle centinaia di metri e con un'estensione laterale di decine di km parallelamente al margine appenninico. Questi corpi tendono a sfrangiarsi verso la pianura, interdigitandosi con sedimenti limoso-argillosi di piana inondabile e dando origine a caratteristiche sequenze trasgressivo-regressive.

A valle dei conoidi alluvionali il Bacino Padano è dominato da spessi pacchi di depositi di piana inondabile, che si interpongono tra i corpi di conoide alluvionale ed un secondo sistema di acquiferi, legato all'attività del Fiume Po. La piana costiera, infine, presenta caratteristici corpi sabbiosi cuneiformi di spiaggia, derivanti dalla migrazione della linea di costa verso terra durante le maggiori pulsazioni trasgressive, seguita dalla progradazione dei sistemi costieri (delta e spiagge) durante le successive fasi di stazionamento alto del livello del mare (fig.12).



3.2 Inquadramento geologico

Il Foglio 239 Faenza ricade a cavallo del margine appenninico-padano; la porzione sud-occidentale, pari a circa il 40%, è costituita dai primi rilievi dell'Appennino romagnolo mentre la maggior parte del foglio, nordorientale, appartiene alla Pianura Padana.

Le unità geologiche affioranti nel settore appenninico appartengono alla Successione Umbro-Marchigiano-Romagnola (da qui in avanti UMR), alla Successione evaporitica messiniana e alla Successione postevaporitica del margine padano-adriatico.

Si tratta di successioni che non hanno subito importanti traslazioni orizzontali e perciò ritenute autoctone. Le successioni affioranti si immergono a monoclinale, piuttosto regolarmente, verso nord-est e in pianura sono ricoperte dai depositi alluvionali padani (fig. 12).

Per la regolare immersione verso nord-est, l'età delle formazioni affioranti è sempre più giovane procedendo da sud-ovest verso nord-est.

Arealmente la maggior estensione delle unità appenniniche affioranti è rappresentata dai terreni pliopleistocenici, mentre la maggiore caratterizzazione dei rilievi è dovuta alla "vena del gesso" messiniana, che per la sua peculiarità lito- logica caratterizza in modo evidente da un lato gli aspetti naturalistici, quali ad esempio geositi e clima, dall'altro gli insediamenti umani e la storia dell'area.

L'unità stratigrafica affiorante più antica è la Formazione Marnoso-Arenacea Romagnola (FMA), di cui il Membro di Dovadola (Tortoniano inferiore) costituisce nel foglio in esame l'unità stratigraficamente più bassa mentre la parte alta è rappresentata dal Membro di Borgo Tossignano (Tortoniano superiore) che rappresenta la fine della sedimentazione torbiditica nell'avanfossa miocenica.

Il passaggio al Messiniano presenta iniziali condizioni di mare aperto (ambiente epibatiale dell'unità Ghioli di Letto, GHL) a cui fa seguito il graduale abbassamento relativo del livello del mare che porta all'instaurarsi di bacini confinati caratterizzati da forte evaporazione, fino ad ambienti di "sabka" in cui si è sedimentata la Formazione della Vena del Gesso (VGS) Dopo la crisi di salinità del Messiniano si instaurano condizioni di lago-mare e laguna, testimoniati dai depositi della Formazione a Colombacci (FCO) (ricci Lucchi et alii, 1982).

Le unità messiniane, tuttavia, sono qui rappresentate da una successione incompleta per la presenza di una superficie inconforme che oblitera di frequente i termini più alti quali la FCO, mentre forti disturbi tettonici in destra del torrente Sintria (un affluente di destra del torrente Senio), alterano il passaggio dai depositi fini appartenenti a GHL e VGS.

Un contatto paraconcordante separa i depositi continentali e di laguna appartenenti a FCO da quelli francamente marini delle Marne di Cella (CEA) e di avanfossa appartenenti alle Argille Azzurre (FAA) di età compresa tra il Pliocene basale, età delle Marne di Cella, e la parte alta del Pleistocene inferiore, tetto delle Argille Azzurre Per tutta la durata del Pliocene si mantengono condizioni di sedimentazione bacinali;



tuttavia, nel Pliocene Medio, si depositano anche sedimenti legati a locali condizioni euxiniche (litofacies tripolacea, FAAtr) e depositi clastici organogeni

Dal Pleistocene inferiore si instaura un trend marcatamente regressivo; entro i depositi di FAA si osserva infatti un graduale passaggio da condizioni di scarpata continentale ad ambienti litorali, come evidenziato dalle peliti di Terra del Sole (FAAts) Nell'area del foglio è stato inoltre descritto, per la prima vol- ta, un ulteriore ciclo trasgressivo-regressivo (Arenarie e Argille di Savignano) al tetto di FAA, attribuito alla parte terminale del Pleistocene inferiore (Amorosi et alii, 1998b; Vaiani, 2000) e correlato con le Arenarie e Argille di Savignano (FarabegoLi, 1987), già descritte nel Foglio 256 Rimini (2005) Al di sopra di questi sedimenti con una superficie discordante erosiva su FAAts e localmente sulle Arenarie e Argille di Savignano si hanno le Sabbie di Imola (Amorosi et alii, 1998a). Si tratta di depositi medio pleistocenici, essenzialmente litorali, che costituiscono le unità marine più alte del margine appenninico.

La successione marina è troncata al tetto dai depositi ghiaiosi e sabbiosi alluvionali del Supersintema Emiliano-Romagnolo di età Pleistocene medio- Olocene. Questi depositi sono presenti in lembi discontinui nelle valli appenniniche, dove corrispondono a depositi di terrazzi intravallivi, mentre occupano interamente il settore di pianura del foglio 239.

4 Stratigrafia delle unità quaternarie continentali

4.1 Supersintema emiliano-romagnolo

Il Supersintema Emiliano-Romagnolo è l'unità stratigrafica che comprende l'insieme dei depositi quaternari di origine continentale affioranti al margine appenninico padano e dei sedimenti ad essi correlati nel sottosuolo della pianura emiliano-romagnola Questi ultimi comprendono depositi alluvionali, deltizi, litorali e marini, organizzati in successioni cicliche di vario ordine gerarchico. In affioramento, al margine appenninico padano, il Supersintema Emiliano-Romagnolo coincide con il ciclo Qc di ricci Lucchi et alii (1982) e presenta un limite inferiore inconforme, evidenziato da una discordanza angolare sui depositi litorali delle Sabbie di Imola o su quelli marini di età più antica. Nel sottosuolo della pianura emiliano-romagnola, al margine del bacino padano il Supersintema Emiliano- Romagnolo appoggia in discordanza angolare su depositi correlati alle Sabbie di Imola. Il limite superiore coincide col piano topografico.

Nell'insieme, la geometria dell'unità è marcatamente cuneiforme, con spessori variabili da poche decine di metri nei pressi del margine pedecollinare sino a circa 330 metri nella zona depocentrale, ubicata nel settore settentrionale del Foglio.

L'età del Supersintema è attribuibile al Pleistocene medio - Olocene (2 700 000 anni B P - Attuale).



4.2 Sintema emiliano-romagnolo inferiore (AEI)

Il Sintema Emiliano-Romagnolo Inferiore costituisce la porzione più antica, non affiorante, del Supersintema Emiliano-Romagnolo Considerata la profondità media- mente elevata (sino ad oltre 200 metri dal piano campagna) alla quale viene intercettato il tetto di AEI nel sottosuolo della pianura del Foglio 239, sono pochi i casi di sondaggi in grado di descriverne l'organizzazione delle facies.

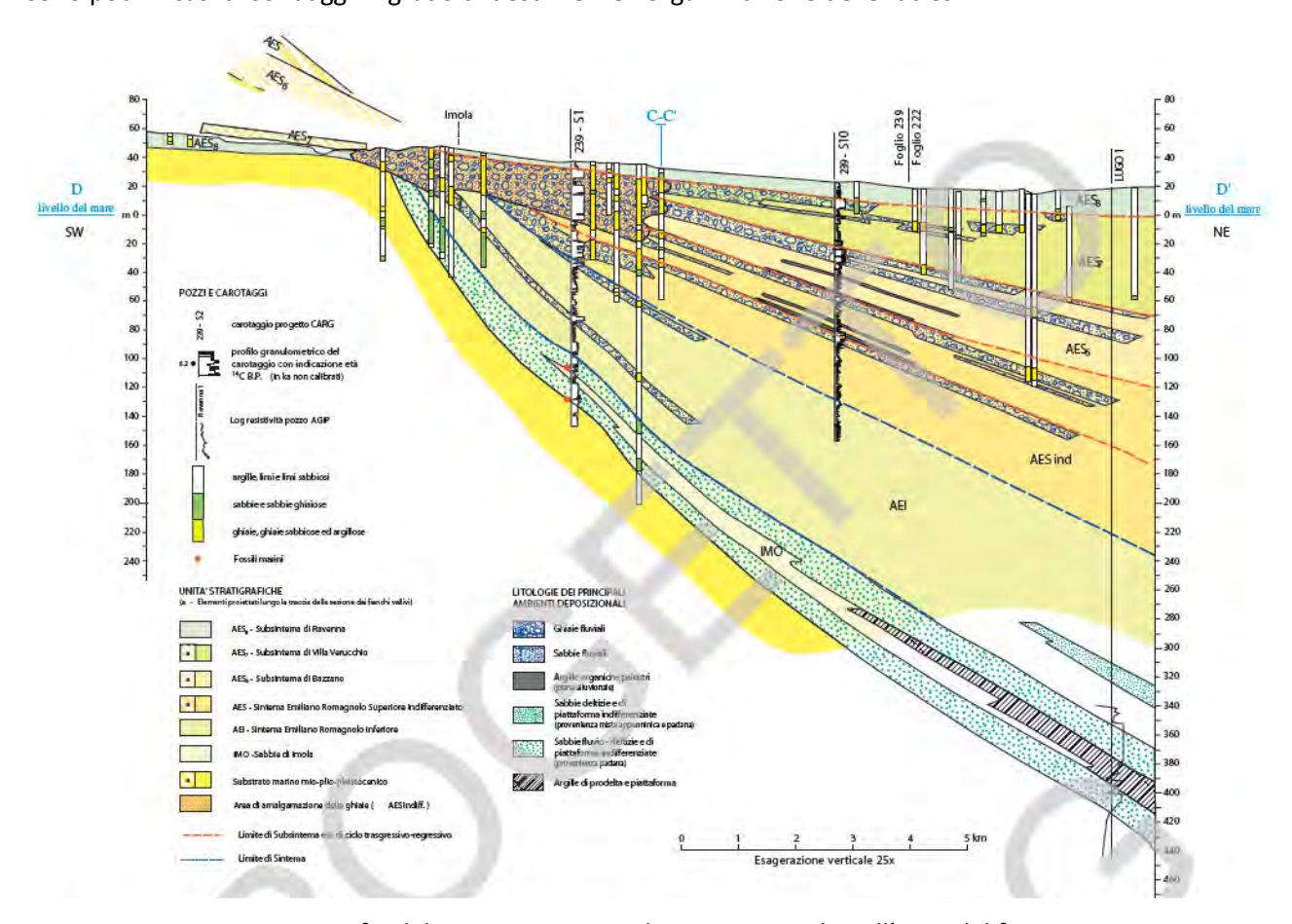


Figura 13: stratigrafia del Supersintema Emiliano Romagnolo nell'area del fiume Santerno

In corrispondenza del sondaggio 239-S1, che attraversa l'intero Sintema Emiliano-Romagnolo Superiore raggiungendone la base intorno a – 140 m dal piano campagna, AEI è costituita prevalentemente dall'alternanza di limi/argille e sabbie, con una quantità estremamente subordinata di ghiaie.

Sequenze positive di canale fluviale, a base erosiva e relativamente elevato contenuto in ghiaia, sono riconoscibili in corrispondenza delle principali aste fluviali sulla base della Banca Dati Geologici della Regione Emilia- Romagna.

L'ambiente deposizionale è di piana alluvionale con abbondante sviluppo d'aree topograficamente depresse di tipo palustre, colmate in seguito ad episodi di rotta fluviale.

Lo spessore di AEI diminuisce rapidamente verso il margine della pianura, a causa di fenomeni erosivi precedenti la messa in posto di AES e il sintema non è mai affiorante al margine appenninico.



Nel sondaggio 239 - S1, dove è riconoscibile in carota il contatto tra AEI e i sottostanti depositi litorali riferiti alle Sabbie di Imola a una profondità di quasi - 140 m dal piano campagna, AEI presenta uno spessore complessivo di circa 65 metri.

L'età attribuita ad AEI è, per posizione stratigrafica, il Pleistocene medio. In regione Emilia-Romagna & ENI-AGIP (1998), l'unità è datata tra 350-450 ka e 650 ka.

4.3 Sintema emiliano-romagnolo Superiore (AES)

Il Sintema Emiliano-Romagnolo Superiore (AES) costituisce la porzione più recente del Supersintema Emiliano-Romagnolo e comprende la totalità dei depositi continentali affioranti all'interno del Foglio Faenza. Lo spessore di AES varia da pochi metri al margine appenninico fino a un massimo di 210 metri nel sottosuolo di Borgo Cotignola, in corrispondenza della zona depocentrale. Nel settore occidentale del Foglio (poco a nord di Imola), dove il margine del Bacino Padano, segnato dall'adiacente catena appenninica, è più vicino, lo spessore di AES è di circa 80-100 metri.

Nelle porzioni intravallive e di margine appenninico, l'unità è costituita da depositi terrazzati di piana alluvionale intravalliva che appoggiano in discordanza su depositi marini più antichi e localmente su AEI (figg. 18 e 19). Si tratta di ghiaie e sabbie di canale fluviale passanti ad alternanze di argille, limi e sabbie di piana inondabile variamente pedogenizzati.

I singoli subsintemi, correlabili su più aste fluviali, corrispondono a singoli terrazzi alluvionali o a insiemi di terrazzi alluvionali attribuibili a più ordini. Terrazzi alluvionali appartenenti a subsintemi differenti sono separati da ampie scarpate erosive e spesso si caratterizzano per diversa giacitura e differente grado di evoluzione pedogenetica.

Dei diversi subsintemi che compongono AES, cinque (AES4, AES5, AES6, AES7 e AES8) sono chiaramente identificabili nell'area del Foglio Faenza. AES4, AES5, AES6 e AES7 affiorano unicamente nel settore intravallivo e allo sbocco dei torrenti appenninici in pianura, mentre AES8 affiora in tutta l'area di pianura.

AES è caratterizzata al suo interno dall'alternanza ciclica, su spessori dell'ordine di 20-40 m, di pacchi di materiale fine (limi e argille, frequentemente torbose, e subordinate sabbie di piana inondabile) con depositi in cui la componente grossolana (definita principalmente da ghiaie di canale fluviale) è prevalente o comunque abbondante. Lo spessore dei corpi grossolani diminuisce in modo evidente sottocorrente, muovendosi da SW verso NE In particolare, in aree prossimali (sottosuolo di Imola e di Faenza) le ghiaie si presentano frequentemente amalgamate in corpi di circa 20 metri o 30 metri di spessore.

All'interno dei singoli cicli deposizionali i corpi grossolani passano verso l'alto da geometrie prevalentemente nastriformi, individuabili nella porzione pelitica dei cicli, a geometrie prevalentemente tabulari e tabulari-allungate, caratteristiche delle porzioni prevalentemente grossolane (Amorosi & Farina, 1995; Amorosi *et alii*, 2003).

L'età della base di AES è attribuita al Pleistocene medio (350-450 ka secondo regione Emilia-Romagna & ENI-AGIP, 1998).



4.3.1 Subsintema di Ravenna (AES8)

É l'elemento sommitale del Sintema Emiliano-Romagnolo Superiore e comprende la maggior parte dei depositi quaternari affioranti nel Foglio Faenza.

Al tetto di AES8 è stata inoltre distinta e cartografata un'unità di rango inferiore denominata Unità di Modena (AES8a).

Nei settori intravallivi e allo sbocco delle valli appenniniche il Subsintema di Ravenna è costituito da depositi di terrazzo alluvionale I singoli ordini di terrazzo sono separati da scarpate di pochi metri. I depositi di terrazzo sono generalmente costituiti da circa due metri di ghiaie, sovrastati da una copertura limososabbiosa il cui profilo di alterazione pedogenetica può raggiungere circa un metro di spessore.

In posizione più distale rispetto allo sbocco delle valli appenniniche, AES8 affiora estesamente e la sua parte sommitale è costituita da depositi sabbioso-limosi di canale, argine e rotta fluviale, organizzati in corpi sedimentari di spessore plurimetrico a geometria prevalentemente nastriforme. Questi fanno transizione laterale a sedimenti prevalentemente argillosi e subordinatamente limosi e sabbiosi di piana inondabile (bacino interfluviale). I corpi ghiaiosi sono rari.

In pianura, al di sopra dell'orizzonte palustre sono presenti depositi alluvionali.

Età: Pleistocene superiore-Olocene (13 ka-Attuale), su base radiometrica.



4.4 Inquadramento geologico dell'area oggetto di studio

L'area di indagine si trova circa 2,3 km a sud della Autostrada A14, tra via Lughese, via Patarini e via Valverda, in comune di Imola (BO).

L'area è attualmente caratterizzata da usi agricoli, è pianeggiante ed il piano campagna è impostato ad una quota topografica di circa 37 metri s.l.m.

La zona oggetto d'indagine si situa sui depositi alluvionali del fiume Santerno, appartenenti al Subsintema AES8 Subsintema di Ravenna, già descritto precedentemente. La gestione delle acque è affidata alla rete di fossi lungo strada ed interpoderali.

Il principale collettore naturale delle acque in prossimità della zona in oggetto è fiume Santerno, che scorre tra 380 e 700 m a SE.

Di seguito si riporta la cartografia geologica dell'area oggetto d'indagine.



Figura 14:- Carta Geologica del Servizio Geologico Regionale della Regione Emilia-Romagna



5 Indagini geognostiche e modello del sottosuolo

5.1 Indagini pregresse in prossimità del sito

5.1.1 Sondaggio a carotaggio continuo

Il sondaggio seguito in via Patarini (ubicato in allegato 1), e commissionato allo scrivente parte di Con Ami ha individuato la seguente stratigrafia, le profondità sono espresse in m da piano campagna:

- 0,0 1,1 m: terreno di riporto
- 1,1 7,2 m: limo con sabbia e limo argilloso di colore marrone
- 7,2 16,70 m: ghiaia con sabbia debolmente limosa
- 16,7 18,0 m: limo sabbioso debolmente argilloso
- 18,0 20,0 m: argilla limosa grigia

La falda è presente a 16,0 m di profondità dal p.c.

5.1.2 Acquisizione MASW – Re.Mi.

In maggio 2018 è stata eseguita una prova MASW accoppiata a Re.Mi. nell'area in oggetto. Nel capitolo 7 "Sismicità dell'area verranno decritti i risultati ottenuti. L'ubicazione è nell'allegato 1.

5.2 Indagini eseguite nella presente campagna di indagini

5.2.1 Prove CPT

Dopo aver eseguito un sopralluogo per rilevare la geomorfologia e la litologia superficiale dell'area d'intervento, considerate le dimensioni e le caratteristiche dell'area da indagare, è stata eseguita una campagna d'indagini consistente in n.8 prove penetrometriche statiche (CPT) spinte fino a rifiuto.

Scopo della campagna d'indagini è rilevare la resistenza, l'uniformità e alcune caratteristiche geotecniche dei terreni, la presenza di terreno rimaneggiato e/o di riporto e di individuare il livello statico della falda freatica, se presente.

Per l'esecuzione delle prove penetrometriche statiche è stato utilizzato un penetrometro "olandese" tipo "GOUDA" della Ditta "Pagani" di Piacenza, da ton 20, pari a kN 200, di potenza di spinta, con punta meccanica e manicotto laterale di attrito tipo "Begemann". Le dimensioni della punta sono quelle dello Standard europeo:

- diametro: mm 35,7;
- angolo di apertura: 60°;
- area punta: cm2 10;
- diametro manicotto: mm 35,7;
- lunghezza manicotto: mm 133;
- Friction Area: cm² 150;
- velocità di avanzamento costante cm/sec 2,0.



Durante l'esecuzione delle prove vengono misurate la resistenza alla punta Rp (kg/cm²) e l'attrito al manicotto laterale RI (kg/cm²).

Tutte le profondità sono riferite al piano di campagna esistente al momento dell'esecuzione delle prove. Nell'area è presente un primo strato limoso sabbioso di spessore compreso tra 1,5 e 2,0 m circa, seguito da terreni limoso argillosi, con livelli argilloso limosi fino a circa 5,0/7,0 m di profondità. A seguire è presente uno strato sabbioso ghiaioso molto addensato.

Per quanto riguarda gli acquiferi sotterranei nel corso dell'esecuzione delle prove penetrometriche non è stata rinvenuta la presenza di falda.

CPT 1					
PROFONDITA' (m) LITOLOGIA		Y' t/m³	Cu KPa	ø	
0,0 - 1,4	Limi sabbiosi ad addensamento medio alto	1, 85	133	26	
1,4 – 2,0	Argille limose a consistenza medio		93	25	
2,0 – 3,0			79	24	
3,0 – 4,4 Limi argillosi a consistenza media		1,85	109	25	
4,4 – 5,2	Sabbie ghiaiose ad addensamento elevato	1, 85	-	28	

CPT 2						
PROFONDITA' (m)	LITOLOGIA	Y' t/m³	Cu KPa	ø		
0,0 - 1,6 Limi sabbiosi ad addensamento alto		1, 85	223	28		
1,6 – 2,6	Limi argillosi a consistenza alta	1,85	185	27		
2,6 – 5,4 Limi argillosi a consistenza medio alta		1,85	133	25		
5,4 – 5,8	Sabbie ghiaiose ad addensamento elevato	1, 85	-	28		

CPT 3				
PROFONDITA' (m)	LITOLOGIA	Y' t/m³	Cu KPa	ø
0,0 – 2,2	Limi argillosi ad addensamento medio alto		132	26
2,2 – 3,4	Limi argillosi a consistenza media	1,85	102	25
3,4 – 5,0	Limi argillosi a consistenza medio alta	1,85	137	26
5,0 – 5,2	Sabbie ghiaiose ad addensamento elevato	1, 85	-	28



CPT 4					
PROFONDITA' (m)	LITOLOGIA	Y' t/m³	Cu KPa	ø	
0,0 - 1,8	1,8 Limi sabbiosi ad addensamento alto		216	27	
1,8-2,4	Limi argillosi a consistenza medio alta	1,85	140	26	
2,4-3,2	Limi argillosi a consistenza media	1,85	95	25	
3,2 – 5,2	Limi argillosi a consistenza medio alta	1,85	151	26	
5,2-5,6	Sabbie ghiaiose ad addensamento elevato	1, 85	-	28	

CPT 5					
PROFONDITA' (m)	LITOLOGIA	Y' t/m³	Cu KPa	ø	
0,0 - 1,4	Limi sabbiosi ad addensamento medio alto	1, 85	156	26	
1,4 – 2,2	2,2 Limi argillosi a consistenza media		120	25	
2,2 – 3,8	2,2 – 3,8 Argille limose a consistenza medio bassa		76	24	
3,8 – 7,0 Limi argillosi a consistenza media		1,85	114	25	
7,0 – 7,6	Sabbie ghiaiose ad addensamento elevato	1, 85	-	28	

CPT 6					
PROFONDITA' (m)	LITOLOGIA	Y' t/m³	Cu KPa	ø	
0,0 - 1,6	Limi sabbiosi ad addensamento medio alto	1, 85	149	27	
1,6 – 2,0	Limi argillosi a consistenza medio alta	1,85	134	26	
2,0 – 4,0	Argille limose a consistenza media	1,85	85	24	
4,0 – 5,2	Limi argillosi a consistenza medio alta		141	26	
5,2 – 7,2	5,2 – 7,2 Limi argillosi a consistenza media		89	25	
7,2 – 7,6	Sabbie ghiaiose ad addensamento elevato	1, 85	-	28	



CPT 7					
PROFONDITA' (m)	LITOLOGIA	Y' t/m³	Cu KPa	ø	
0,0 – 2,0	Limi sabbiosi ad addensamento alto	1, 85	169	27	
2,0 – 2,6	,6 Argille limose a consistenza medio bassa		77	24	
2,6 – 5,4 Limi argillosi a consistenza medio alta		1,85	110	25	
5,4 – 5,8	Sabbie ghiaiose ad addensamento elevato	1, 85	-	28	

CPT 8					
PROFONDITA' (m)	Y' t/m³	Cu KPa	ø		
0,0 – 2,0	Sabbie limose ad addensamento alto	1, 85	210	27	
2,0 – 3,6	Limi argillosi a consistenza media	1,85	94	25	
3,6 – 6,2	Limi sabbiosi ad addensamento medio alto	1,85	157	26	
6,2 – 6,4	Sabbie ghiaiose ad addensamento elevato	1, 85	-	28	

5.2.2 Sondaggi a carotaggio continuo

Nella campagna di indagini sono stati effettuati due sondaggi spinti fino a 20 metri di profondità. Lo scopo di questa indagine aveva come obiettivo quello di ricavare la stratigrafia dell'area indagata, l'ubicazione della falda. In entrambi i sondaggi è stata inoltre eseguita una prova penetrometrica standard (SPT) in corrispondenza di un livello ghiaioso per trarne alcuni parametri geomeccanici. Nei sondaggi realizzati infine sono stati collocati 2 piezometri Norton posti fino a 20 metri dal piano campagna, fessurati da -8.0 a -20.0 m.

Per l'esecuzione dei sondaggi è stata utilizzata una macchina perforatrice CMV MK900 D1 avente come attrezzo perforatore un carotiere semplice di diametro Ø 101 mm, le prove sono state effettuate con il metodo del carotaggio continuo.

L'ubicazione dei sondaggi è riportata nell'allegato 1.

I due sondaggi presentano un andamento simile, di seguito una breve descrizione;

Nei primi metri, dal piano campagna fino a 2,40/2,60 metri di profondità si evince la presenza di limi e limi sabbiosi con presenza di calcinelli.

I limi sono seguiti da argille limose con calcinelli fino ad una profondità di 4,00/4,80 metri.

Nel primo sondaggio a differenza del secondo è stato individuato un piccolo strato limo argilloso tra 4,00 e 4,50 metri di profondità.



In entrambi segue poi uno strato caratterizzato da ghiaie a granulometria medio-fine con clasti da arrotondati a subarrotondati in matrice limo-sabbiosa aventi però differente spessore. Infatti, in S1 si colloca ad una profondità compresa tra i 5,00 e i 10,30 metri e in S2 tra i 6,70 e i 10,00 metri di profondità. Successivamente è stato individuato in entrambi i sondaggi uno strato di limo e limo argilloso con

Il secondo sondaggio prosegue poi con due piccoli strati non presenti in S1: il primo caratterizzato da argilla limosa con abbondanti calcinelli (da 11,80 a 12,60 metri) ed il secondo da limo passante a limo sabbioso (da 12,60 a 13,30 metri).

abbondanti calcinelli, avente uno spessore rispettivamente di 1,30 metri in S1 e 1,80 metri in S2.

Entrambi i sondaggi proseguono con uno strato ghiaioso a granulometria media-fine, a tratti grossolana, avente clasti da arrotondati a subarrotondati con presenza di sabbia e limo. In S1 si colloca tra 11,60 e 16,40 metri di profondità ed in S2 tra 13,30 e 17,30 metri di profondità. Nel primo sondaggio questo strato non è continuo ed è infatti interrotto da un sottile strato limoso posto ad una profondità compresa tra 12,60 e i 13,00 metri.

Sotto le ghiaie è stato individuato uno strato di limo con argilla in cui sono presenti abbondanti calcinelli (51: 16,40 - 19,30 m; 52: 17,30 - 20,00 m).

Per finire in S1 da 19,30 a 20,00 metri di profondità si trovano delle sabbie fini limose.

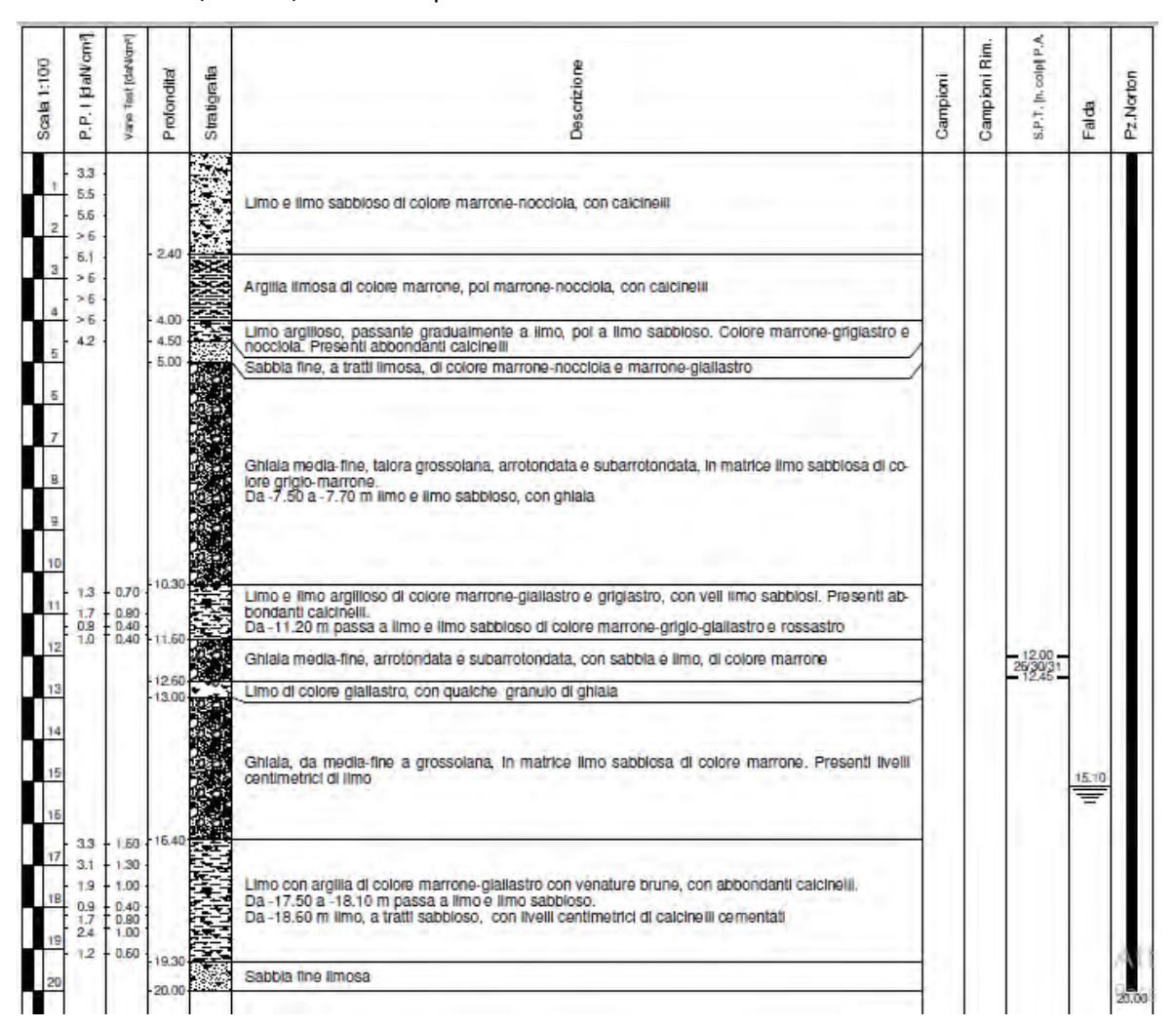


Figura 15:- Sezione stratigrafica ricavata dal sondaggio S1



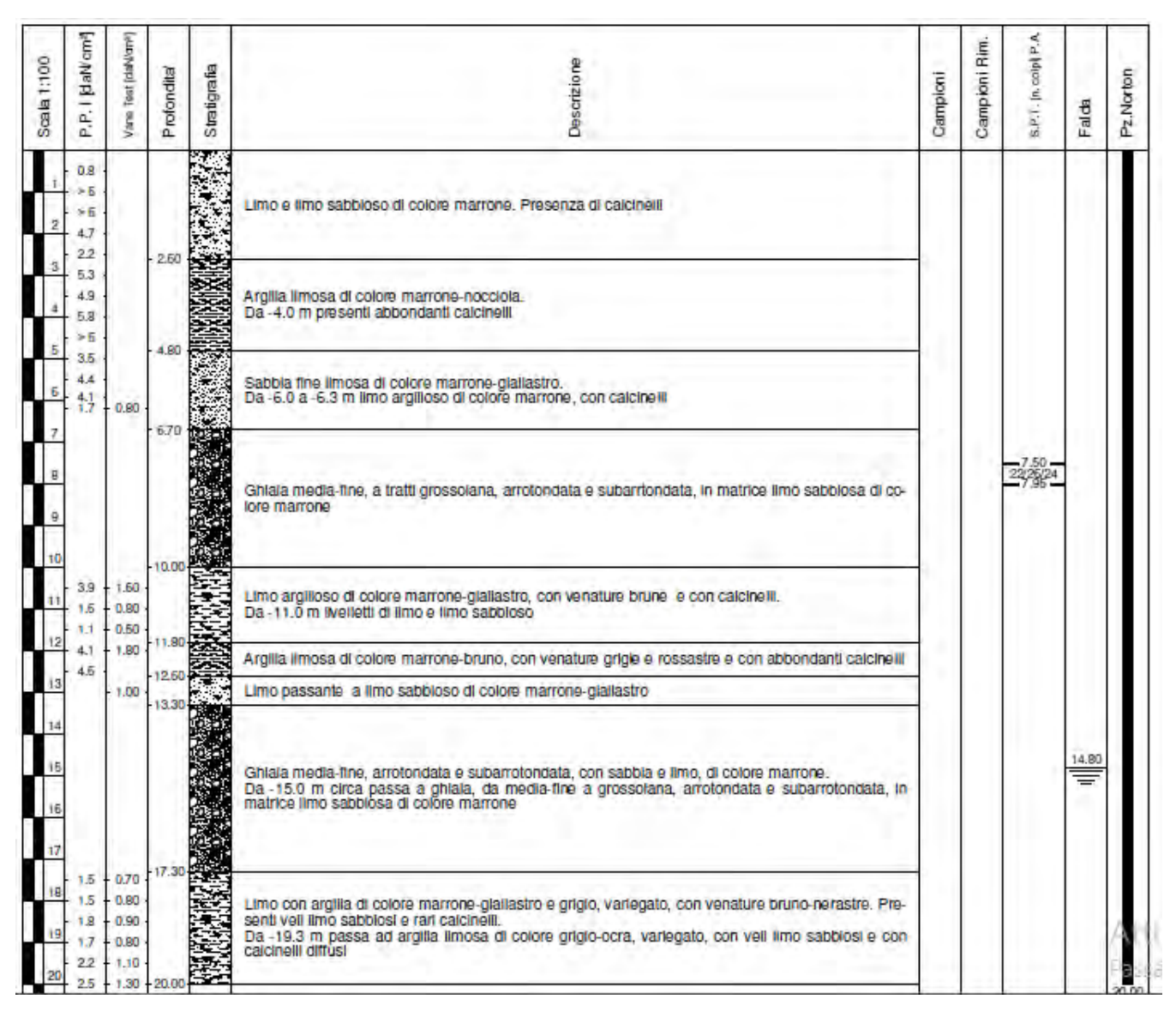


Figura 16:- Sezione stratigrafica ricavata dal sondaggio S2

Nel sondaggio S1 è stata individuata la falda ad una profondità di 15.10 metri dal piano campagna e nel sondaggio S2 ad una profondità di 14.80 metri.

5.2.3 SPT

Nel piano di indagini era prevista anche l'esecuzione di due SPT (Prove Penetrometriche Dinamiche), eseguite all'interno dei fori di sondaggio S1 e S2. Tali prove consentono di determinare la resistenza alla penetrazione dinamica che il terreno indagato offre, vengono realizzate a fondo foro o alla quota di interesse, dove viene interrotta l'esecuzione del preforo. La prova SPT consiste nel far cadere ripetutamente un maglio DI 63,5 kg da un'altezza di 760 mm, su una testa di battuta fissata alla sommità di una batteria di aste alla cui estremità inferiore è avvitato un campionatore di dimensioni standardizzate che durante la penetrazione registra:



- il numero di colpi del maglio necessari a fare il primo avanzamento di 15 cm (N1)
- Il numero di colpi necessari a fare il secondo avanzamento di 15 cm (N2)
- Il numero di colpi necessario a fare il terzo avanzamento di 15 cm (N3)

complessivamente avremo un avanzamento del campionatore di 45 cm.

Generalmente del primo avanzamento non si tiene conto in quanto si ritiene che non sia rappresentativo delle condizioni di addensamento in sito poiché il terreno nei primi 15 cm al di sotto della quota base del terreno si assume che sia in condizioni disturbate. I parametri presi in considerazione sono N2 e N3 che sommati determinano il valore di N_{SPT}.

Dal valore di N_{SPT} tramite delle correlazioni si possono ricavare diversi parametri, tra cui l'angolo di attrito del terreno indagato e la sua densità relativa.

Come prima anticipato, all'interno dei due fori di sondaggio è stata eseguita una prova SPT utilizzando una punta chiusa. Nel sondaggio S1 la prova SPT è stata eseguita ad una profondità dal piano campagna di 7,50 metri raggiugendo i 7,95 metri di profondità a seguito dei 3 avanzamenti di 15 cm l'uno, in corrispondenza di ghiaie in matrice limo sabbiosa. Il secondo sondaggio S2, realizzato anch'esso su ghiaie con sabbia e limo, è stato eseguito ad una profondità di 12,00 metri e terminato a 12,45 metri a seguito dei 3 avanzamenti.

Rispettivamente il numero di colpi nel primo sondaggio per i tre avanzamenti sono stati: 22, 26 e 24. Nel secondo sondaggio: 26, 30 e 31.

Da questi dati sono stati ricavati l'angolo di attrito e la densità relativa della porzione indagata dalle SPT in S1 e S2, di seguito i valori ricavati;

SPT1-S1Densita' relativa

Descrizione	NSPT	Prof. Strato	N. Calcolo	Correlazione	Densità relativa
		(m)			(%)
Strato (1)	61.00	12.00-12.45	61.00	Meyerhof 1957	86.93
Strato					

Angolo di resistenza al taglio

Descrizione	NSPT	Prof. Strato	N. Calcolo	Correlazione	Angolo d'attrito
		(m)			(')
Strato (1)	61.00	12.00-12.45	N1,60=36.05	Wolff	37.23
Strato				(1989) N160	

SPT2Densita' relativa

Denoted Telative								
Descrizione	NSPT	Prof. Strato	N. Calcolo	Correlazione	Densità relativa			
		(m)			(%)			
Strato (1)	50.00	7.50-7.95	50.00	Meyerhof 1957	94.29			
Strato								



Angolo di resistenza al taglio

	Descrizione	NSPT	Prof. Strato	N. Calcolo	Correlazione	Angolo d'attrito
			(m)			(°)
Ī	Strato (1)	50.00	7.50-7.95	N1,60=37.47	Wolff	37.6
	Strato				(1989) N160	

La porzione del livello di ghiaia indagato in S1 ad una profondità compresa tra 12,00 e 12,45 è caratterizzato da un angolo di attrito di 37,23° ed una densità relativa (%) di 86.93. Quello indagato in S2, tra 7.50 e 7.95 è caratterizzato da un angolo d'attrito di 37.6° e una densità relativa (%) di 94.29.

5.2.4 Monitoraggio piezometrico

In data 21/01/2021 sono stati collocati due piezometri Norton all'interno dei due fori di sondaggio S1 e S2 al fine di mantenere monitorato il livello della falda nel tempo. I due piezometri sono stati collocati sino ad una profondità di 20,00 metri dal piano campagna, costituiti da un tubo in PVC con diametro di 2". In particolare, sia nel primo piezometro collocato in S1 che nel secondo piezometro collocato in S2 il tubo microfessurato si trova nel tratto compreso tra -8,00 e -20 metri di profondità dal piano campagna, mentre tra 0,00 e -8,00 metri di profondità è collocato un tratto di tubo cieco.

A fine installazione dei piezometri è stato eseguito in entrambi lo spurgo. Il livello dell'acqua rilevato in S1 era a -15.10 m dal p.c. mentre quello in S2 era collocato a -14.80 m dal p.c.

Precedentemente sono stati effettuati due monitoraggi nel piezometro che è stato collocato nel sondaggio realizzato in Via Pantarini (ubicazione in allegato 2 – "Sondaggio via Pantarini"), di seguito i dati relativi:

- in data 09/09/2020 è stato effettuato il primo monitoraggio della falda: la soggiacenza misurata è 14,80 m da piano campagna.
- In data 30/03/2021 è stato effettuato il secondo monitoraggio della falda: la soggiacenza misurata è 14,76 m da piano campagna.

Questi dati risultano essere molto simili alla soggiacenza misurata nei piezometri in S1 e S2 in data 21/01/2021.



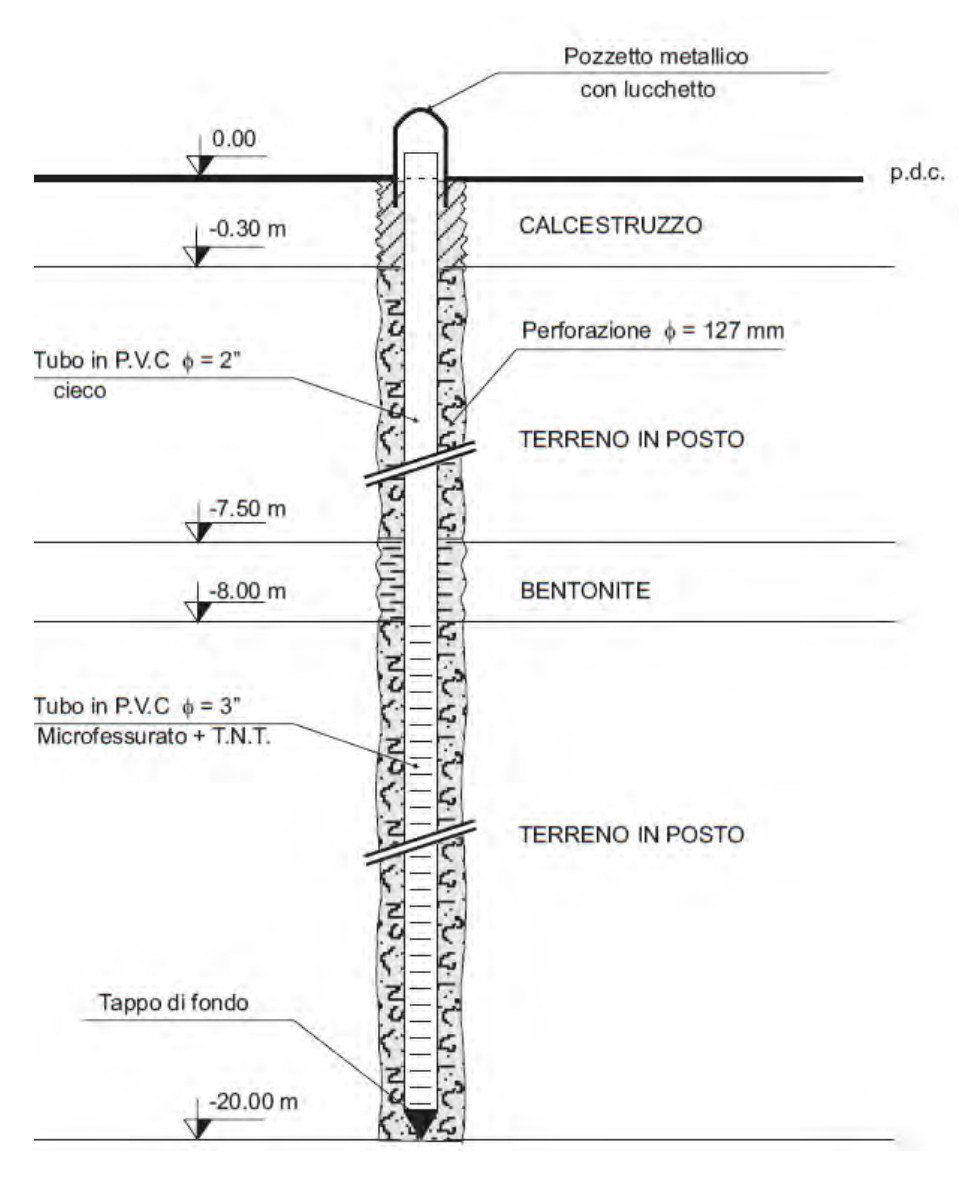


Figura 17:- Schema installazione piezometro Norton



6 Progettazione geotecnica

Estratto dal D.M. 17/01/2018 recante "Aggiornamento delle Norme tecniche per le costruzioni":

6.1.2 PRESCRIZIONI GENERALI

Le scelte progettuali devono tener conto delle prestazioni attese delle opere, dei caratteri geologici del sito e delle condizioni ambientali. I risultati dello studio rivolto alla caratterizzazione e modellazione geologica, dedotti da specifiche indagini, devono essere esposti in una specifica relazione geologica di cui al § 6.2.1.

Le analisi di progetto devono essere basate su modelli geotecnici dedotti da specifiche indagini definite dal progettista in base alla tipologia dell'opera o dell'intervento e alle previste modalità esecutive.

Le scelte progettuali, il programma e i risultati delle indagini, la caratterizzazione e la modellazione geotecnica di cui al § 6.2.2, unitamente alle analisi per il dimensionamento geotecnico delle opere e alla descrizione delle fasi e modalità costruttive devono essere illustrati in una specifica relazione geotecnica.

6.2.1 CARATTERIZZAZIONE E MODELLAZIONE GEOLOGICA DEL SITO

Il modello geologico di riferimento è la ricostruzione concettuale della storia evolutiva dell'area di studio, attraverso la descrizione delle peculiarità genetiche dei diversi terreni presenti, delle dinamiche dei diversi termini litologici, dei rapporti di giustapposizione reciproca, delle vicende tettoniche subite e dell'azione dei diversi agenti morfogenetici.

La caratterizzazione e la modellazione geologica del sito deve comprendere la ricostruzione dei caratteri litologici, stratigrafici, strutturali, idrogeologici, geomorfologici e, più in generale, di pericolosità geologica del territorio, descritti e sintetizzati dal modello geologico di riferimento.

In funzione del tipo di opera, di intervento e della complessità del contesto geologico nel quale si inserisce l'opera, specifiche indagini saranno finalizzate alla documentata ricostruzione del modello geologico.

Il modello geologico deve essere sviluppato in modo da costituire elemento di riferimento per il progettista per inquadrare i problemi geotecnici e per definire il programma delle indagini geotecniche. La caratterizzazione e la modellazione geologica del sito devono essere esaurientemente esposte e commentate in una relazione geologica, che è parte integrante del progetto. Tale relazione comprende, sulla base di specifici rilievi ed indagini, la identificazione delle formazioni presenti nel sito, lo studio dei tipi litologici, della struttura del sottosuolo e dei caratteri fisici degli ammassi, definisce il modello geologico del sottosuolo, illustra e caratterizza gli aspetti stratigrafici, strutturali, idrogeologici, geomorfologici, nonché i consequenti livelli delle pericolosità geologiche.

6.2.2 INDAGINI, CARATTERIZZAZIONE E MODELLAZIONE GEOTECNICA

Le indagini geotecniche devono essere programmate in funzione del tipo di opera e/o di intervento, devono riguardare il volume significativo e, in presenza di azioni sismiche, devono essere conformi a quanto prescritto ai §§ 3.2.2 e 7.11.2. Per volume significativo di terreno si intende la parte di sottosuolo



influenzata, direttamente o indirettamente, dalla costruzione del manufatto e che influenza il manufatto stesso. Le indagini devono permettere la definizione dei modelli geotecnici di sottosuolo necessari alla progettazione. Della definizione del piano delle indagini, della caratterizzazione e della modellazione geotecnica è responsabile il progettista.

Ai fini dell'analisi quantitativa di uno specifico problema, per modello geotecnico di sottosuolo si intende uno schema rappresentativo del volume significativo di terreno, suddiviso in unità omogenee sotto il profilo fisico-meccanico, che devono essere caratterizzate con riferimento allo specifico problema geotecnico. Nel modello geotecnico di sottosuolo devono essere definiti il regime delle pressioni interstiziali e i valori caratteristici dei parametri geotecnici.

Per valore caratteristico di un parametro geotecnico deve intendersi una stima ragionata e cautelativa del valore del parametro per ogni stato limite considerato. I valori caratteristici delle proprietà fisiche e meccaniche da attribuire ai terreni devono essere dedotti dall'interpretazione dei risultati di specifiche prove di laboratorio su campioni rappresentativi di terreno e di prove e misure in sito. [...]

Per la verifica delle condizioni di sicurezza e delle prestazioni di cui al successivo § 6.2.4, la scelta dei valori caratteristici delle quote piezometriche e delle pressioni interstiziali deve tenere conto della loro variabilità spaziale e temporale.

Le prove di laboratorio, sulle terre e sulle rocce, devono essere eseguite e certificate dai laboratori di prova di cui all'art. 59 del DPR 6 giugno 2001, n. 380. I laboratori su indicati fanno parte dell'elenco depositato presso il Servizio Tecnico Centrale del Consiglio Superiore dei Lavori Pubblici.

Nel caso di costruzioni o di interventi di modesta rilevanza, che ricadano in zone ben conosciute dal punto di vista geotecnico, la progettazione può essere basata su preesistenti indagini e prove documentate, ferma restando la piena responsabilità del progettista su ipotesi e scelte progettuali.

6.2.4 VERIFICHE DELLA SICUREZZA E DELLE PRESTAZIONI

Le verifiche di sicurezza relative agli stati limite ultimi (SLU) e le analisi relative alle condizioni di esercizio (SLE) devono essere effettuate nel rispetto dei principi e delle procedure indicate al § 2.6 .

6.2.4.1 Verifiche nei confronti degli stati limite ultimi (SLU)

Per ogni stato limite per perdita di equilibrio (EQU), come definito al §2.6.1, deve essere rispettata la condizione:

$E_{inst,d} \leq E_{stb,d}$

dove $E_{inst,d}$ è il valore di progetto dell'azione instabilizzante, $E_{stb,d}$ è il valore di progetto dell'azione stabilizzante.

La verifica della suddetta condizione deve essere eseguita impiegando come fattori parziali per le azioni i valori y_F riportati nella colonna EQU della tabella 6.2.I.

Per ogni stato limite ultimo che preveda il raggiungimento della resistenza di un elemento strutturale (STR) o del terreno (GEO), come definiti al § 2.6.1, deve essere rispettata la condizione:

 $Ed \le Rd \tag{6.2.1}$



essendo E_d il valore di progetto dell'azione o dell'effetto dell'azione, definito dalle relazioni [6.2.2a] o [6.2.2b] essendo Ed il valore di progetto dell'azione o dell'effetto dell'azione, definito dalle relazioni [6.2.2a] o [6.2.2b]

$$E_{d} = E \left[\gamma_{F} F_{k}; \frac{X_{k}}{\gamma_{M}}; a_{d} \right]$$
 (6.2.2a)

$$E_{d} = \gamma_{E} \cdot E \left[F_{k}; \frac{X_{k}}{\gamma_{M}}; a_{d} \right], \tag{6.2.2b}$$

 $e\ R_d$ è il valore di progetto della resistenza del sistema geotecnico definito dalla relazione [6.2.3].

$$R_{d} = \frac{1}{\gamma_{R}} R \left[\gamma_{F} F_{k}; \frac{X_{k}}{\gamma_{M}}; a_{d} \right]. \tag{6.2.3}$$

Effetto delle azioni e resistenza di progetto sono espresse nelle [6.2.2a] e [6.2.3] rispettivamente in funzione delle azioni di progetto $\gamma_F F_k$, dei parametri geotecnici di progetto X_k/γ_M e dei parametri geometrici di progetto a_d . Il coefficiente parziale di sicurezza γ_R opera direttamente sulla resistenza del sistema. L'effetto delle azioni di progetto può anche essere valutato direttamente con i valori caratteristici delle azioni come indicato dalla [6.2.2b] con $\gamma_E = \gamma_F$.

In accordo a quanto stabilito al §2.6.1, la verifica della condizione [6.2.1] deve essere effettuata impiegando diverse combinazioni di gruppi di coefficienti parziali, rispettivamente definiti per le azioni (A1 e A2), per i parametri geotecnici (M1 e M2) e per le resistenze (R1, R2 e R3).

I diversi gruppi di coefficienti di sicurezza parziali sono scelti nell'ambito di due approcci progettuali distinti e alternativi.

Nel primo approccio progettuale (Approccio 1) le verifiche si eseguono con due diverse combinazioni di gruppi di coefficienti ognuna delle quali può essere critica per differenti aspetti dello stesso progetto.

Nel secondo approccio progettuale (Approccio 2) le verifiche si eseguono con un'unica combinazione di gruppi di coefficienti.

Per le verifiche nei confronti di stati limite ultimi non espressamente trattati nei successivi paragrafi, da 6.3 a 6.11, si utilizza l'Approccio 1 con le due combinazioni (A1+M1+R1) e (A2+M2+R2). I fattori parziali per il gruppo R1 sono sempre unitari; quelli del gruppo R2 possono essere maggiori o uguali all'unità e, in assenza di indicazioni specifiche per lo stato limite ultimo considerato, devono essere scelti dal progettista in relazione alle incertezze connesse con i procedimenti adottati.



7 Sismicità dell'area

In base alla normativa riguardante la situazione sismica del territorio, con riferimento al D.M. Min. LLPP 16 Gennaio 1996 "Norme tecniche per le costruzioni in zone sismiche", il Comune di Imola, ricadeva in una zona classificata in classe II.

Nel mese di Marzo 2003 è stata redatta una bozza al fine di definire un sistema normativo per la progettazione antisismica e acquisire dei criteri generali per la classificazione sismica del territorio nazionale.

In riferimento a tale bozza il Comune di Imola ricade in classe 2, indicativa di zona a media pericolosità sismica.

Con l'entrata in vigore, il 24/10/2005, dell'OPCM n. 3274/2003 e successive modifiche, in materia di classificazione sismica del territorio nazionale e del D.M. 14/09/2005 recante "Norme tecniche per le costruzioni", il Comune di Imola è stato classificato in classe di sismicità 2 (zona a media sismicità).

Di seguito si riporta uno stralcio della normativa più recente: D.M. 17/01/2018 "Aggiornamento delle norme tecniche sulle costruzioni":

Estratto dal D.M. 17/01/2018 recante "Aggiornamento delle norme tecniche per le costruzioni"

3.2 AZIONE SISMICA

3.2.2 CATEGORIE DI SOTTOSUOLO E CONDIZIONI TOPOGRAFICHE

Categorie di sottosuolo

Ai fini della definizione dell'azione sismica di progetto, l'effetto della risposta sismica locale si valuta mediante specifiche analisi, da eseguire con le modalità indicate nel § 7.11.3. In alternativa, qualora le condizioni stratigrafiche e le proprietà dei terreni siano chiaramente riconducibili alle categorie definite nella Tab. 3.2.II, si può fare riferimento a un approccio semplificato che si basa sulla classificazione del sottosuolo in funzione dei valori della velocità di propagazione delle onde di taglio, VS. I valori dei parametri meccanici necessari per le analisi di risposta sismica locale o delle velocità VS per l'approccio semplificato costituiscono parte integrante della caratterizzazione geotecnica dei terreni compresi nel volume significativo, di cui al § 6.2.2.

I valori di VS sono ottenuti mediante specifiche prove oppure, con giustificata motivazione e limitatamente all'approccio semplificato, sono valutati tramite relazioni empiriche di comprovata affidabilità con i risultati di altre prove in sito, quali ad esempio le prove penetrometriche dinamiche per i terreni a grana grossa e le prove penetrometriche statiche.

La classificazione del sottosuolo si effettua in base alle condizioni stratigrafiche ed ai valori della velocità equivalente di propagazione delle onde di taglio, VS,eq (in m/s), definita dall'espressione:



$$V_{S,eq} = \frac{H}{\sum_{i=1}^{N} \frac{h_i}{V_{S,i}}}$$

con:

- hi = spessore dell'i-esimo strato;
- VS,i = velocità delle onde di taglio nell'i-esimo strato;
- N = numero di strati;
- H = profondità del substrato, definito come quella formazione costituita da roccia o terreno molto rigido, caratterizzata da VS non inferiore a 800 m/s.

Per le fondazioni superficiali, la profondità del substrato è riferita al piano di imposta delle stesse, mentre per le fondazioni su pali è riferita alla testa dei pali. Nel caso di opere di sostegno di terreni naturali, la profondità è riferita alla testa dell'opera. Per muri di sostegno di terrapieni, la profondità è riferita al piano di imposta della fondazione.

Per depositi con profondità H del substrato superiore a 30 m, la velocità equivalente delle onde di taglio VS,eq è definita dal parametro VS,30, ottenuto ponendo H=30 m nella precedente espressione e considerando le proprietà degli strati di terreno fino a tale profondità.

Le categorie di sottosuolo che permettono l'utilizzo dell'approccio semplificato sono definite in Tab. 3.2.II.

Tab. 3.2.II - Categorie di sottosuolo che permettono l'utilizzo dell'approccio semplificato.

Categoria	Caratteristiche della superficie topografica		
A	Ammassi rocciosi affioranti o terreni molto rigidi caratterizzati da valori di velocità delle onde di taglio superiori a 800 m/s, eventualmente comprendenti in superficie terreni di caratteristiche meccaniche più scadenti con spessore massimo pari a 3 m.		
В	Rocce tenere e depositi di terreni a grana grossa molto addensati o terreni a grana fina molto consi- stenti, caratterizzati da un miglioramento delle proprietà meccaniche con la profondità e da valori di velocità equivalente compresi tra 360 m/s e 800 m/s.		
С	Depositi di terreni a grana grossa mediamente addensati o terreni a grana fina mediamente consi- stenti con profondità del substrato superiori a 30 m, caratterizzati da un miglioramento del- le proprietà meccaniche con la profondità e da valori di velocità equivalente compresi tra 180 m/s e 360 m/s.		
D	Depositi di terreni a grana grossa scarsamente addensati o di terreni a grana fina scarsamente consistenti, con profondità del substrato superiori a 30 m, caratterizzati da un miglioramento delle proprietà meccaniche con la profondità e da valori di velocità equivalente compresi tra 100 e 180 m/s.		
E	Terreni con caratteristiche e valori di velocità equivalente riconducibili a quelle definite per le catego- rie C o D, con profondità del substrato non superiore a 30 m.		

Per qualsiasi condizione di sottosuolo non classificabile nelle categorie precedenti, è necessario predisporre specifiche analisi di risposta locale per la definizione delle azioni sismiche.

Condizioni topografiche



Per condizioni topografiche complesse è necessario predisporre specifiche analisi di risposta sismica locale. Per configurazioni superficiali semplici si può adottare la sequente classificazione (Tab. 3.2.III):

Tab. 3.2.III - Categorie topografiche

Categoria	Caratteristiche della superficie topografica		
T1	Superficie pianeggiante, pendii e rilievi isolati con inclinazione media i ≤ 15°		
T2	Pendii con inclinazione media i > 15°		
T3	Rilievi con larghezza in cresta molto minore che alla base e inclinazione media 15° ≤ i ≤ 30°		
T4	Rilievi con larghezza in cresta molto minore che alla base e inclinazione media i > 30°		

Nelle verifiche geotecniche consideriamo la classificazione ora vigente che definisce l'area di studio appartenente alla classe di sismicità 2, pertanto il grado di sismicità è pari a S = 9.

Secondo la classificazione del suolo, sulla base della nuova normativa sismica per gli edifici (D.M. 17/01/2018 recante "Aggiornamento delle norme tecniche per le costruzioni") in base ai dati ottenuti dalle indagini geognostiche in sito si classifica il terreno di fondazione del fabbricato come appartenente alla categoria C - Depositi di terreni a grana grossa mediamente addensati o terreni a grana fina mediamente consistenti con profondità del substrato superiori a 30 m, caratterizzati da un graduale miglioramento delle proprietà meccaniche con la profondità e da valori di velocità equivalente compresi tra 180 m/s e 360 m/s.

Inoltre sulla base della classificazione nazionale che fa ricadere l'area in esame in classe 2, i valori di ag, espressi come frazione dell'accelerazione di gravità g, da adottare in tale classe sono pari ad ag = 0.25g.

7.1 Caratterizzazione sismica del terreno attraverso prove HVSR

Traccia 1

Inizio registrazione: 24/11/20 10:16:46 Fine registrazione: 24/11/20 10:36:46

Nomi canali: NORTH SOUTH; EAST WEST; UP DOWN

Dato GPS non disponibile

Durata registrazione: 0h20'00". Analizzato 98% tracciato (selezione manuale)

Freq. campionamento: 128 Hz

Lunghezza finestre: 20 s

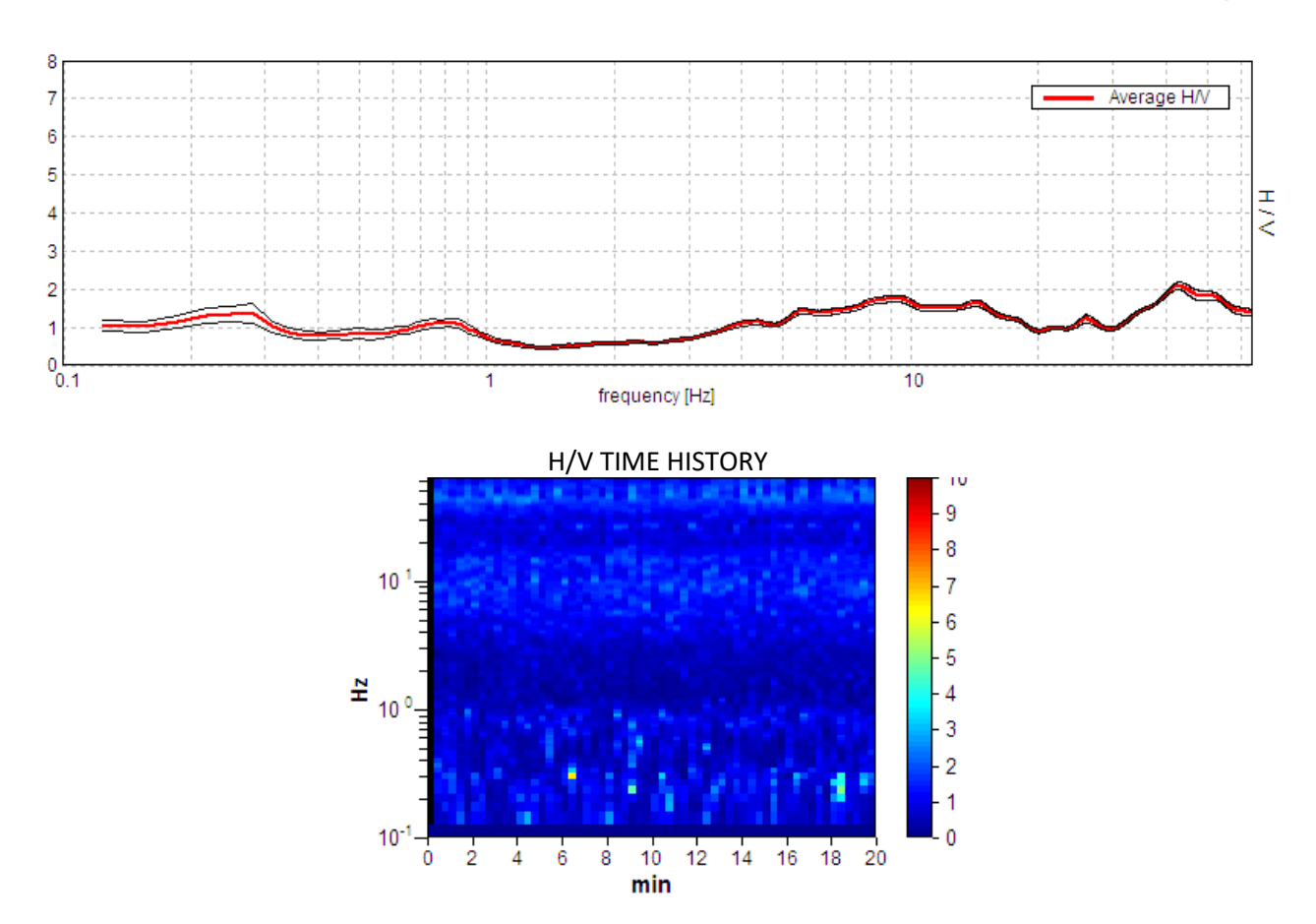
Tipo di lisciamento: Triangular window

Lisciamento: 10%

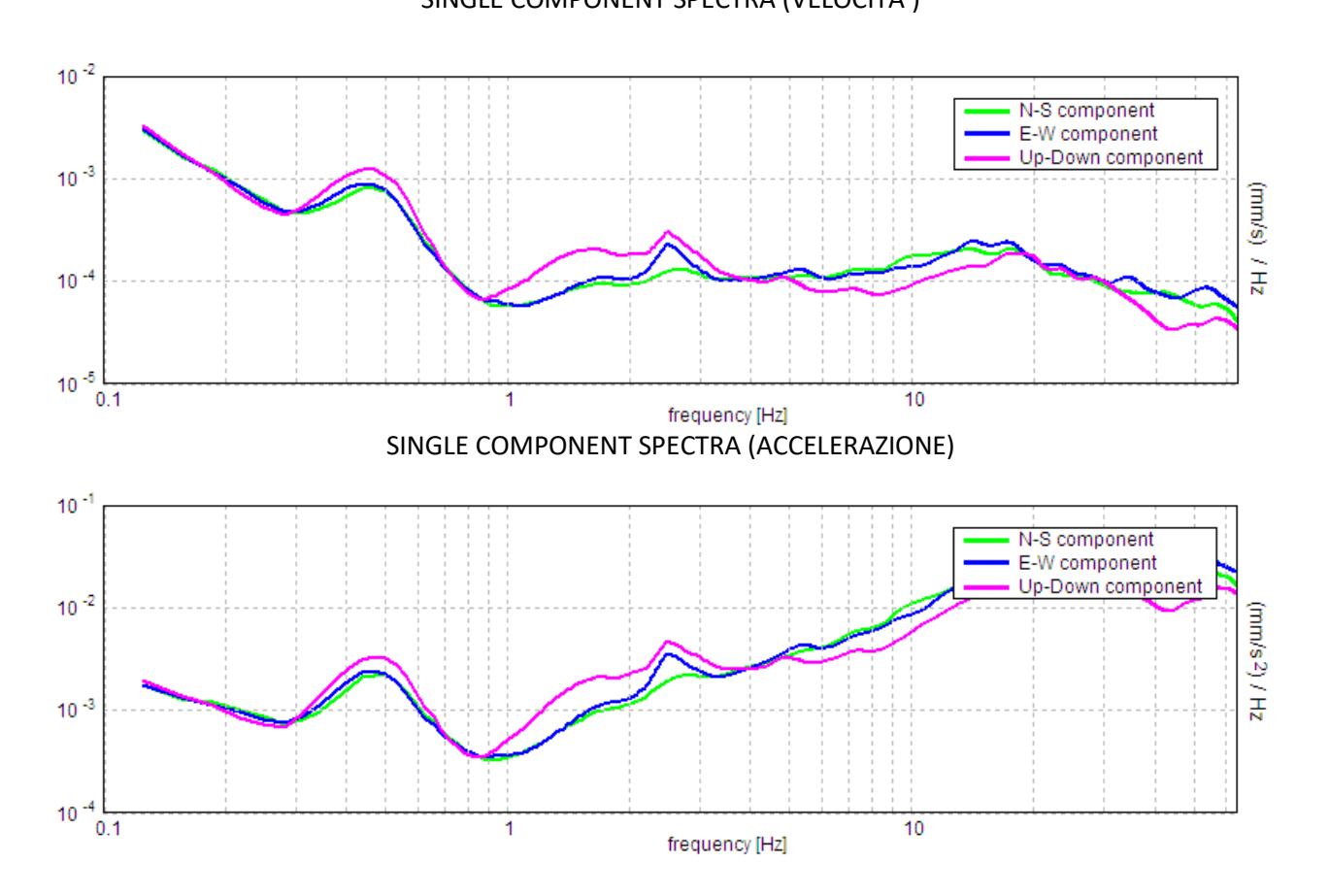
Nel grafico che segue è rappresentata la curva sperimentale H/V frutto dell'elaborazione mediante algoritmo dei microtremori registrato dall'apparecchiatura, in ascissa la frequenza di risonanza del terreno, in ordinata il rapporto H/V:

HORIZONTAL TO VERTICAL SPECTRAL RATIO



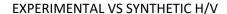


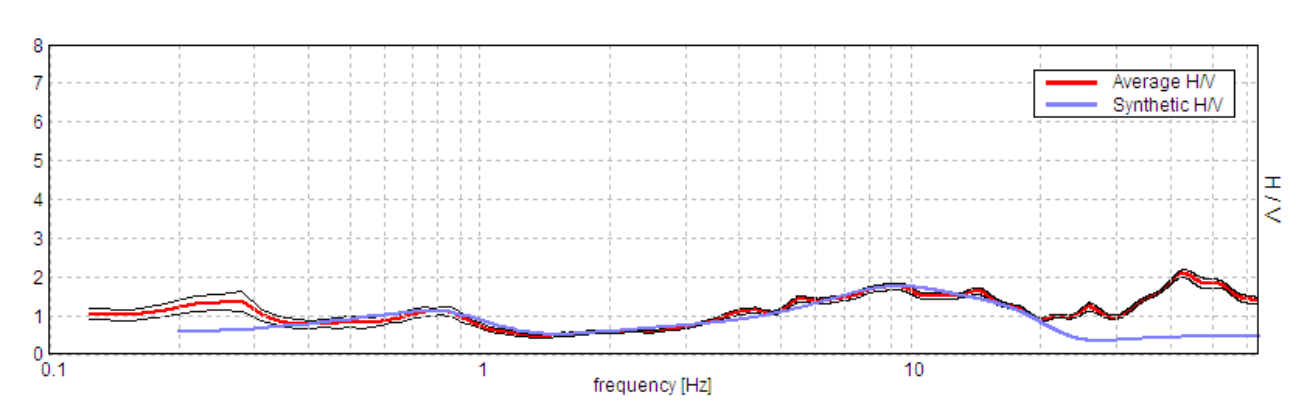
Nei grafici successivi l'andamento della traccia nelle 3 componenti N-S, E-W e verticale: SINGLE COMPONENT SPECTRA (VELOCITA')





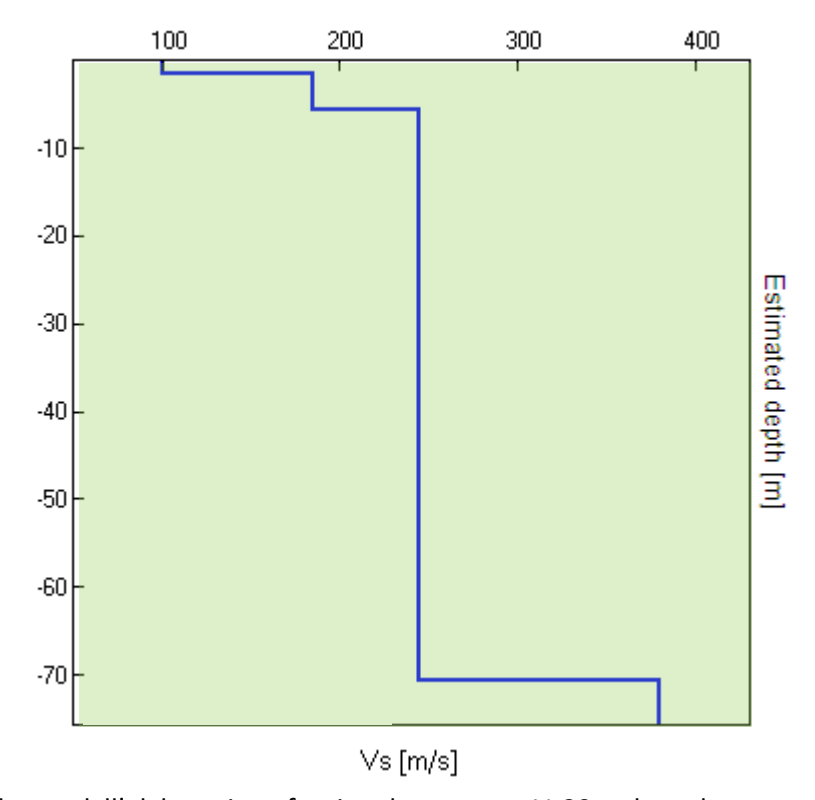
Il grafico sotto rappresenta l'elaborazione della traccia sperimentale da cui si ricava la Vs30 e relativa categoria di suolo, la curva blu è la curva teorica risultato dell'elaborazione, devono essere il più possibile coincidenti;





A seguire uno schema dei sismostrati nei quali è stato suddiviso il sottosuolo, ciascuno caratterizzato da uno specifico valore Vs, e quindi il relativo grafico dell'andamento della Vs in profondità.

Litologia indicativa da tabella 1	Profondità totale [m]	Sismostrati [m]	Vs [m/s]
Terreno vegetale	1.60	1.60	100
Limi e argille tenere	5.60	4.00	185
Limi e argille medie, ghiaia	70.60	65.00	245
Substrato non rigido	inf.	inf.	380



Il valore medio risultante dall'elaborazione fornisce la seguente Vs30, valore che non va assunto come dato certo, ma considerando un margine di errore almeno del 20%.



$Vs_{30} = 210 \text{ m/s} \pm 40 \text{ m/s}$

Il valore ottenuto classifica il terreno come sito C.

Trattasi di sabbie e ghiaie mediamente addensate e argille di media consistenza.

Tabella 1. Velocità caratteristiche delle onde S nei vari tipi di suolo [cfr. Borcherdt, 1994]

TIPO DI SUOLO	V _s min [m/s]	V _s media [m/s]	V _s max [m/s]
ROCCE MOLTO DURE (es. rocce metamorfiche molto poco fratturate)	1400	1620	
ROCCE DURE (es. graniti, rocce ignee, conglomerati, arenarie e argilliti, da mediamente a poco fratturati)	700	1050	1400
SUOLI GHIAIOSI e ROCCE DA TENERE A DURE (es. rocce sedimentarie ignee, tenere, arenarie, argilliti, ghiaie e suoli con > 20% di ghiaia)	375	540	700
ARGILLE COMPATTE e SUOLI SABBIOSI (es. sabbie da sciolte a molto compatte, limi e argille sabbiose, argille da medie a compatte e argille limose)	200	290	375
TERRENI TENERI (es. terreni di riempimento sotto falda, argille da tenere a molto tenere).	100	150	200

Nella tabella sotto è illustrata la qualità del segnale acquisito in base al progetto SESAME (Linee guida 2005). Per l'affidabilità della curva HVSR devono essere positivi i primi 3 parametri, mentre per avere un chiaro e pulito segnale del picco massimo devono essere soddisfatti 5 parametri su 6.

Max. H/V at 42.81 \pm 0.32 Hz. (in the range	e 0.0 - 64.0 Hz).		
Criteria for a reliable HVSR curve			
[All 3 should be fulfilled]			
f ₀ > 10 / L _w	42.81 > 0.50	ОК	
$n_c(f_0) > 200$	50518.8 > 200	ОК	
$s_A(f) < 2 \text{ for } 0.5f_0 < f < 2f_0 \text{ if } f_0 > 0.5Hz$	Superato 0 volte su 1364	ОК	
$s_A(f) < 3$ for $0.5f_0 < f < 2f_0$ if $f_0 < 0.5Hz$			
Criteria for a clear HVSR peak			
[At least 5 out of 6 should be fulfilled]			
Exists f in $[f_0/4, f_0] \mid A_{H/V}(f) < A_0 / 2$	31.188 Hz	OK	
Exists f ⁺ in $[f_0, 4f_0] \mid A_{H/V}(f^+) < A_0 / 2$	52.254 Hz	ОК	
A ₀ > 2	2.08 > 2	ОК	
$f_{peak}[A_{H/V}(f) \pm s_A(f)] = f_0 \pm 5\%$	0.0075 < 0.05	OK	
$s_f < e(f_0)$	0.32094 < 2.14063	OK	
$s_A(f_0) < q(f_0)$	0.0949 < 1.58	ОК	

La frequenza di risonanza caratteristica o di riferimento del terreno è Fo \cong 9,0 Hz



Traccia 2

Inizio registrazione: 24/11/20 10:51:45 Fine registrazione: 24/11/20 11:11:45

Nomi canali: NORTH SOUTH; EAST WEST; UP DOWN

Dato GPS non disponibile

Durata registrazione: 0h20'00". Analisi effettuata sull'intera traccia.

Freq. campionamento: 128 Hz

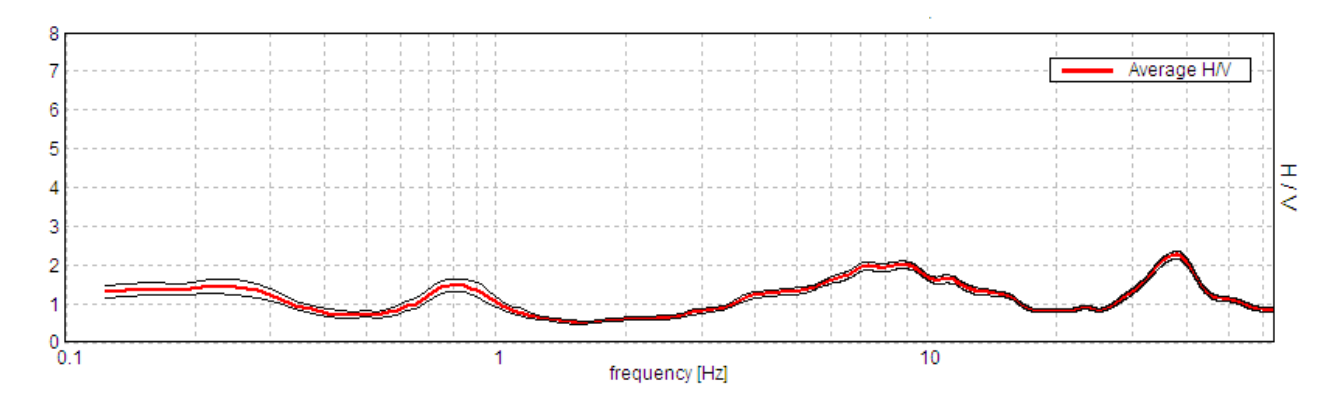
Lunghezza finestre: 20 s

Tipo di lisciamento: Triangular window

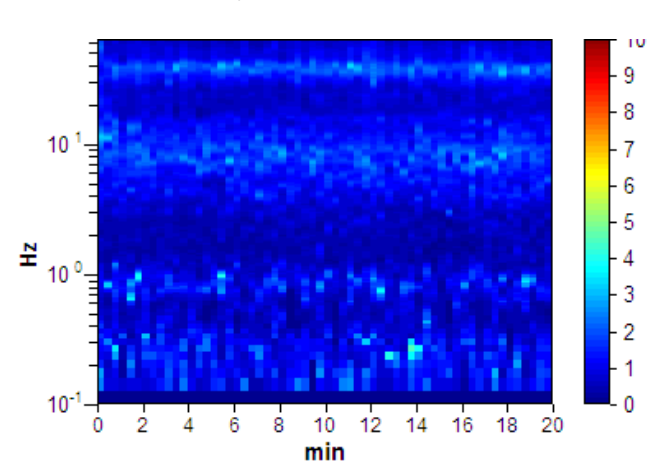
Lisciamento: 10%

Nel grafico che segue è rappresentata la curva sperimentale H/V frutto dell'elaborazione mediante algoritmo dei microtremori registrato dall'apparecchiatura, in ascissa la frequenza di risonanza del terreno, in ordinata il rapporto H/V:

HORIZONTAL TO VERTICAL SPECTRAL RATIO



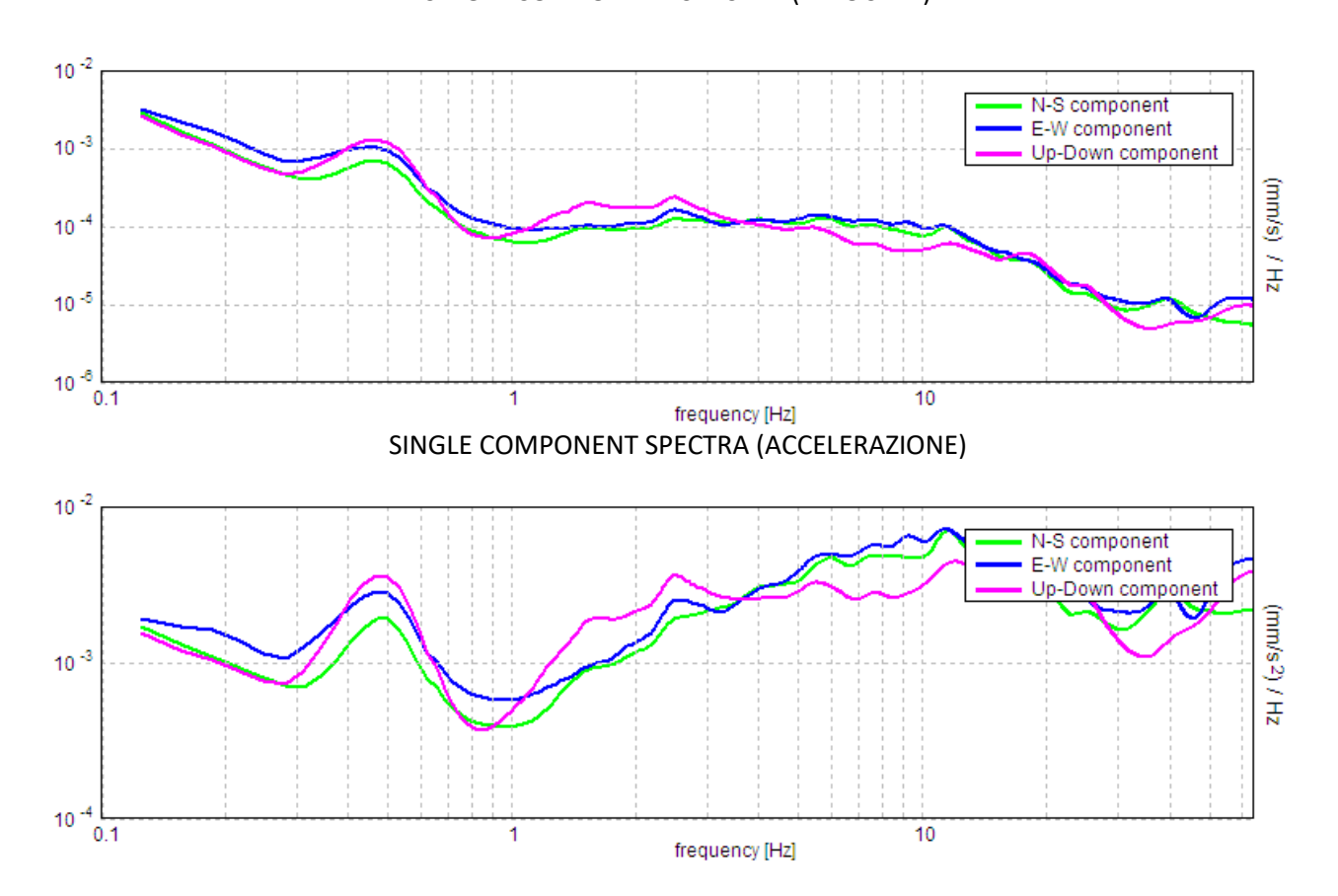
H/V TIME HISTORY



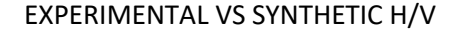
Nei grafici successivi l'andamento della traccia nelle 3 componenti N-S, E-W e verticale:

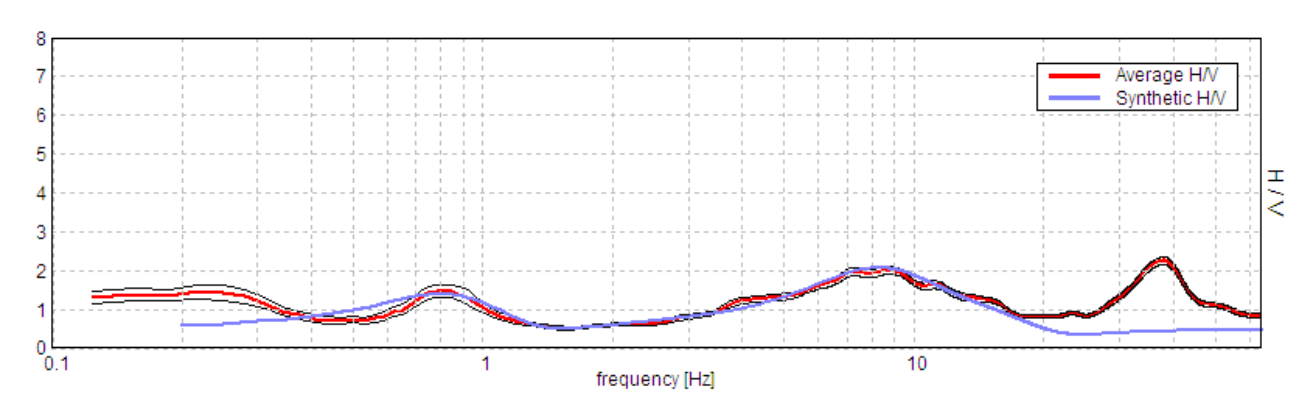


SINGLE COMPONENT SPECTRA (VELOCITA')



Il grafico sotto rappresenta l'elaborazione della traccia sperimentale da cui si ricava la Vs30 e relativa categoria di suolo, la curva blu è la curva teorica risultato dell'elaborazione, devono essere il più possibile coincidenti;

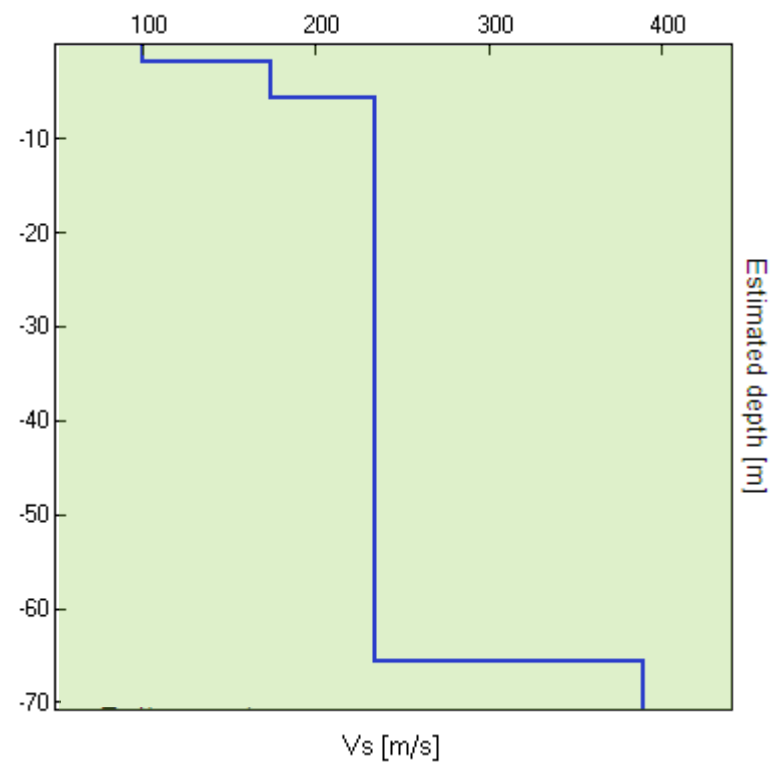




A seguire uno schema dei sismostrati nei quali è stato suddiviso il sottosuolo, ciascuno caratterizzato da uno specifico valore Vs, e quindi il relativo grafico dell'andamento della Vs in profondità,.

Litologia indicativa da tabella 1	Profondità totale [m]	Sismostrati [m]	Vs [m/s]
Terreno vegetale	1.80	1.80	100
Limi e argille tenere	5.70	3.90	175
Limi e argille medie, ghiaia	65.70	60.00	235
Substrato non rigido	inf.	inf.	390





Il valore medio risultante dall'elaborazione fornisce la seguente Vs30, valore che non va assunto come dato certo, ma considerando un margine di errore almeno del 20%.

$$Vs_{30} = 210 \text{ m/s} \pm 40 \text{ m/s}$$

Il valore ottenuto classifica il terreno come sito C.

Trattasi di sabbie e ghiaie mediamente addensate e argille di media consistenza.

Tabella 1. Velocità caratteristiche delle onde S nei vari tipi di suolo [cfr. Borcherdt, 1994]

TIPO DI SUOLO	V _s min [m/s]	V _s media [m/s]	V _s max [m/s]
ROCCE MOLTO DURE (es. rocce metamorfiche molto poco fratturate)	1400	1620	
ROCCE DURE (es. graniti, rocce ignee, conglomerati, arenarie e argilliti, da mediamente a poco fratturati)	700	1050	1400
SUOLI GHIAIOSI e ROCCE DA TENERE A DURE (es. rocce sedimentarie ignee, tenere, arenarie, argilliti, ghiaie e suoli con > 20% di ghiaia)	375	540	700
ARGILLE COMPATTE e SUOLI SABBIOSI (es. sabbie da sciolte a molto compatte, limi e argille sabbiose, argille da medie a compatte e argille limose)	200	290	375
TERRENI TENERI (es. terreni di riempimento sotto falda, argille da tenere a molto tenere).	100	150	200



Nella tabella sotto è illustrata la qualità del segnale acquisito in base al progetto SESAME (Linee guida 2005). Per l'affidabilità della curva HVSR devono essere positivi i primi 3 parametri, mentre per avere un chiaro e pulito segnale del picco massimo devono essere soddisfatti 5 parametri su 6.

Max. H/V at 37.81 \pm 1.29 Hz. (in the range	e 0.0 - 64.0 Hz).		
Criteria for a reliable HVSR curve			
[All 3 should be fulfilled]			
f ₀ > 10 / L _w	37.81 > 0.50	OK	
$n_c(f_0) > 200$	45375.0 > 200	ОК	
$s_A(f) < 2 \text{ for } 0.5f_0 < f < 2f_0 \text{ if } f_0 > 0.5Hz$	Superato 0 volte su 1444	ОК	
$s_A(f) < 3$ for $0.5f_0 < f < 2f_0$ if $f_0 < 0.5Hz$			
Criteria for a clear HVSR peak			
[At least 5 out of 6 should be fulfilled]			
Exists f ⁻ in $[f_0/4, f_0] A_{H/V}(f^-) < A_0 / 2$	28.25 Hz	ОК	
Exists f ⁺ in $[f_0, 4f_0] A_{H/V}(f^+) < A_0 / 2$	48.813 Hz	ОК	
A ₀ > 2	2.25 > 2	ОК	
$f_{peak}[A_{H/V}(f) \pm s_A(f)] = f_0 \pm 5\%$	0.04855 < 0.05	OK	
s _f < e(f ₀)	1.2889 < 1.89063	OK	
$s_A(f_0) < q(f_0)$	0.097 < 1.58	OK	

La frequenza di risonanza caratteristica o di riferimento del terreno è Fo ≅ 9,0 Hz

PARAMETRI SISMICI da GEOSTRU

Tipo di elaborazione: FONDAZIONI

Sito in esame: C

Coordinate espresse in ED50: Latitudine: 44,358121° Longitudine: 11,737245°

Coordinate espresse in WGS84: Latitudine: 44.357182° Longitudine: 11.736263°

Classe d'uso I: costruzioni con presenza occasionale di persone, edifici agricoli.

Classe d'uso II: costruzioni con normale affollamento di persone, assenza di funzioni pubbliche e sociali importanti, industrie con attività non pericolose per l'ambiente, ponti, strade e opere infrastrutturali non ricadenti in classe d'uso III e IV, reti ferroviarie la cui interruzione non provochi situazioni di emergenza, dighe il cui collasso non provochi conseguenze rilevanti.

Classe d'uso III: costruzioni il cui uso preveda affollamenti significativi; industrie con attività pericolose per l'ambiente; reti viarie extraurbane non ricadenti in classe d'uso IV; ponti e reti ferroviarie la cui interruzione provochi situazioni di emergenza; dighe rilevanti per un loro eventuale collasso.

Classe d'uso IV: costruzioni con funzioni pubbliche o strategiche importanti,anche con riferimento alla



gestione della Protezione Civile in caso di calamità. Industrie con attività pericolose per l'ambiente. Reti viarie di collegamento tra capoluoghi di provincia, ponti e reti ferroviarie di importanza critica per le vie di comunicazione, dighe connesse al funzionamento di acquedotti e centrali idroelettriche.

Siti di riferimento:

	ID	Latitudine °	Longitudine °	Distanza
Sito 1 18068	17401	44,3709	11,6722	5362,964
Sito 2	17402	44,3720	11,7421	1588,146
Sito 3	17624	44,3220	11,7436	4050,152
Sito 4	17623	44,3209	11,6737	6527,528

Categoria suolo: C Categoria topografica: T1

Vita nominale opera: 50 anni Coefficiente Cu: 1,0

Parametri sismici:

	P _{VR} %	Tr (anni)	ag (g)	Fo (-)	Tc* (s)
Operatività SLO	81	30	0,066	2,408	0,260
Danno SLD	63	50	0,084	2,396	0,268
Salvaguardia vita SLV	10	475	0,204	2,441	0,299
Prevenzione collasso SLC	5	975	0,256	2,494	0.314

 P_{VR} = probabilità di superamento nel periodo di riferimento V_R = 35 anni

Tr = periodo di riferimento

ag = accelerazione di gravità

Fo = valore massimo del fattore di amplificazione dello spettro in accelerazione orr.

Tc = periodo di inizio del tratto di velocità costante dello spettro di accelerazione orr.

Coefficienti sismici:

	Ss (-)	Cc (-)	St (-)	Kh (-)	Kv (-)	Amax (m/s²)	Beta (-)
SLO	1,500	1,640	1,000	0,020	0,010	0,966	0,200
SLD	1,500	1,620	1,000	0,025	0,013	1,235	0,200
SLV	1,400	1,560	1,000	0,080	0,040	2,807	0,280
SLC	1,320	1,540	1,000	0,095	0,047	3,316	0,280

Ss = amplificazione stratigrafica Cc = coeff. funz. categoria

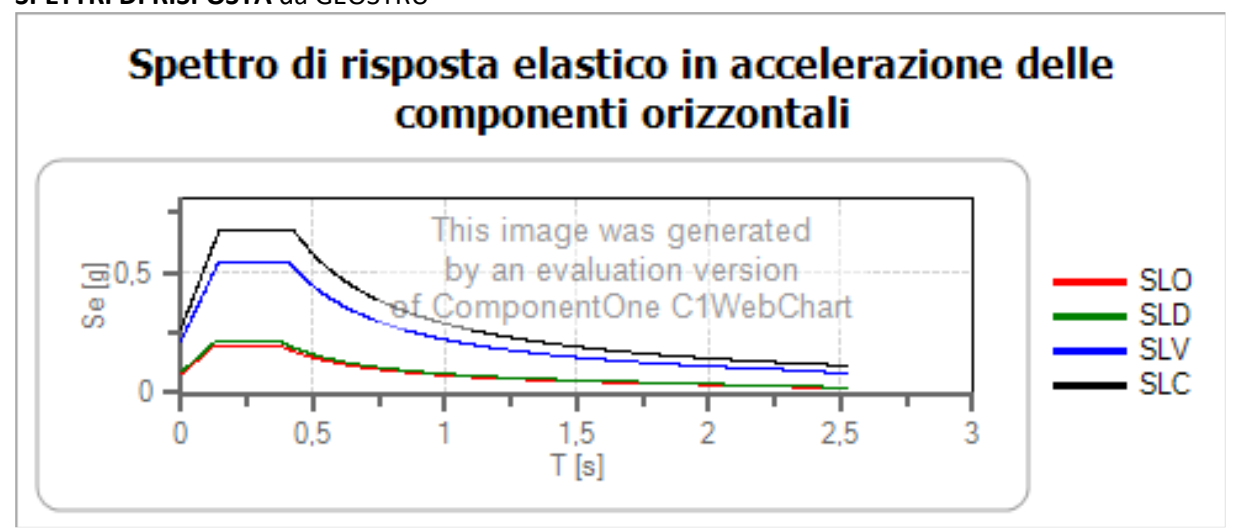
St = amplificazione topografica Amax = acc. max attesa al sito

Kh = coeff, sismico verticale Kv = coeff. Sismico orizzontale

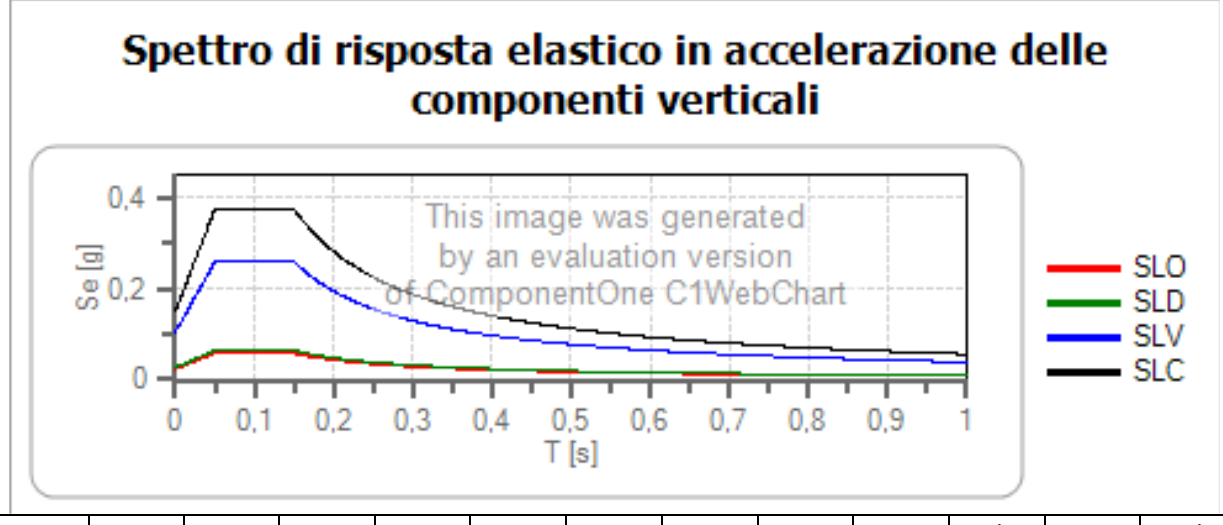
Beta = coeff. riduzione acc.max



SPETTRI DI RISPOSTA da GEOSTRU

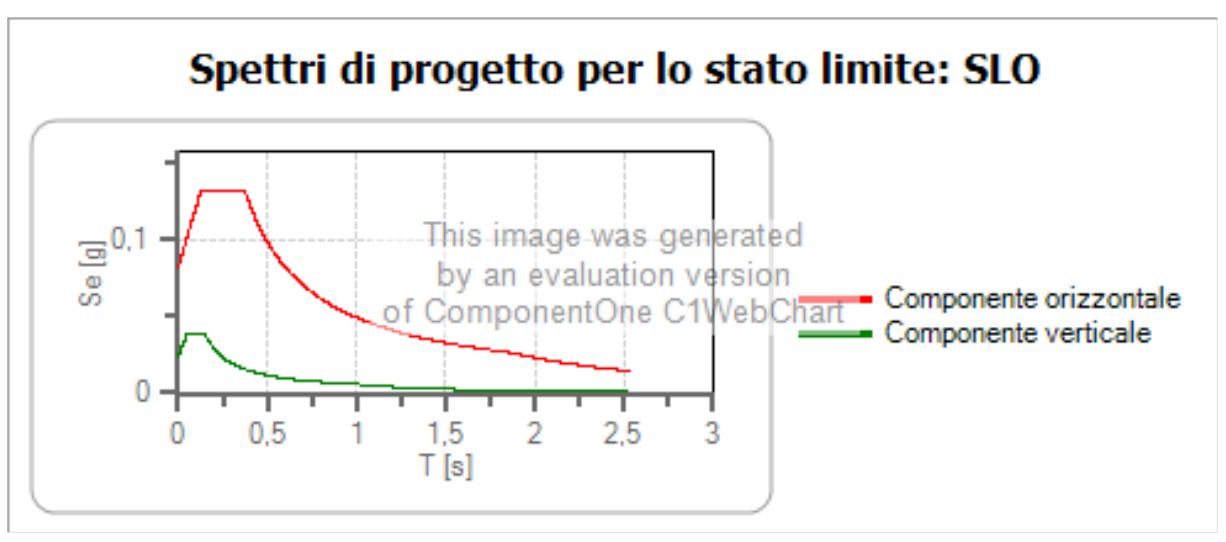


	cu	ag	Fo	Tc	Ss	Сс	St	S	q	Tb	Tc	Td
SLO	1,0	0,066	2,408	0,260	1,500	1,640	1,000	1,500	1,000	0,142	0,427	1,863
SLD	1,0	0,084	2,396	0,268	1,500	1,620	1,000	1,500	1,000	0,145	0,435	1,936
SLV	1,0	0,204	2,441	0,299	1,400	1,560	1,000	1,400	1,000	0,156	0,467	2,418
SLC	1,0	0,256	2,494	0,314	1,320	1,540	1,000	1,320	1,000	0,161	0,483	2,625

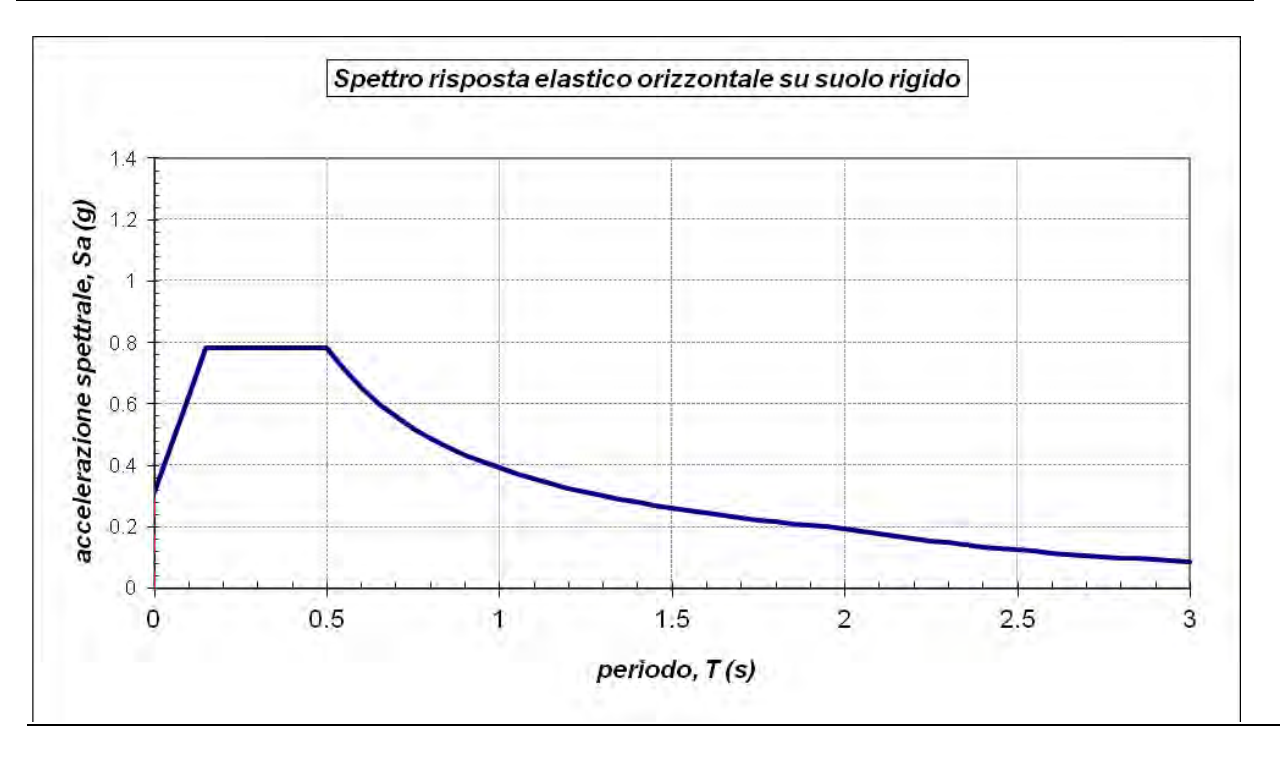


	cu	ag	Fo	Tc	Ss	Сс	St	S	q	Tb	Tc	Td
SLO	1,0	0,066	2,408	0,260	1,000	1,640	1,000	1,000	1,000	0,050	0,150	1,000
SLD	1,0	0,084	2,396	0,268	1,000	1,620	1,000	1,000	1,000	0,050	0,150	1,000
SLV	1,0	0,204	2,441	0,299	1,000	1,560	1,000	1,000	1,000	0,050	0,150	1,000
SLC	1,0	0,256	2,494	0,314	1,000	1,540	1,000	1,000	1,000	0,050	0,150	1,000





	cu	ag	Fo	Тс	Ss	Сс	St	S	q	Tb	Tc	Td
SLO h	1,0	0,066	2,408	0,260	1,500	1,640	1,000	1,500	1,500	0,142	0,427	1,863
SLO v	1,0	0,066	2,408	0,260	1,500	1,640	1,000	1,000	1,500	0,050	0,150	1,000



Zona 2	Tipo suolo	ag	S	Tb (s)	Tc (s)	Td (s)	piani	T	Sa
Margine B	С	0.25	1.25	0.15	0.5	2	0	0	0,3125

Dallo spettro di risposta normalizzato è possibile ottenere, moltiplicando i valori della tabella 1 per il valore di a_{refg} di ogni comune, lo spettro di risposta a probabilità uniforme che descrive le caratteristiche del moto sismico atteso per ogni comune dell'Emilia-Romagna.



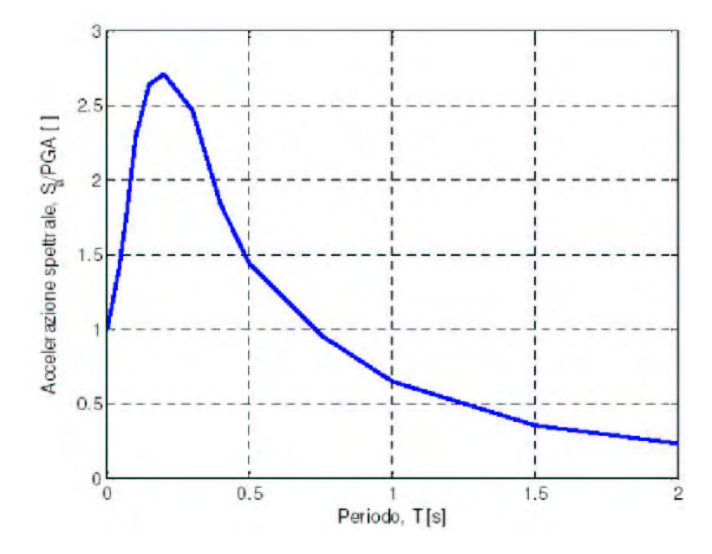


Figura - Spettro di risposta normalizzato (TR = 475 anni = 5% smorzamento) per l'Emilia-Romagna

T(s)	0,00	0,10	0,15	0,20	0,30	0,40	0,50	0,75	1,00	1,50	2,00
Sa/a _{re}	1,000	2,210	2,608	2,656	2,403	1,939	1,505	0,917	0,635	0,360	0,246
f	0	0	0	2	3	4	0	2	9	8	2

Tabella - Valori che definiscono lo spettro normalizzato per l'Emilia-Romagna

Valore di a_{refg} per il comune di Imola = 0,2029

dove a_{refg} = accelerazione massima orizzontale di picco al suolo, cioè per T = 0, espressa in frazione dell'accelerazione di gravità g (a_{refg})

Categorie topografiche del terreno

T1	Superficie pianeggiante, pendii e rilievi isolate con inclinazione media i < 15°	St = 1
T2	Pendii con inclinazione media i > 15°	St =1.2
T3	Rilievi con larghezza in cresta minore che alla base e inclinazione media 15°< i < 30°	St =1.2
T4	Rilievi con larghezza in cresta minore che alla base e inclinazione media i > 30°	St =1.4

Categorie suolo di fondazione

	Descrizione del profilo stratigrafico	V _{s30} (m/s)
С	Depositi di terreni a grana grossa mediamente addensati o terreni a grana fina mediamente consistenti con profondità del substrato superiori a 30 m, caratterizzati da un miglioramento delle proprietà meccaniche con la profondità e da valori di velocità equivalente compresi tra 180 m/s e 360 m/s.	180 – 360

Parametri per il profilo stratigrafico

S = 1,25, sabbie e ghiaie mediamente addensate, argille media consistenza, Tipo C;



ELEMENTI di MICROZONAZIONE SISMICA

L'area di intervento è morfologicamente classificabile come Margine appenninico-padano tipo B Si considerano i coefficienti di amplificazione sismica relativi alla fascia di velocità relativa a 200 m/s.

Tabella per il calcolo dei coefficienti di amplificazione sismica (DGR n.630 del 29/04/2019)

F.A. P.G.A.: accelerazione di picco orizzontale a periodo T=0 alla superficie del sito.

F.A. S.I.: Intensità spettrale di risposta in velocità relativo a tre intervalli.

F.A. S.A.: Intensità spettrale di risposta in accelerazione relativo a quattro intervalli.

MARGINE APPENNINICO-PADANO: settore di transizione tra la zona collinare (Appennino) e la pianura, o la costa, caratterizzato da terreni alluvionali prevalentemente fini (argille, limi, sabbie) sovrastanti orizzonti grossolani (ghiaie, ghiaie sabbiose, sabbie ghiaiose); il substrato geologico è

generalmente costituito da sabbie marine o transizionali pleistoceniche (Sabbie Gialle) o dalla successione pelitica plio-pleistocenica (Argille Azzurre); il tetto del substrato geologico è a profondità indicativamente comprese tra 50 e 100 m;

MARGINE di tipo B: caratterizzato da spessore dei terreni superficiali fini o grossolani poco consolidati superiore a 30 m; la successione sottostante è costituita da alternanze di orizzonti grossolani e orizzonti fini;

Vs30	150	200	250	300	350	400
F.A. P.G.A	1.6	1.6	1.6	1.6	1.6	1.5

Fattore di Amplificazione PGA

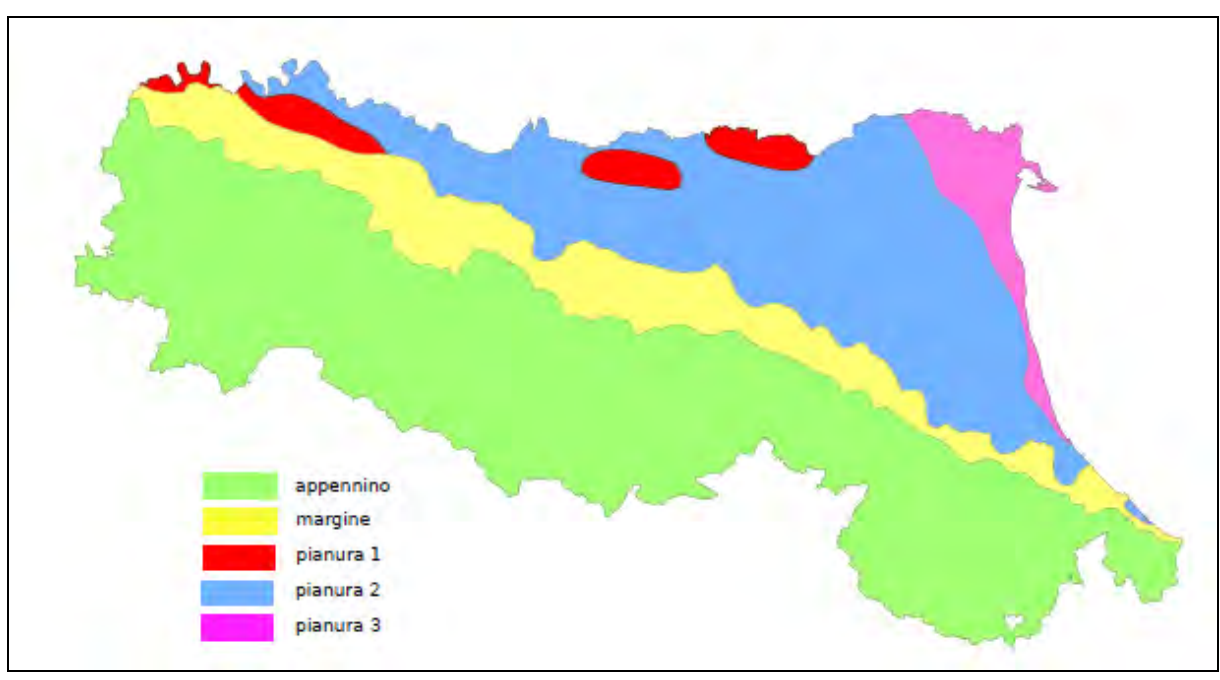
Vs30	150	200	250	300	350	400
F.A SI1	1.9	1.9	1.9	1.8	1.7	1.6
F.A SI2	2.9	2.8	2.5	2.3	2.1	2.0
F.A SI3	3.3	3.1	2.7	2.4	2.2	2.0

Fattori di Amplificazione **SI1** (0,1s \leq T \leq 0,5s), **SI2** (0,5s \leq T \leq 1,0s), **SI3** (0,5s \leq T \leq 1,5s)

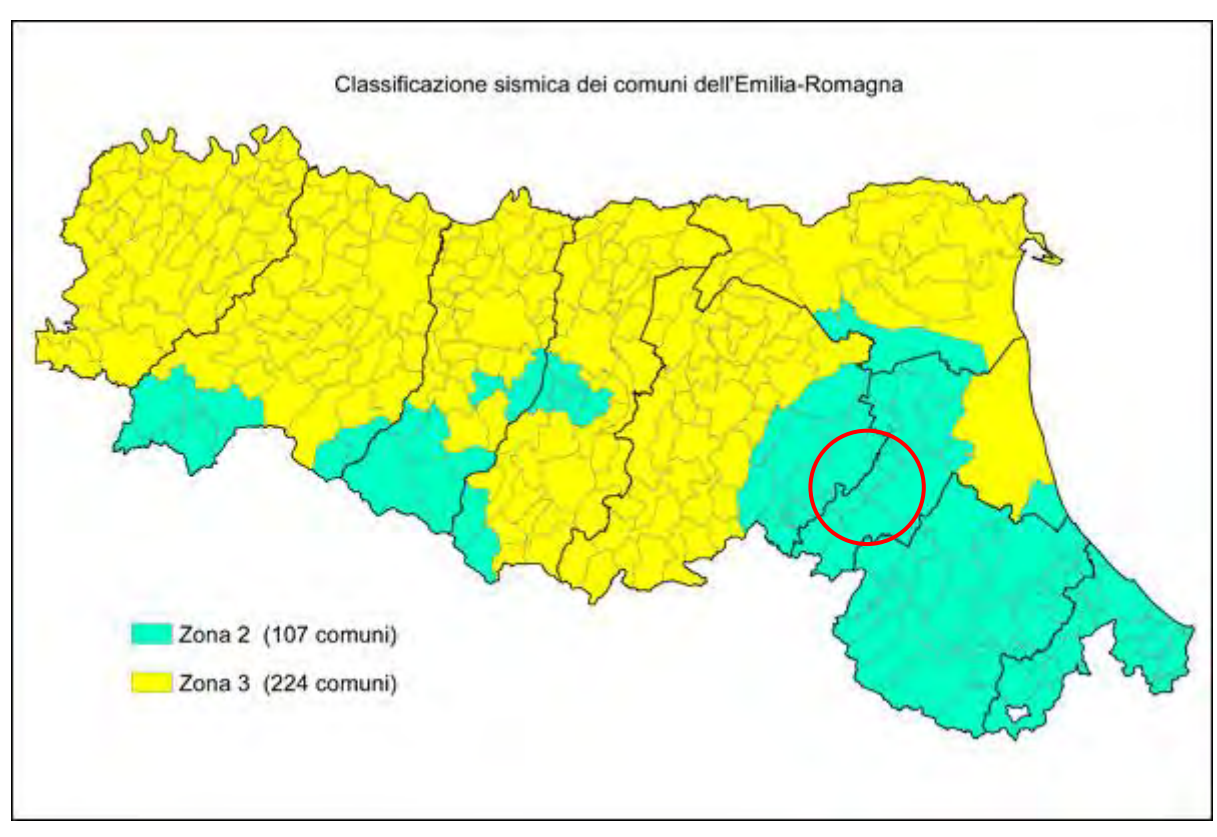
Vs30	150	200	250	300	350	400
F.A. SA1	1,8	1,8	1,8	1,7	1,7	1,5
F.A SA2	2,6	2,6	2,3	2,1	1,9	1,7
F.A SA3	3,1	2,9	2,7	2,4	2,3	2,1
F.A SA4	3,0	2,9	2,6	2,3	2,1	1,9

F.A. **SA1** (0,1s \leq T \leq 0,5s), **SA2** (0,4s \leq T \leq 0,8s), **SA3** (0,7s \leq T \leq 1,1s) e **SA4** (0,5s \leq T \leq 1,5s)





Localizzazione indicativa degli ambienti geomorfologici e litostratigrafici



Nuova classificazione sismica NTC 2018 – Comune di Imola



Sintesi

- Il terreno indagato e classificabile come sito C;
- La velocità stimata è pari a Vs30 = 210 m/s;
- È prevista una nuova lottizzazione con manufatto classificabili come classe d'uso II;
- La freguenza caratteristica del sito è **Fo** ≅ **9,0 Hz**;
- L'accelerazione di gravita del sito è ag = 0,204 (SLV);
- L'accelerazione massima è Amax = 2,807 (SLV);
- L' accelerazione massima orizzontale di picco al suolo, cioè per T = 0, espressa in frazione dell'accelerazione di gravità per il comune di Imola è g (a_{refe}) = 0,2029;
- La categoria topografica è **T1**;
- L'area ricade in **Zona 2 = 0,25g**;
- L'area è classificabile come Margine appenninico-padano di tipo B;
- Si assumono come coefficienti di amplificazione sismica su base regionale quelli relativi alla fascia di velocità pari a 200 m/s, tali coeff. non sono vincolanti ai fini della progettazione:

PGA = 1,6	SA1 per l'intervallo 0,1s <to<0,5s <b="" =="">1,8</to<0,5s>
SI1 per l'intervallo 0,1s <to<0,5s <b="" =="">1,9</to<0,5s>	SA2 per l'intervallo 0,4s <to<0,8s <b="" =="">2,8</to<0,8s>
SI2 per l'intervallo 0,5s <to<1,0s <b="" =="">2,8</to<1,0s>	SA3 per l'intervallo 0,7s <to<1,1s <b="" =="">2,9</to<1,1s>
SI3 per l'intervallo 0,5s <to<1,5s <b="" =="">3,1</to<1,5s>	SA4 per l'intervallo 0,5s <to<1,5s <b="" =="">2,9</to<1,5s>

7.2 Prove pregresse: MASW e Re. Mi.

In maggio 2018 è stata eseguita nell'area in oggetto una campagna di prove sismiche per la valutazione della Vs del terreno.

Le Vs sono state valutate sulla base di uno stendimento sismico attivo/passivo tipo MASW/Re. Mi. e di una prova sismica speditiva di acquisizione passiva del rumore sismico ambientale, effettuata con strumento tromografico portatile ad alta risoluzione.

Le registrazioni HVSR non hanno evidenziato particolari alti spettrali se non una blanda amplificazione alla frequenza di circa 8,5 Hz (basso rapporto spettrale H/V<2), indotta dal riflettore sismico costituito dal tetto delle ghiaie meno profonde (circa 5-6 metri).

Tramite l'elaborazione dei risultati della prova MASW/Re. Mi. si è stimata la distribuzione della velocità delle onde di taglio nei sedimenti (Vs), e in particolare si è misurata una Vs30 a partire dal suolo pari circa a 336,3 m/s.

Sulla base dei dati geofisici si fornisce di seguito l'aggiornamento della caratterizzazione sismica dell'Ambito ai sensi della DGR 2193/2015. Si precisa che l'area di studio è già inclusa nella microzonazione sismica comunale di "livello 2" elaborata ai sensi della DAL 112/2007.



L'area di studio è classificabile nel macro contesto denominato << Margine appenninico di tipo B: settore di transizione tra la zona collinare (Appennino) e la pianura, caratterizzato da spessore di terreni fini superiore a 30 m; gli strati grossolani sovrastano altri strati di terreni fini presenti fino al substrato geologico>>.

Ciò detto, si possono ricavare i seguenti fattori di amplificazione semplificati (DGR 2193/2015):

- · FA (PGA) = 1,6;
- FA SI (0.1s-0.5s) = 1,7;
- FA SI (0.5s-1.0s) = 2,1;
- FA SI (0.5s-1.5s) = 2.2.

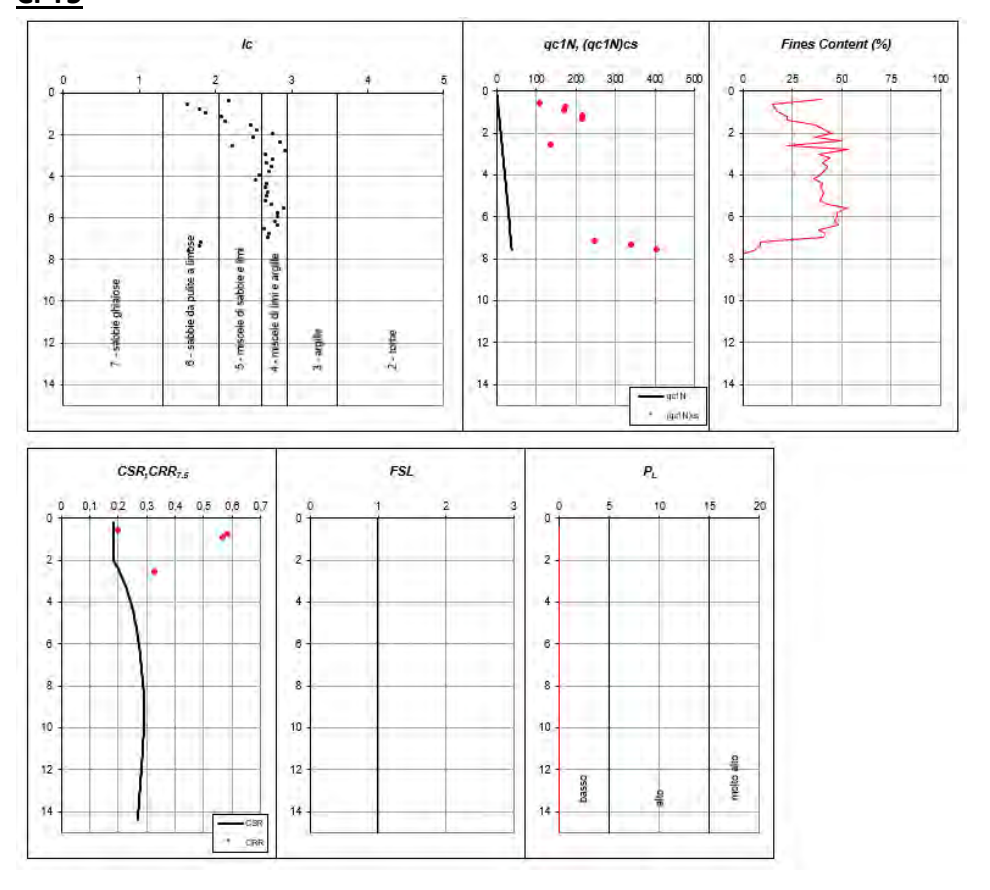
7.3 Verifica alla liquefazione

Le verifiche a liquefazione sono state effettuate sui valori ottenuti dalle prove CPT5 e CPT 6, ovvero quelle che hanno indagato la profondità maggiore; lungo tutta la verticale di terreno indagata è stato ottenuto un potenziale di liquefazione basso.

I valori impostati per il calcolo sono:

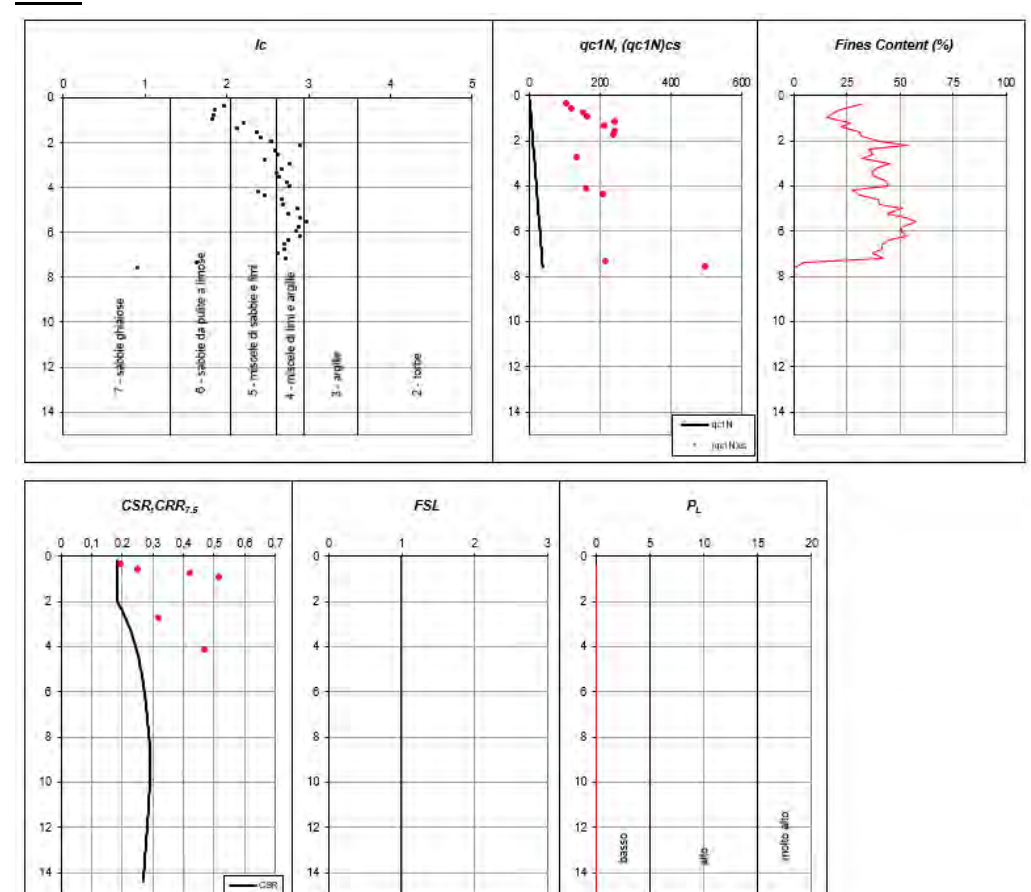
- Amax = 0,285
- Gamma terreno = 1,9 t/m3
- Soggiacenza falda = 2,0 m
- M = 5,8

CPT5





CPT6





8 Conclusioni

Sulla base dei risultati ottenuti si può stabilire quanto segue:

- Nei primi metri sono presenti dei limi e limi sabbiosi, seguiti da argille limose fino ad una profondità di 4,00/4,80 metri. Nel primo sondaggio a differenza del secondo è stato individuato un piccolo strato limo argilloso tra 4,00 e 4,50 metri di profondità. In entrambi seguono poi delle ghiaie a granulometria medio-fine fino ad una profondità di 6,70/10,00 metri. Successivamente uno strato di limo e limo argilloso. Il secondo sondaggio prosegue poi con due piccoli strati non presenti in S1: il primo caratterizzato da argilla limosa ed il secondo da limo passante a limo sabbioso. Entrambi i sondaggi proseguono con uno strato ghiaioso a granulometria media-fine con presenza di sabbia e limo, fino a 16,40/17,30 metri di profondità. Nel primo sondaggio questo strato non è continuo ed è infatti interrotto da un sottile strato limoso. Sotto le ghiaie sono presenti dei limi e per finire in S1 da 19,30 a 20,00 metri di profondità si trovano delle sabbie fini limose.
- Nel sondaggio S1 è stata individuata la falda ad una profondità di 15.10 metri dal piano campagna e nel sondaggio S2 ad una profondità di 14.80 metri.
- ➤ Dalle prove SPT sono stati ricavati i valori di angolo di attrito e di densità relativa riferiti al tratto indagato. In S1 il tratto compreso tra 12.00 e 12.45 metri di profondità è caratterizzato da un angolo di attrito di 37.23° ed una densità relativa (%) di 86.93. in S2 il tatto compreso tra 7.50 e 7.95 è caratterizzato da un angolo d'attrito di 37.6° e una densità relativa (%) di 94.29.
- Sulla base dei dati calcolati per la Vs30 la categoria del sottosuolo individuata è la C Depositi di sabbie e ghiaie mediamente addensate, o di argille di media consistenza, caratterizzati da valori di Vs30 compresi tra 180 e 360 m/s.
- lungo tutta la verticale di terreno indagata è stato ottenuto un potenziale di liquefazione basso.
- L'ambito ASP_AN 1.8 risulta edificabile senza prescrizioni particolari.
- Essendo la presente una relazione geologica per un intero ambito, al momento della costruzione dei singoli fabbricati, sarà necessario approfondire le indagini geologiche con opportuni studi finalizzati al tipo di costruzione progettata.

Imola 21 dicembre '20



















Stratigrafia Sondaggio via Patarini



SOGE	~	COMMITTEN	TE: Castellari Ambiente - Studio Assi	ociato	SOND.N°: Pz.1	PROF.(m): 20.00	
NDAGNI GEOGNOSTIC		CANTIERE: In	mola (BO) Via Patarini		QUOTA (m): p.d.c.		
Via S. Potito n. 43 - 480.	22 S. Polito di LUGO (RA) 54534443 - E-mail: sogeo@sogeo-srl.com	PERFORATR	ICE: Ellattari EK200/STR		LATITUDINE (°):		
Concessione Ministero Decr. n. 005754 del 05	Infrastrutture e Trasporti - Settore C	METODO PE	RFORAZ.: Carotaggio continuo		LONGITUDINE (°):		
RIVESTIMENTO: Ø 127		ATTREZZO P	ERFORAZ.: Carotaggio continuo		DATA INIZ-FINE: 04	/09/2020-04/09/2020	
PIEZOMETRO: Installato	piezometro Ø 2" a -20.0 m (fe	esurato da -5.0 a	-20.0 m)		SCALA: 1:100		
RIF.PREV.N°: 161-20 CERTIFICATO N°: C2		-062-1	RAPPORTO N°:	PAGINA N°: 1 di 1			

P P I IdaN/cm²l	r.r. ı [dalv/ciir]	Vane Test [daN/cm²]	Profondita'	Stratigrafia	Descrizione	Campioni	Campioni Rim.	Falda	S.P.T. [n. colpi] P.A.	Pz.Norton	Tubo Down Hole
			0.20	F	Suolo limoso sabbioso di colore marrone, con resti vegetali						
1 >	6		1.10	- 4	Terreno di riporto costituito da limo di colore marrone, con scarse macerie						
2 3 2.1 3 2.1 5 4.1 5.1 6 1.4 4.1 7	64564444444	1.00 - 0.80 - 0.40 - 1.50 -			Limo con sabbia passante a limo debolmente argilloso di colore marrone						
8 9 9 110 111 112 112 113 1.4 115 1.6 116		0.60 -	7.20		Ghiaia con sabbia, debolmente limosa, di colore marrone, con clasti eterometrici, da arrotondati a subarrotondati. Sono presenti livelli decimetrici di limo sabbioso argilloso di colore marrone, con ghiaia			16.00			
17		0.70	18.00		Limo sabbioso, debolmente argilloso, di colore marrone, con livelli centimetrici con ghiaia						
1.4		0.70		2 4 5	Availla limees di colore grisio con bando marvani che diminuiscone in avafer dità. Decenti						
		0.80		0 4 0	Argilla limosa di colore grigio con bande marroni, che diminuiscono in profondità. Presenti livelli centimetrici con ghiaia						
20 1.	.7	0.80	20.00							00.00	
1.3		0.70	- 20.00		livelli centimetrici con ghiaia					20.00	

Note: Livello acqua rilevato a fine sondaggio.





Rifer. 193-20

PROVA PENETROMETRICA STATICA LETTURE DI CAMPAGNA / VALORI DI RESISTENZA

CPT 1

2.010496-071

- data : - committente : Dott. Geol. Maurizio Castellari 24/11/2020 - lavoro : P.U.A. nuova lottizzazione - quota inizio: Piano Campagna - località : Via Pietro Patarini, Imola (BO) - prof. falda : Falda non rilevata

- note :

- pagina :

prf	LP	LL	Rp	RL	Rp/RI	prf	LP	LL	Rp	RL	Rp/RI
m	Kg/cm ²	Kg/cm ²	Kg/cm ²	Kg/cm ²	-	m	Kg/cm ²	Kg/cm ²	Kg/cm ²	Kg/cm ²	
0,20				1,20		2,80	20,0	37,0	20,0	1,07	19,0
0,40	38,0	56,0	38,0	1,33	28,0	3,00	19,0	35,0	19,0	0,93	20,0
0,60	46,0	66,0	46,0	0,87	53,0	3,20	22,0	36,0	22,0	1,53	14,0
0,80	60,0	73,0	60,0	1,47	41,0	3,40	25,0	48,0	25,0	1,13	22,0
1,00	44,0	66,0	44,0	1,87	24,0	3,60	28,0	45,0	28,0	2,47	11,0
1,20	40,0	68,0	40,0	1,60	25,0	3,80	31,0	68,0	31,0	2,67	12,0
1,40	38,0	62,0	38,0	1,80	21,0	4,00	32,0	72,0	32,0	3,00	11,0
1,60	28,0	55,0	28,0	2,07	14,0	4,20	43,0	88,0	43,0	2,47	17,0
1,80	27,0	58,0	27,0	2,67	10,0	4,40	43,0	80,0	43,0	2,27	19,0
2,00	23,0	63,0	23,0	2,53	9,0	4,60	84,0	118,0	84,0	4,27	20,0
2,20	20,0	58,0	20,0	2,13	9,0	4,80	345,0	409,0	345,0	2,53	136,0
2,40	18,0	50,0	18,0	1,40	13,0	5,00	370,0	408,0	370,0	2,20	168,0
2,60	21,0	42,0	21,0	1,13	19,0	5,20	400,0	433,0	400,0		

⁻ PENETROMETRO STATICO tipo GOUDA da 20 t - (con anello allargatore) -

⁻ COSTANTE DI TRASFORMAZIONE Ct = 10 - Velocità Avanzamento punta 2 cm/s - punta meccanica tipo Begemann ø = 35.7 mm (area punta 10 cm² - apertura 60°)

⁻ manicotto laterale (superficie 150 cm²)

Rifer. 193-20

CPT 2

2.010496-071

PROVA PENETROMETRICA STATICA LETTURE DI CAMPAGNA / VALORI DI RESISTENZA

- data : - committente : Dott. Geol. Maurizio Castellari 24/11/2020 - lavoro : P.U.A. nuova lottizzazione - quota inizio: Piano Campagna - località : Via Pietro Patarini, Imola (BO) - prof. falda : Falda non rilevata

- note : - pagina :

prf	LP	LL	Rp	RL	Rp/RI	prf	LP	LL	Rp	RL	Rp/RI
m	Kg/cm ²	Kg/cm ²	Kg/cm ²	Kg/cm ²	-	m	Kg/cm ²	Kg/cm ²	Kg/cm ²	Kg/cm ²	-
0,20				2,20		3,20	33,0	80,0	33,0	3,47	10,0
0,40	32,0	65,0	32,0	1,87	17,0	3,40	33,0	85,0	33,0	3,33	10,0
0,60	49,0	77,0	49,0	1,60	31,0	3,60	31,0	81,0	31,0	3,13	10,0
0,80	84,0	108,0	84,0	1,80	47,0	3,80	35,0	82,0	35,0	2,80	13,0
1,00	93,0	120,0	93,0	2,60	36,0	4,00	47,0	89,0	47,0	3,87	12,0
1,20	82,0	121,0	82,0	2,73	30,0	4,20	40,0	98,0	40,0	3,73	11,0
1,40	67,0	108,0	67,0	2,47	27,0	4,40	47,0	103,0	47,0	4,07	12,0
1,60	68,0	105,0	68,0	2,60	26,0	4,60	43,0	104,0	43,0	3,80	11,0
1,80	62,0	101,0	62,0	2,60	24,0	4,80	40,0	97,0	40,0	2,47	16,0
2,00	57,0	96,0	57,0	3,33	17,0	5,00	43,0	80,0	43,0	3,47	12,0
2,20	55,0	105,0	55,0	2,47	22,0	5,20	39,0	91,0	39,0	2,93	13,0
2,40	52,0	89,0	52,0	2,80	19,0	5,40	50,0	94,0	50,0	7,07	7,0
2,60	52,0	94,0	52,0	2,33	22,0	5,60	239,0	345,0	239,0	0,67	358,0
2,80	43,0	78,0	43,0	3,80	11,0	5,80	455,0	465,0	455,0		
3,00	38,0	95,0	38,0	3,13	12,0						

⁻ PENETROMETRO STATICO tipo GOUDA da 20 t - (con anello allargatore) -

⁻ COSTANTE DI TRASFORMAZIONE Ct = 10 - Velocità Avanzamento punta 2 cm/s - punta meccanica tipo Begemann ø = 35.7 mm (area punta 10 cm² - apertura 60°) - manicotto laterale (superficie 150 cm²)

Rifer. 193-20

PROVA PENETROMETRICA STATICA LETTURE DI CAMPAGNA / VALORI DI RESISTENZA

CPT 3 2.010496-071

- data : - committente : Dott. Geol. Maurizio Castellari 24/11/2020 - lavoro : P.U.A. nuova lottizzazione - quota inizio: Piano Campagna - località : Via Pietro Patarini, Imola (BO) - prof. falda : Falda non rilevata

- note : - pagina :

prf	LP	LL	Rp	RL	Rp/RI	prf	LP	LL	Rp	RL	Rp/RI
m	Kg/cm ²	Kg/cm ²	Kg/cm ²	Kg/cm ²	-	m	Kg/cm ²	Kg/cm ²	Kg/cm ²	Kg/cm ²	-
0,20				1,53		3,00	25,0	54,0	25,0	1,53	16,0
0,40	31,0	54,0	31,0	1,40	22,0	3,20	30,0	53,0	30,0	1,67	18,0
0,60	43,0	64,0	43,0	1,53	28,0	3,40	33,0	58,0	33,0	3,07	11,0
0,80	46,0	69,0	46,0	1,87	25,0	3,60	37,0	83,0	37,0	2,87	13,0
1,00	30,0	58,0	30,0	1,00	30,0	3,80	40,0	83,0	40,0	3,07	13,0
1,20	38,0	53,0	38,0	1,33	28,0	4,00	44,0	90,0	44,0	3,33	13,0
1,40	38,0	58,0	38,0	1,60	24,0	4,20	39,0	89,0	39,0	3,00	13,0
1,60	39,0	63,0	39,0	1,80	22,0	4,40	38,0	83,0	38,0	3,20	12,0
1,80	43,0	70,0	43,0	1,60	27,0	4,60	41,0	89,0	41,0	2,07	20,0
2,00	45,0	69,0	45,0	1,80	25,0	4,80	50,0	81,0	50,0	2,60	19,0
2,20	45,0	72,0	45,0	2,07	22,0	5,00	69,0	108,0	69,0	8,53	8,0
2,40	32,0	63,0	32,0	1,80	18,0	5,20	150,0	278,0	150,0	0,87	173,0
2,60	37,0	64,0	37,0	1,93	19,0	5,40	456,0	469,0	456,0		
2,80	21,0	50,0	21,0	1,93	11,0		,	,	,		

⁻ PENETROMETRO STATICO tipo GOUDA da 20 t - (con anello allargatore) -

⁻ COSTANTE DI TRASFORMAZIONE Ct = 10 - Velocità Avanzamento punta 2 cm/s - punta meccanica tipo Begemann ø = 35.7 mm (area punta 10 cm² - apertura 60°) - manicotto laterale (superficie 150 cm²)

Rifer. 193-20

PROVA PENETROMETRICA STATICA LETTURE DI CAMPAGNA / VALORI DI RESISTENZA

CPT 4

2.010496-071

- data : - committente : Dott. Geol. Maurizio Castellari 24/11/2020 - lavoro : P.U.A. nuova lottizzazione - quota inizio: Piano Campagna - località : Via Pietro Patarini, Imola (BO) - prof. falda : Falda non rilevata

- note : - pagina :

prf	LP	LL	Rp	RL	Rp/RI	prf	LP	LL	Rp	RL	Rp/RI
m	Kg/cm ²	Kg/cm ²	Kg/cm ²	Kg/cm ²	-	m	Kg/cm ²	Kg/cm ²	Kg/cm ²	Kg/cm ²	
0,20				1,87		3,00	30,0	63,0	30,0	2,60	12,0
0,40	55,0	83,0	55,0	1,67	33,0	3,20	31,0	70,0	31,0	2,73	11,0
0,60	60,0	85,0	60,0	1,60	37,0	3,40	35,0	76,0	35,0	3,07	11,0
0,80	77,0	101,0	77,0	2,47	31,0	3,60	36,0	82,0	36,0	3,60	10,0
1,00	66,0	103,0	66,0	2,27	29,0	3,80	44,0	98,0	44,0	3,80	12,0
1,20	66,0	100,0	66,0	2,33	28,0	4,00	51,0	108,0	51,0	4,67	11,0
1,40	71,0	106,0	71,0	2,60	27,0	4,20	50,0	120,0	50,0	4,20	12,0
1,60	65,0	104,0	65,0	3,00	22,0	4,40	56,0	119,0	56,0	4,53	12,0
1,80	57,0	102,0	57,0	3,20	18,0	4,60	50,0	118,0	50,0	4,80	10,0
2,00	44,0	92,0	44,0	4,00	11,0	4,80	43,0	115,0	43,0	3,67	12,0
2,20	44,0	104,0	44,0	3,80	12,0	5,00	41,0	96,0	41,0	2,67	15,0
2,40	38,0	95,0	38,0	2,80	14,0	5,20	48,0	88,0	48,0	2,53	19,0
2,60	22,0	64,0	22,0	2,40	9,0	5,40	32,0	70,0	32,0	0,67	48,0
2,80	26,0	62,0	26,0	2,20	12,0	5,60	390,0	400,0	390,0		

⁻ PENETROMETRO STATICO tipo GOUDA da 20 t - (con anello allargatore) -

⁻ COSTANTE DI TRASFORMAZIONE Ct = 10 - Velocità Avanzamento punta 2 cm/s - punta meccanica tipo Begemann ø = 35.7 mm (area punta 10 cm² - apertura 60°)

⁻ manicotto laterale (superficie 150 cm²)

Rifer. 193-20

PROVA PENETROMETRICA STATICA LETTURE DI CAMPAGNA / VALORI DI RESISTENZA

CPT 5 2.010496-071

- data : - committente : Dott. Geol. Maurizio Castellari 24/11/2020 - lavoro : P.U.A. nuova lottizzazione - quota inizio: Piano Campagna - località : Via Pietro Patarini, Imola (BO) - prof. falda : Falda non rilevata

- note : - pagina :

prf	LP	LL	Rp	RL	Rp/RI	prf	LP	LL	Rp	RL	Rp/RI	
m	Kg/cm ²	Kg/cm ²	Kg/cm ²	Kg/cm ²	-	m	Kg/cm ²	Kg/cm ²	Kg/cm ²	Kg/cm ²	-	
0,20				1,00		4,00	28,0	47,0	28,0	1,27	22,0	
0,40	20,0	35,0	20,0	0,53	37,0	4,20	31,0	50,0	31,0	2,33	13,0	
0,60	39,0	47,0	39,0	1,40	28,0	4,40	34,0	69,0	34,0	2,53	13,0	
0,80	60,0	81,0	60,0	1,40	43,0	4,60	37,0	75,0	37,0	2,87	13,0	
1,00	57,0	78,0	57,0	2,20	26,0	4,80	38,0	81,0	38,0	2,93	13,0	
1,20	57,0	90,0	57,0	2,20	26,0	5,00	40,0	84,0	40,0	3,00	13,0	
1,40	57,0	90,0	57,0	2,93	19,0	5,20	42,0	87,0	42,0	3,13	13,0	
1,60	41,0	85,0	41,0	3,07	13,0	5,40	39,0	86,0	39,0	2,87	14,0	
1,80	38,0	84,0	38,0	2,47	15,0	5,60	29,0	72,0	29,0	2,60	11,0	
2,00	25,0	62,0	25,0	2,33	11,0	5,80	32,0	71,0	32,0	2,13	15,0	
2,20	38,0	73,0	38,0	2,00	19,0	6,00	29,0	61,0	29,0	1,80	16,0	
2,40	20,0	50,0	20,0	1,00	20,0	6,20	28,0	55,0	28,0	1,67	17,0	
2,60	39,0	54,0	39,0	1,27	31,0	6,40	26,0	51,0	26,0	2,07	13,0	
2,80	15,0	34,0	15,0	0,87	17,0	6,60	39,0	70,0	39,0	1,80	22,0	
3,00	19,0	32,0	19,0	1,13	17,0	6,80	33,0	60,0	33,0	2,33	14,0	
3,20	19,0	36,0	19,0	1,07	18,0	7,00	39,0	74,0	39,0	3,33	12,0	
3,40	21,0	37,0	21,0	1,00	21,0	7,20	196,0	246,0	196,0	5,60	35,0	
3,60	19,0	34,0	19,0	0,80	24,0	7,40	276,0	360,0	276,0	5,93	47,0	
3,80	18,0	30,0	18,0	1,27	14,0	7,60	366,0	455,0	366,0			

⁻ PENETROMETRO STATICO tipo GOUDA da 20 t - (con anello allargatore) -

⁻ COSTANTE DI TRASFORMAZIONE Ct = 10 - Velocità Avanzamento punta 2 cm/s - punta meccanica tipo Begemann ø = 35.7 mm (area punta 10 cm² - apertura 60°)

⁻ manicotto laterale (superficie 150 cm²)

Rifer. 193-20

PROVA PENETROMETRICA STATICA LETTURE DI CAMPAGNA / VALORI DI RESISTENZA

CPT 6

2.010496-071

- data : - committente : Dott. Geol. Maurizio Castellari 24/11/2020 - lavoro : P.U.A. nuova lottizzazione - quota inizio: Piano Campagna - località : Via Pietro Patarini, Imola (BO) - prof. falda : Falda non rilevata

- note : - pagina :

prf	LP	LL	Rp	RL	Rp/RI	prf	LP	LL	Rp	RL	Rp/RI
m	Kg/cm ²	Kg/cm ²	Kg/cm ²	Kg/cm ²	-	m	Kg/cm ²	Kg/cm ²	Kg/cm ²	Kg/cm ²	-
0,20				0,53		4,00	26,0	55,0	26,0	1,60	16,0
0,40	19,0	27,0	19,0	0,73	26,0	4,20	44,0	68,0	44,0	2,67	16,0
0,60	33,0	44,0	33,0	1,13	29,0	4,40	52,0	92,0	52,0	4,00	13,0
0,80	49,0	66,0	49,0	1,27	39,0	4,60	47,0	107,0	47,0	3,47	14,0
1,00	58,0	77,0	58,0	2,67	22,0	4,80	43,0	95,0	43,0	3,40	13,0
1,20	53,0	93,0	53,0	2,13	25,0	5,00	32,0	83,0	32,0	2,93	11,0
1,40	56,0	88,0	56,0	2,53	22,0	5,20	36,0	80,0	36,0	2,33	15,0
1,60	44,0	82,0	44,0	2,47	18,0	5,40	26,0	61,0	26,0	2,73	10,0
1,80	42,0	79,0	42,0	2,47	17,0	5,60	25,0	66,0	25,0	1,80	14,0
2,00	35,0	72,0	35,0	2,20	16,0	5,80	24,0	51,0	24,0	2,07	12,0
2,20	19,0	52,0	19,0	1,60	12,0	6,00	27,0	58,0	27,0	1,13	24,0
2,40	27,0	51,0	27,0	1,27	21,0	6,20	19,0	36,0	19,0	0,93	20,0
2,60	23,0	42,0	23,0	0,93	25,0	6,40	22,0	36,0	22,0	0,93	24,0
2,80	26,0	40,0	26,0	1,13	23,0	6,60	24,0	38,0	24,0	0,73	33,0
3,00	18,0	35,0	18,0	0,80	22,0	6,80	22,0	33,0	22,0	1,00	22,0
3,20	18,0	30,0	18,0	0,93	19,0	7,00	29,0	44,0	29,0	1,07	27,0
3,40	22,0	36,0	22,0	1,13	19,0	7,20	26,0	42,0	26,0	1,87	14,0
3,60	23,0	40,0	23,0	1,33	17,0	7,40	194,0	222,0	194,0	0,93	208,0
3,80	22,0	42,0	22,0	1,93	11,0	7,60	455,0	469,0	455,0		

⁻ PENETROMETRO STATICO tipo GOUDA da 20 t - (con anello allargatore) -

⁻ COSTANTE DI TRASFORMAZIONE Ct = 10 - Velocità Avanzamento punta 2 cm/s - punta meccanica tipo Begemann ø = 35.7 mm (area punta 10 cm² - apertura 60°)

⁻ manicotto laterale (superficie 150 cm²)

Rifer. 193-20

PROVA PENETROMETRICA STATICA LETTURE DI CAMPAGNA / VALORI DI RESISTENZA

CPT 7

2.010496-071

- data : - committente : Dott. Geol. Maurizio Castellari 24/11/2020 - lavoro : P.U.A. nuova lottizzazione - quota inizio: Piano Campagna - prof. falda : Via Pietro Patarini, Imola (BO) località Falda non rilevata

- note : - pagina :

prf	LP	LL	Rp	RL	Rp/RI	prf	LP	LL	Rp	RL	Rp/RI
m	Kg/cm ²	Kg/cm ²	Kg/cm ²	Kg/cm ²	-	m	Kg/cm ²	Kg/cm ²	Kg/cm ²	Kg/cm ²	-
0,20				1,73		3,20	29,0	52,0	29,0	1,87	16,0
0,40	47,0	73,0	47,0	1,40	34,0	3,40	31,0	59,0	31,0	2,20	14,0
0,60	68,0	89,0	68,0	2,13	32,0	3,60	32,0	65,0	32,0	2,53	13,0
0,80	66,0	98,0	66,0	1,47	45,0	3,80	36,0	74,0	36,0	2,47	15,0
1,00	72,0	94,0	72,0	1,93	37,0	4,00	41,0	78,0	41,0	2,67	15,0
1,20	62,0	91,0	62,0	1,80	34,0	4,20	38,0	78,0	38,0	2,40	16,0
1,40	64,0	91,0	64,0	1,73	37,0	4,40	37,0	73,0	37,0	2,40	15,0
1,60	62,0	88,0	62,0	2,33	27,0	4,60	35,0	71,0	35,0	2,40	15,0
1,80	58,0	93,0	58,0	2,40	24,0	4,80	37,0	73,0	37,0	2,60	14,0
2,00	32,0	68,0	32,0	2,73	12,0	5,00	31,0	70,0	31,0	1,33	23,0
2,20	19,0	60,0	19,0	1,93	10,0	5,20	26,0	46,0	26,0	1,80	14,0
2,40	20,0	49,0	20,0	1,27	16,0	5,40	36,0	63,0	36,0	1,60	22,0
2,60	18,0	37,0	18,0	1,13	16,0	5,60	48,0	72,0	48,0	1,20	40,0
2,80	23,0	40,0	23,0	1,07	22,0	5,80	468,0	486,0	468,0		
3,00	25,0	41,0	25,0	1,53	16,0						

⁻ PENETROMETRO STATICO tipo GOUDA da 20 t - (con anello allargatore) -

⁻ COSTANTE DI TRASFORMAZIONE Ct = 10 - Velocità Avanzamento punta 2 cm/s - punta meccanica tipo Begemann ø = 35.7 mm (area punta 10 cm² - apertura 60°) - manicotto laterale (superficie 150 cm²)

Rifer. 193-20

CPT 8

2.010496-071

PROVA PENETROMETRICA STATICA LETTURE DI CAMPAGNA / VALORI DI RESISTENZA

- data : - committente : Dott. Geol. Maurizio Castellari 24/11/2020 - lavoro : P.U.A. nuova lottizzazione - quota inizio: Piano Campagna - località : Via Pietro Patarini, Imola (BO) - prof. falda : Falda non rilevata

- note : - pagina :

prf	LP	LL	Rp	RL	Rp/RI	prf	LP	LL	Rp	RL	Rp/RI
m	Kg/cm ²	Kg/cm ²	Kg/cm ²	Kg/cm ²	-	m	Kg/cm ²	Kg/cm ²	Kg/cm ²	Kg/cm ²	-
0,20				0,33		3,60	27,0	54,0	27,0	1,93	14,0
0,40	29,0	34,0	29,0	0,93	31,0	3,80	40,0	69,0	40,0	1,80	22,0
0,60	68,0	82,0	68,0	1,13	60,0	4,00	43,0	70,0	43,0	2,20	20,0
0,80	79,0	96,0	79,0	2,00	40,0	4,20	52,0	85,0	52,0	2,80	19,0
1,00	88,0	118,0	88,0	2,20	40,0	4,40	54,0	96,0	54,0	2,67	20,0
1,20	83,0	116,0	83,0	3,33	25,0	4,60	44,0	84,0	44,0	2,87	15,0
1,40	69,0	119,0	69,0	2,07	33,0	4,80	42,0	85,0	42,0	2,80	15,0
1,60	66,0	97,0	66,0	2,20	30,0	5,00	48,0	90,0	48,0	2,67	18,0
1,80	64,0	97,0	64,0	2,60	25,0	5,20	52,0	92,0	52,0	2,67	19,0
2,00	39,0	78,0	39,0	2,73	14,0	5,40	43,0	83,0	43,0	1,73	25,0
2,20	29,0	70,0	29,0	2,07	14,0	5,60	60,0	86,0	60,0	1,47	41,0
2,40	26,0	57,0	26,0	1,60	16,0	5,80	38,0	60,0	38,0	1,20	32,0
2,60	25,0	49,0	25,0	1,60	16,0	6,00	78,0	96,0	78,0	1,47	53,0
2,80	26,0	50,0	26,0	1,20	22,0	6,20	55,0	77,0	55,0	2,33	24,0
3,00	27,0	45,0	27,0	1,20	22,0	6,40	119,0	154,0	119,0	2,27	53,0
3,20	28,0	46,0	28,0	1,67	17,0	6,60	499,0	533,0	499,0		
3,40	26,0	51,0	26,0	1,80	14,0						

⁻ PENETROMETRO STATICO tipo GOUDA da 20 t - (con anello allargatore) -

⁻ COSTANTE DI TRASFORMAZIONE Ct = 10 - Velocità Avanzamento punta 2 cm/s - punta meccanica tipo Begemann ø = 35.7 mm (area punta 10 cm² - apertura 60°) - manicotto laterale (superficie 150 cm²)

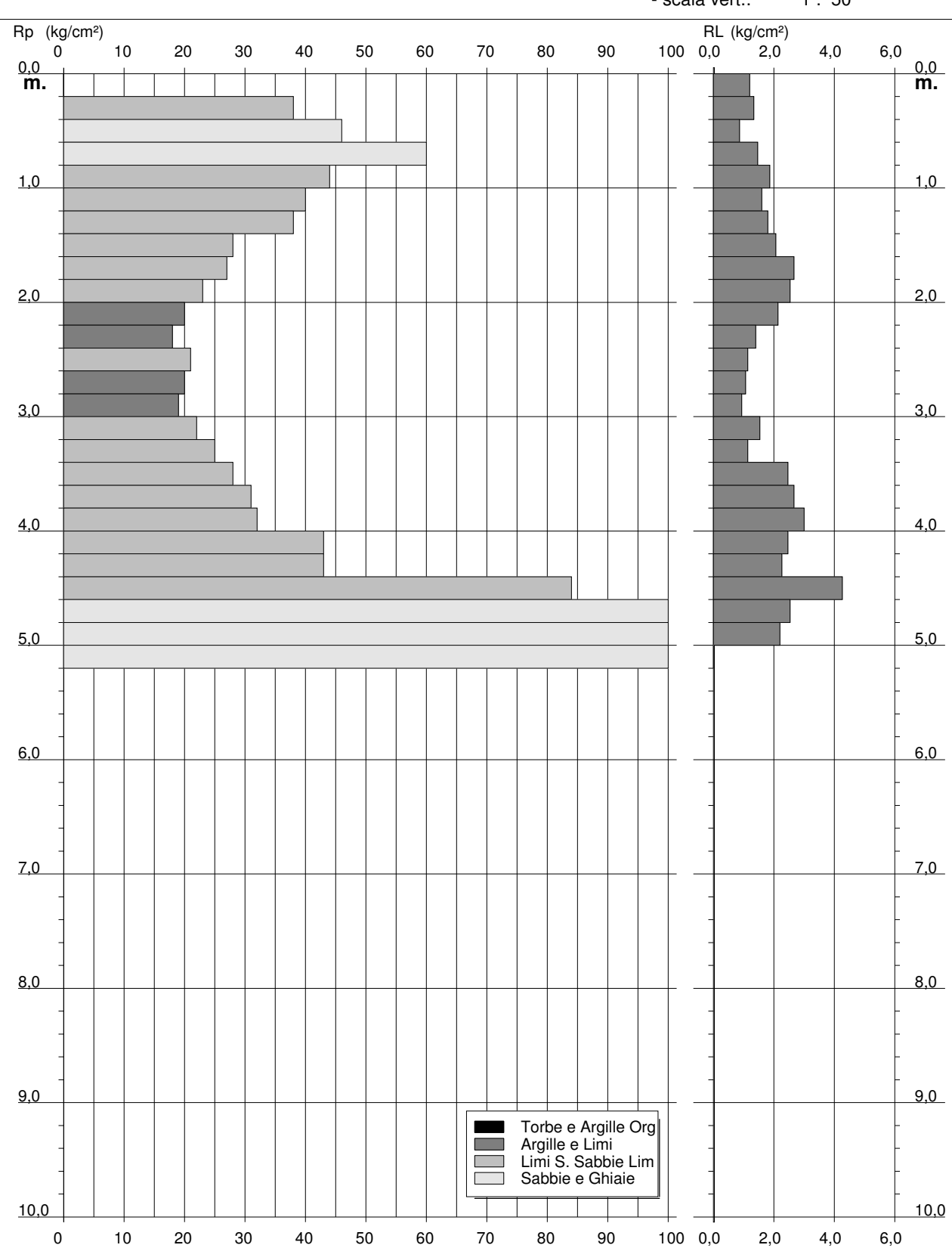
PROVA PENETROMETRICA STATICA DIAGRAMMA DI RESISTENZA

CPT 1

2.010496-071

- committente : Dott. Geol. Maurizio Castellari - lavoro : P.U.A. nuova lottizzazione - località : Via Pietro Patarini, Imola (BO) - data : 24/11/2020
- quota inizio : Piano Campagna
- prof. falda : Falda non rilevata

- scala vert.: 1:50



PROVA PENETROMETRICA STATICA DIAGRAMMA DI RESISTENZA

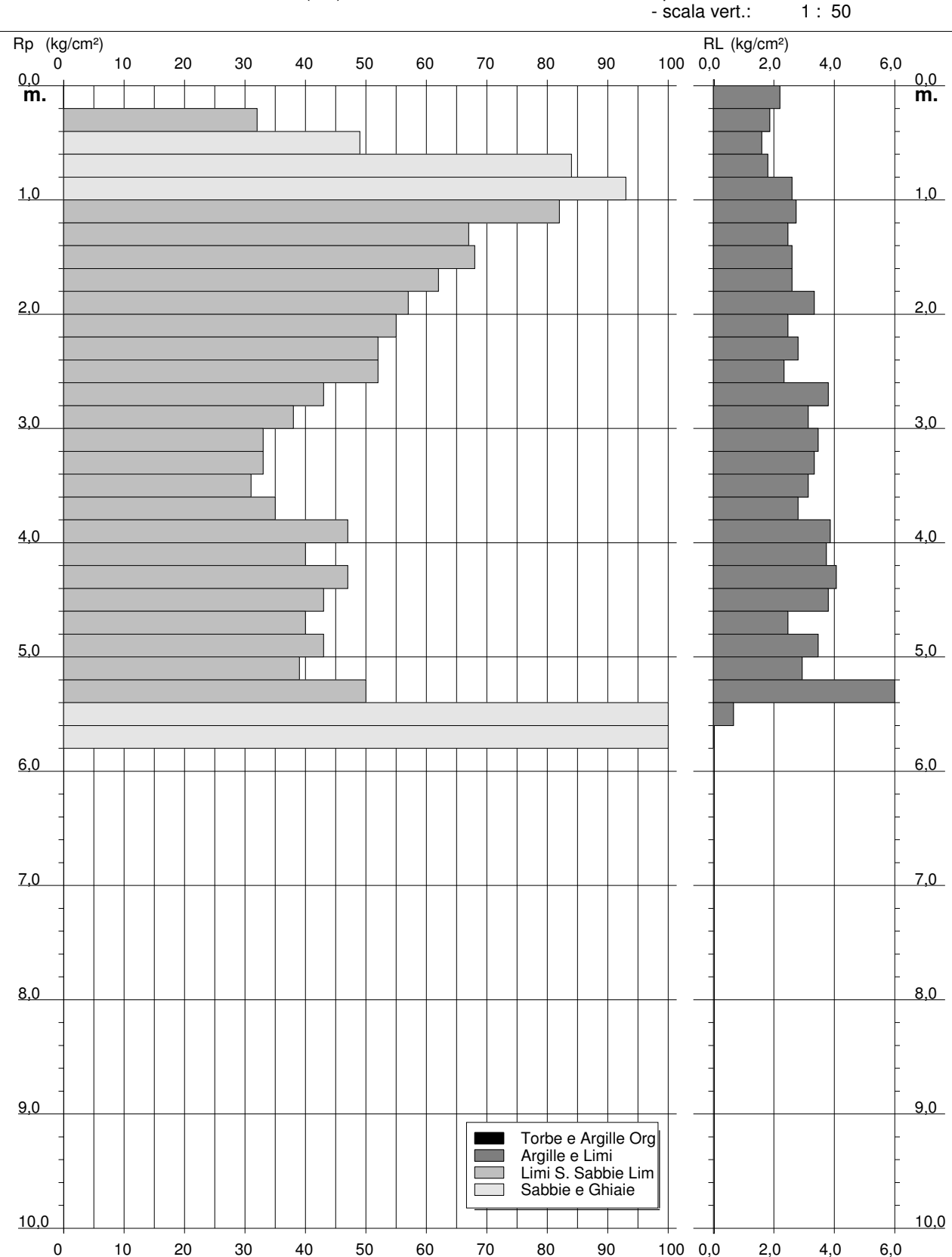
CPT 2

2.010496-071

- committente : Dott. Geol. Maurizio Castellari - lavoro : P.U.A. nuova lottizzazione Via Pietro Patarini, Imola (BO) località

24/11/2020 - data : - quota inizio: Piano Campagna - prof. falda : Falda non rilevata

1:50



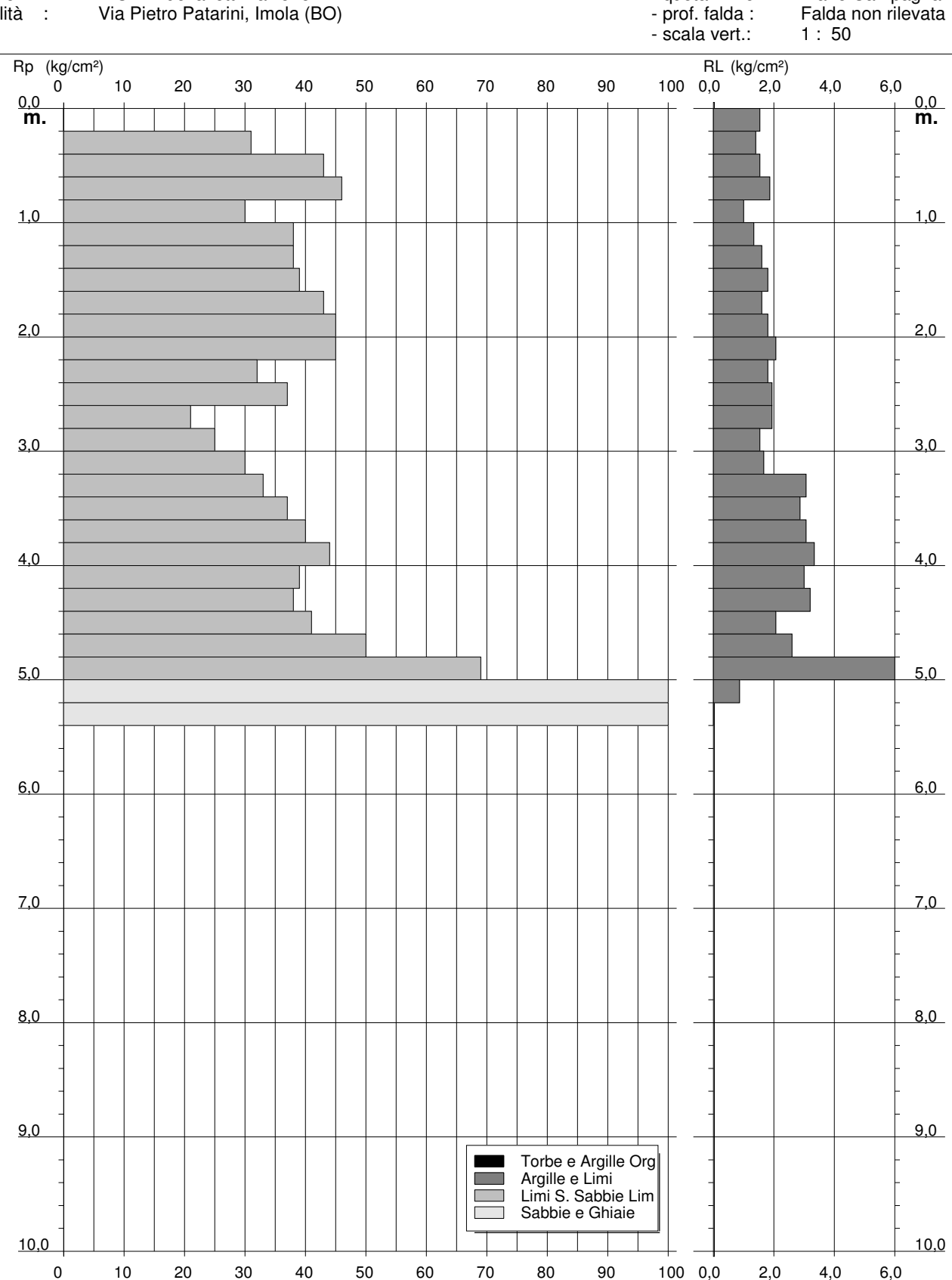
PROVA PENETROMETRICA STATICA DIAGRAMMA DI RESISTENZA

CPT 3

2.010496-071

committente: Dott. Geol. Maurizio Castellari
 lavoro: P.U.A. nuova lottizzazione
 località: Via Pietro Patarini, Imola (BO)

- data : 24/11/2020 - quota inizio : Piano Campagna



PROVA PENETROMETRICA STATICA DIAGRAMMA DI RESISTENZA

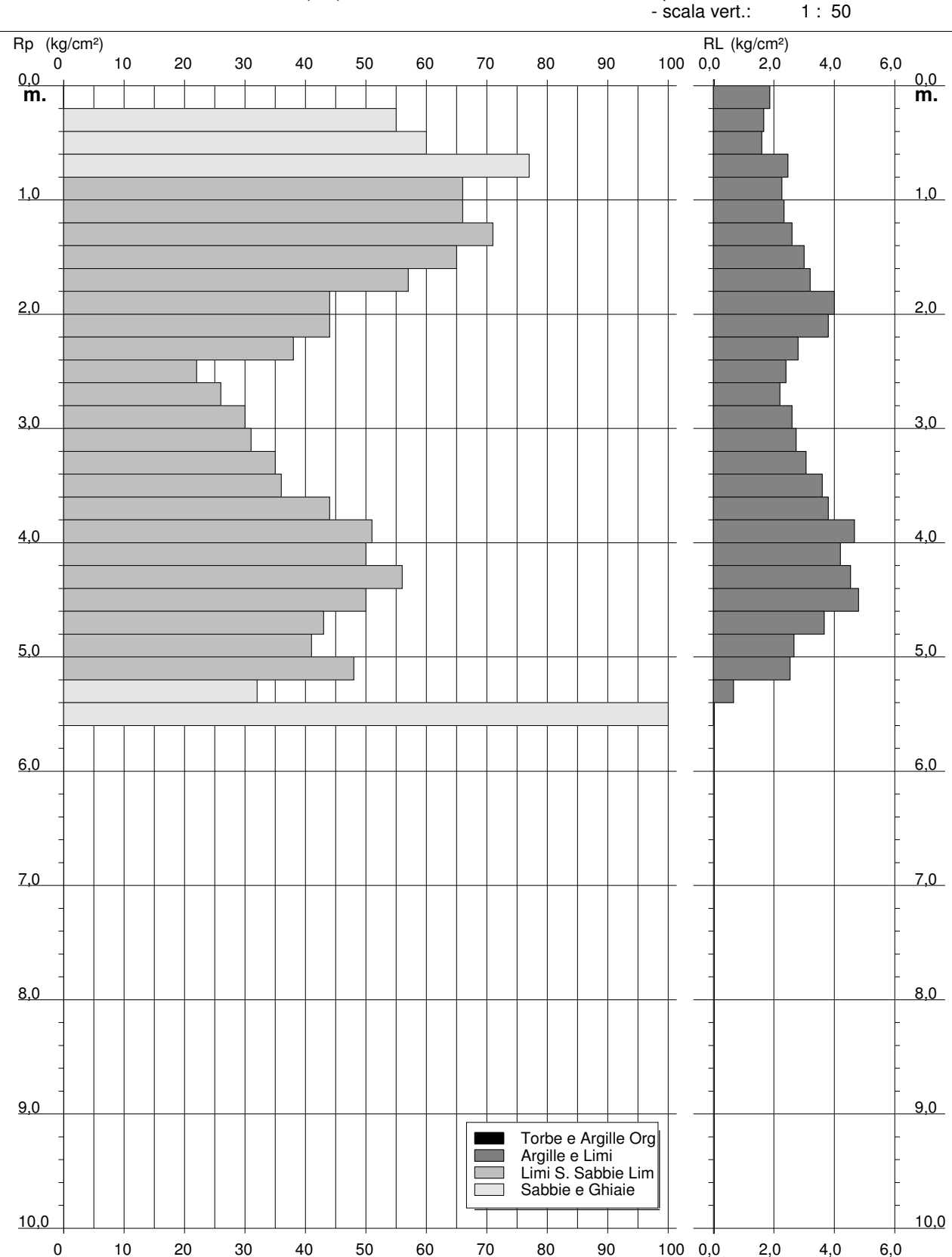
CPT 4

2.010496-071

- committente : Dott. Geol. Maurizio Castellari - lavoro : P.U.A. nuova lottizzazione Via Pietro Patarini, Imola (BO) località

- data : 24/11/2020 - quota inizio: Piano Campagna - prof. falda : Falda non rilevata

1:50



PROVA PENETROMETRICA STATICA DIAGRAMMA DI RESISTENZA

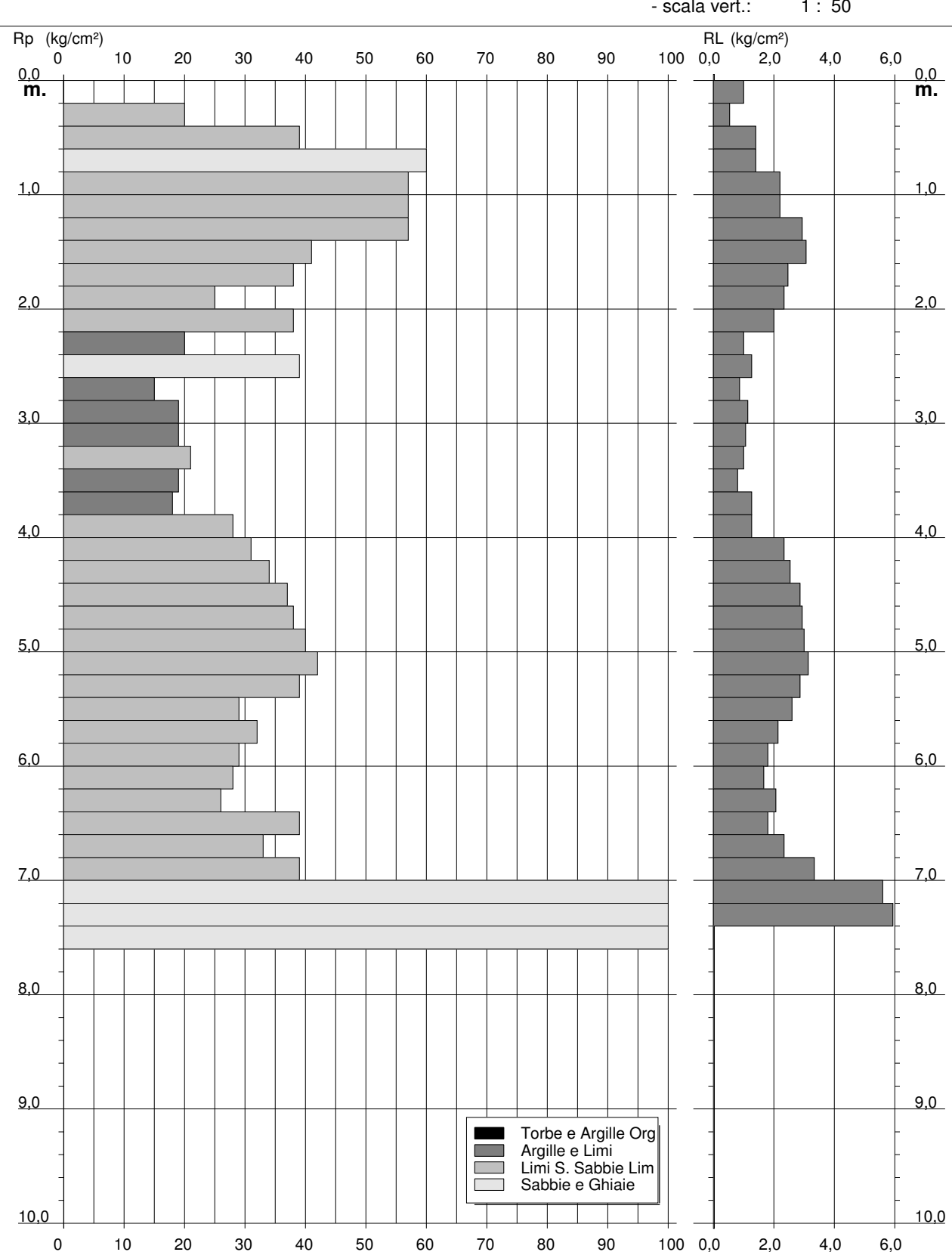
CPT 5

2.010496-071

- committente : Dott. Geol. Maurizio Castellari - lavoro : P.U.A. nuova lottizzazione Via Pietro Patarini, Imola (BO) - località

24/11/2020 - data : - quota inizio: Piano Campagna - prof. falda : Falda non rilevata

- scala vert.: 1:50



PROVA PENETROMETRICA STATICA DIAGRAMMA DI RESISTENZA

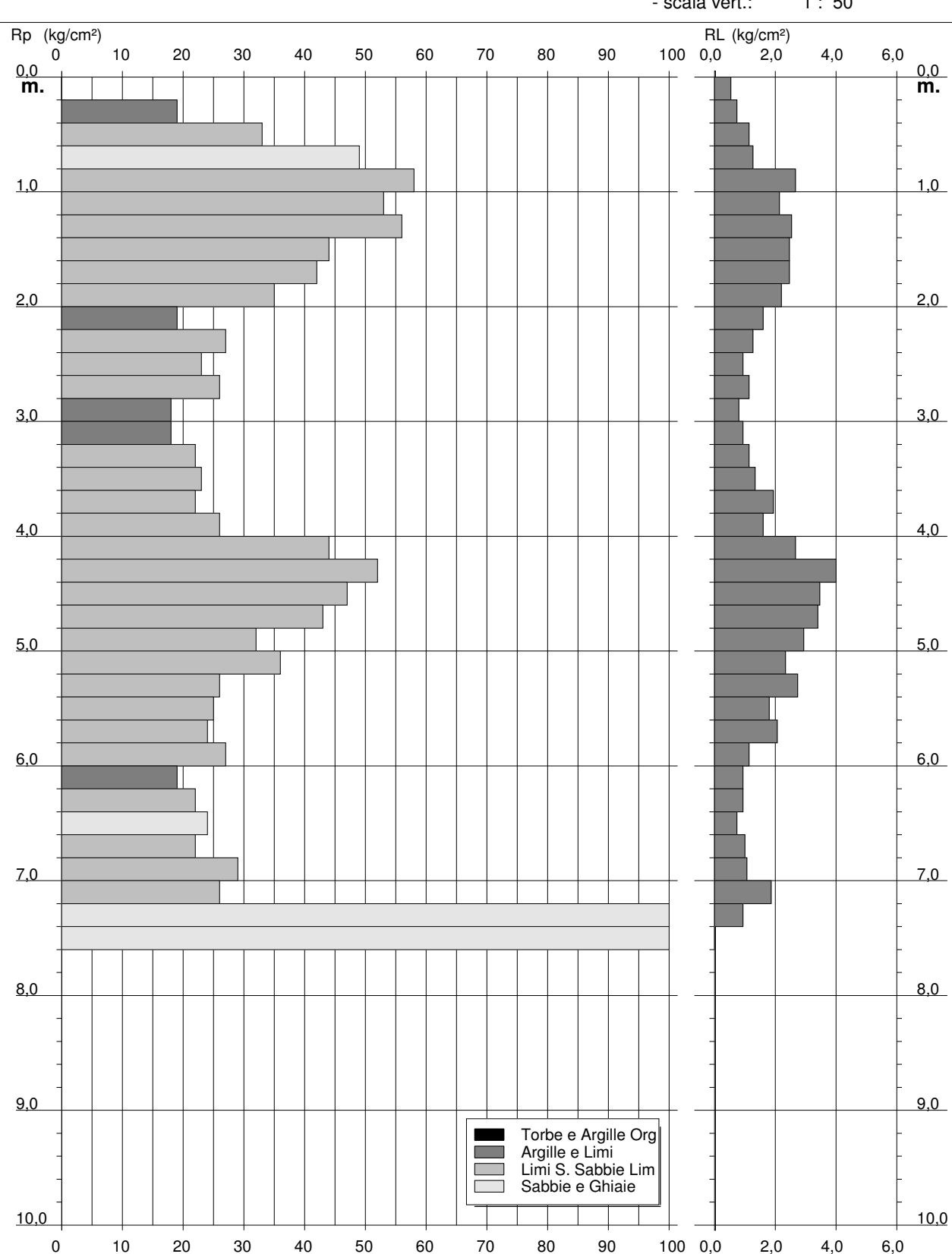
CPT 6

2.010496-071

- committente : Dott. Geol. Maurizio Castellari - lavoro : P.U.A. nuova lottizzazione Via Pietro Patarini, Imola (BO) - località

24/11/2020 - data : - quota inizio: Piano Campagna - prof. falda : Falda non rilevata

- scala vert.: 1:50



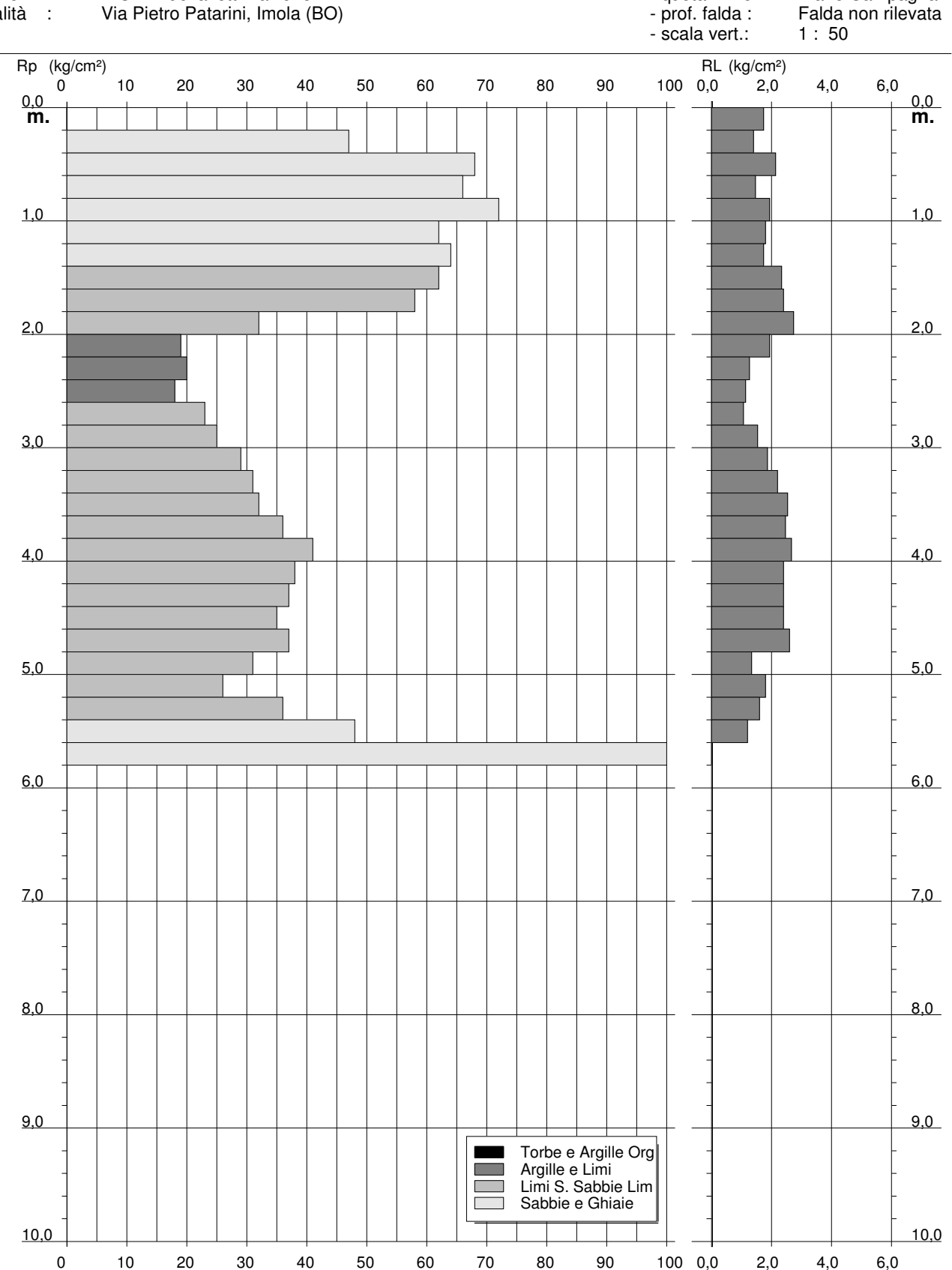
PROVA PENETROMETRICA STATICA DIAGRAMMA DI RESISTENZA

CPT 7

2.010496-071

committente : Dott. Geol. Maurizio Castellari
 lavoro : P.U.A. nuova lottizzazione
 località : Via Pietro Patarini, Imola (BO)

- data : 24/11/2020 - quota inizio : Piano Campagna



PROVA PENETROMETRICA STATICA DIAGRAMMA DI RESISTENZA

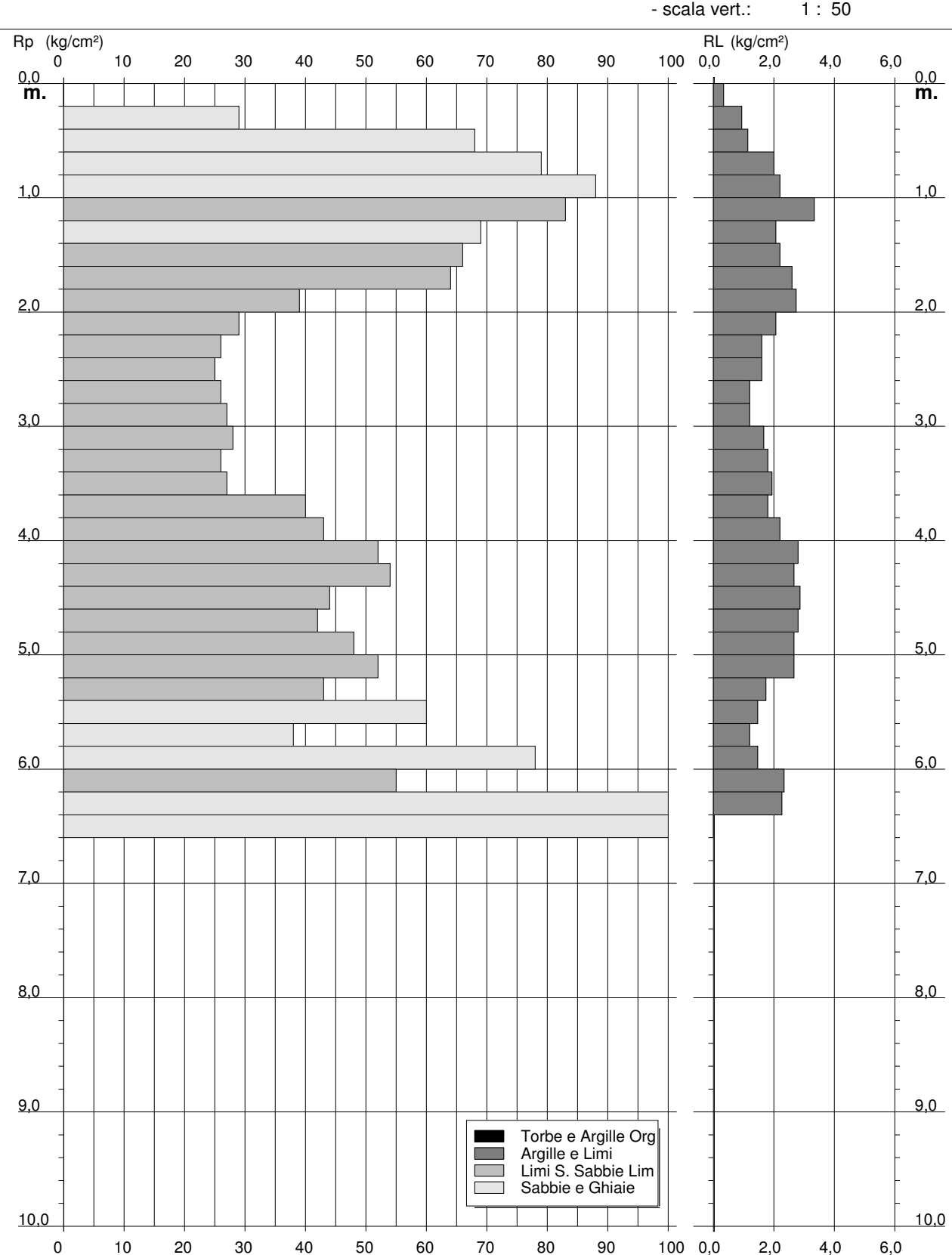
CPT 8

2.010496-071

- committente : Dott. Geol. Maurizio Castellari - lavoro : P.U.A. nuova lottizzazione Via Pietro Patarini, Imola (BO) - località

24/11/2020 - data : - quota inizio: Piano Campagna - prof. falda : Falda non rilevata

- scala vert.: 1:50

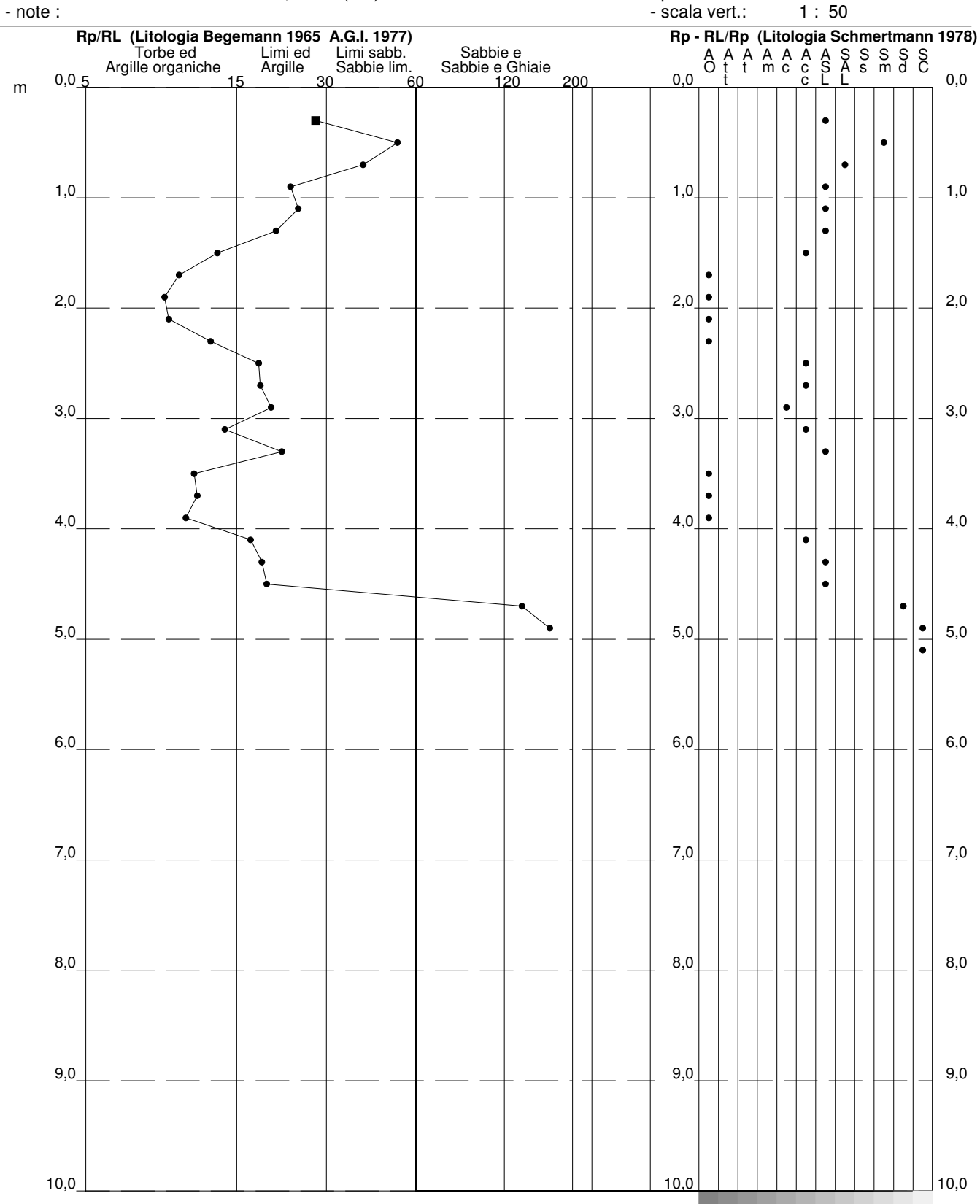


PROVA PENETROMETRICA STATICA VALUTAZIONI LITOLOGICHE

CPT 1

2.010496-071

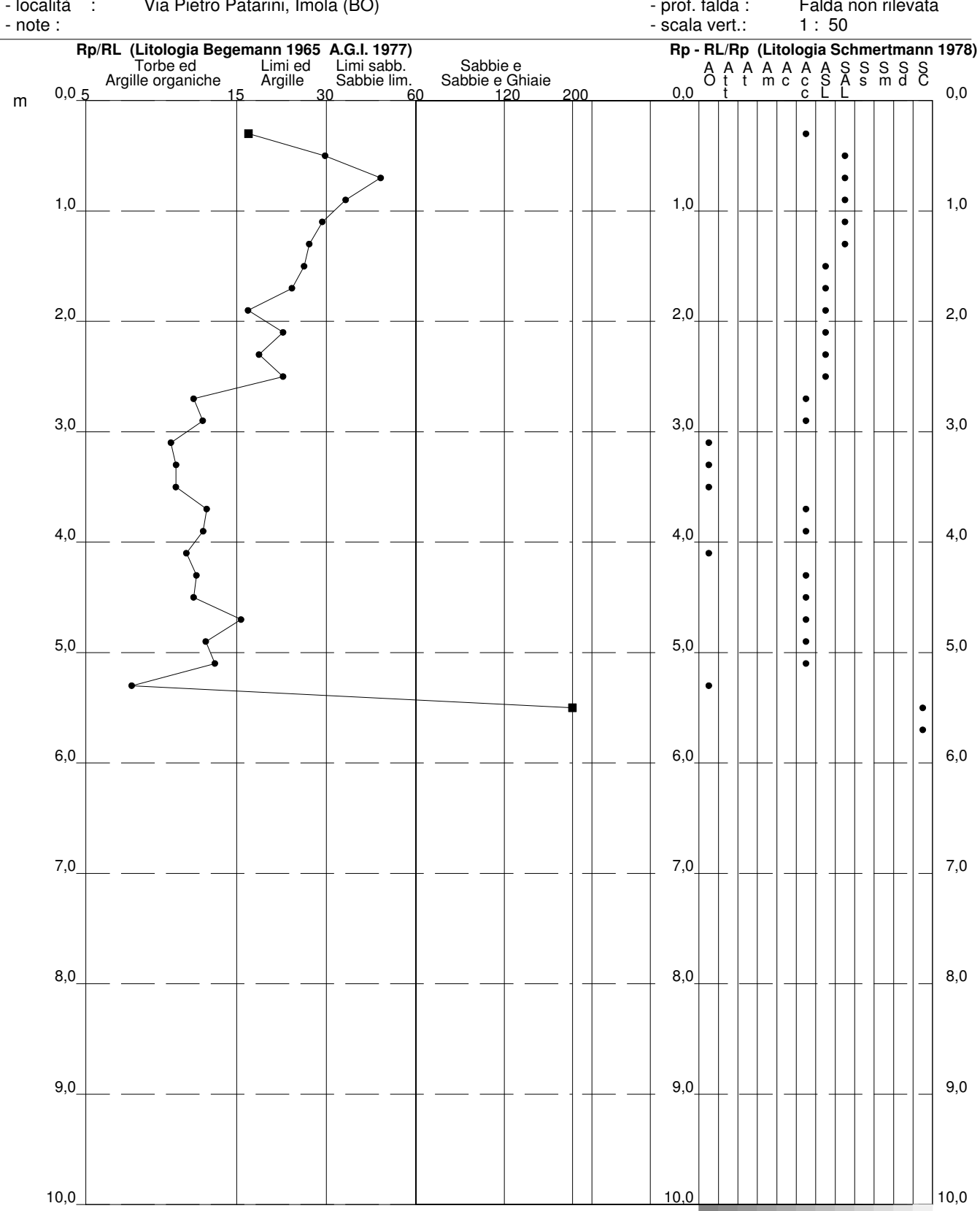
- committente : Dott. Geol. Maurizio Castellari - data : 24/11/2020
- lavoro : P.U.A. nuova lottizzazione - quota inizio : Piano Campagna - località : Via Pietro Patarini, Imola (BO) - prof. falda : Falda non rilevata



PROVA PENETROMETRICA STATICA VALUTAZIONI LITOLOGICHE

CPT 2 2.010496-071

committente : Dott. Geol. Maurizio Castellari
 lavoro : P.U.A. nuova lottizzazione
 località : Via Pietro Patarini, Imola (BO)
 data : 24/11/2020
 quota inizio : Piano Campagna
 prof. falda : Falda non rilevata

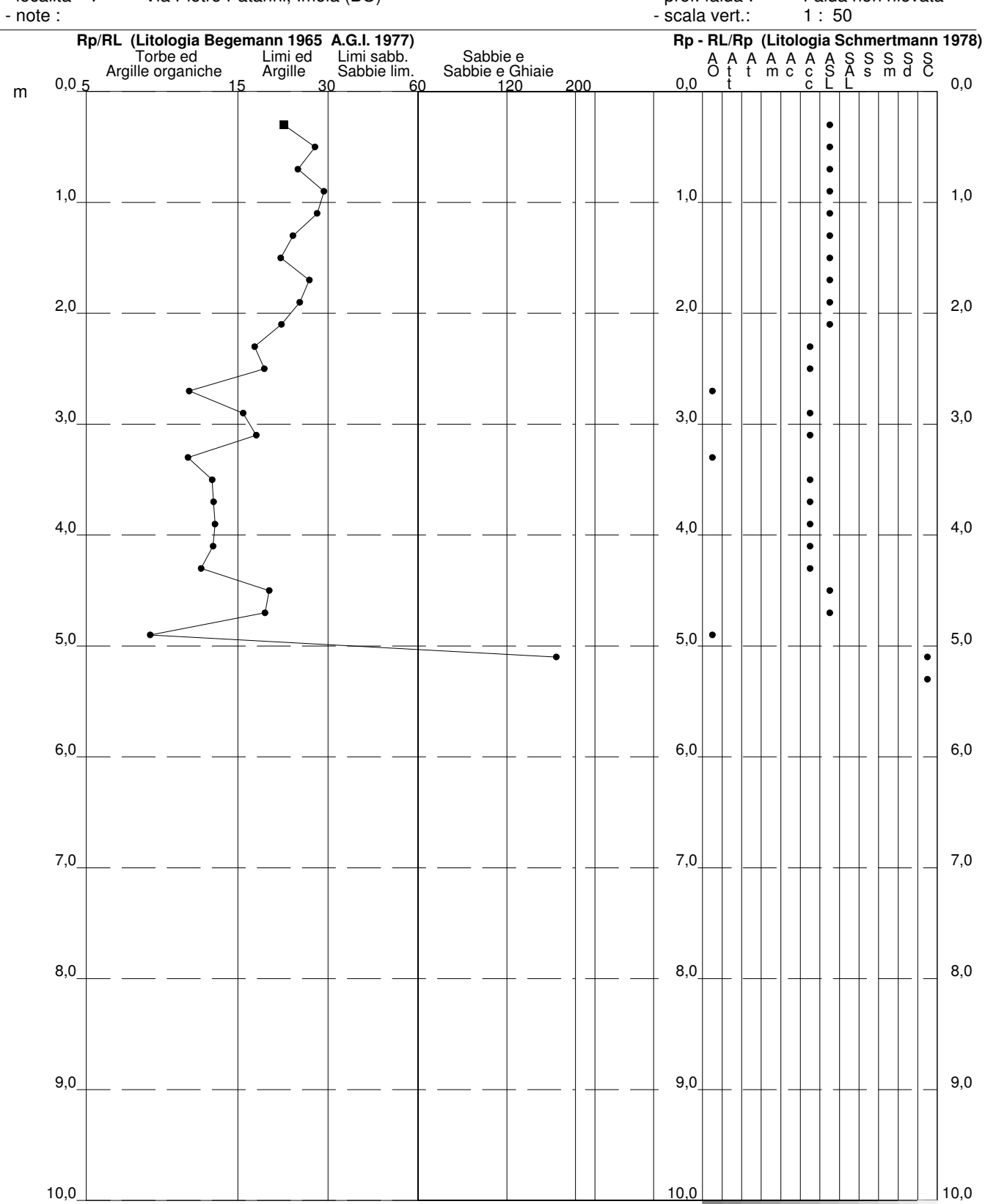


PROVA PENETROMETRICA STATICA VALUTAZIONI LITOLOGICHE

CPT 3

2.010496-071

- committente : Dott. Geol. Maurizio Castellari - data : 24/11/2020
- lavoro : P.U.A. nuova lottizzazione - quota inizio : Piano Campagna
- località : Via Pietro Patarini, Imola (BO) - prof. falda : Falda non rilevata



Rifer. 193-20

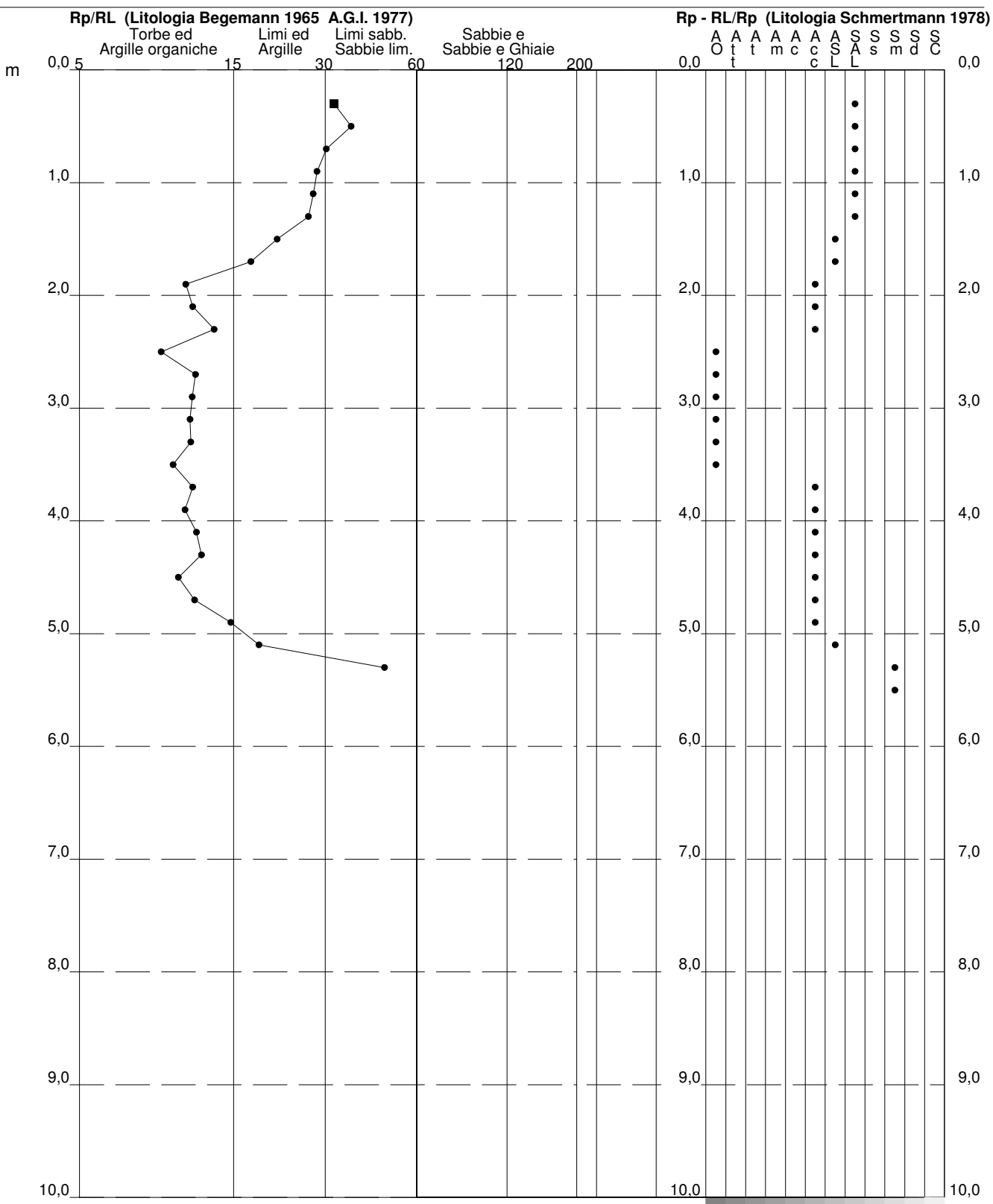
PROVA PENETROMETRICA STATICA VALUTAZIONI LITOLOGICHE

CPT 4

2.010496-071

- committente : Dott. Geol. Maurizio Castellari 24/11/2020 - data : - lavoro P.U.A. nuova lottizzazione - quota inizio: Piano Campagna Via Pietro Patarini, Imola (BO) - prof. falda : Falda non rilevata - località - note : 1:50





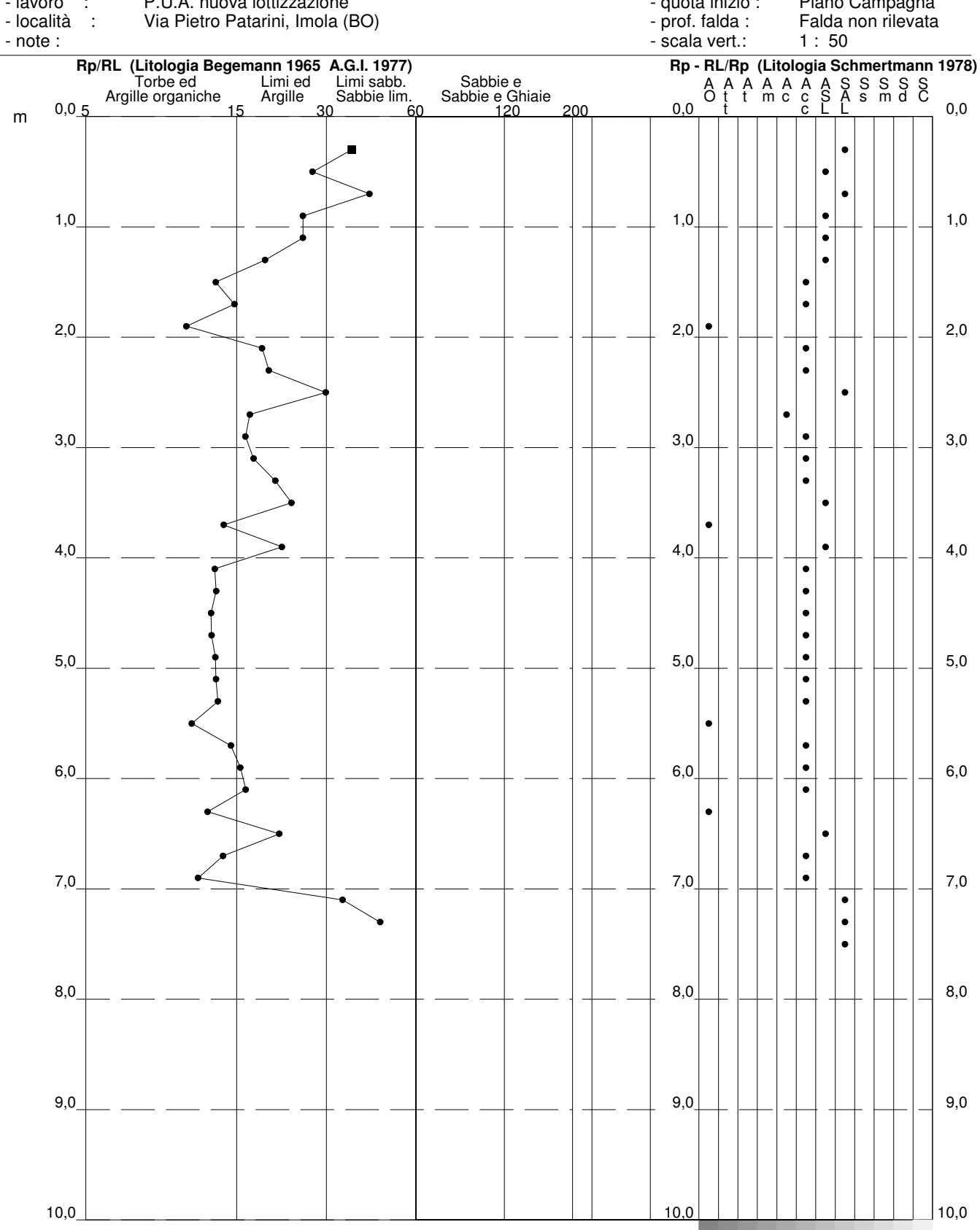
Rifer. 193-20

PROVA PENETROMETRICA STATICA VALUTAZIONI LITOLOGICHE

CPT 5

2.010496-071

- committente : Dott. Geol. Maurizio Castellari 24/11/2020 - data : - lavoro P.U.A. nuova lottizzazione - quota inizio: Piano Campagna Via Pietro Patarini, Imola (BO) - prof. falda :



- committente :

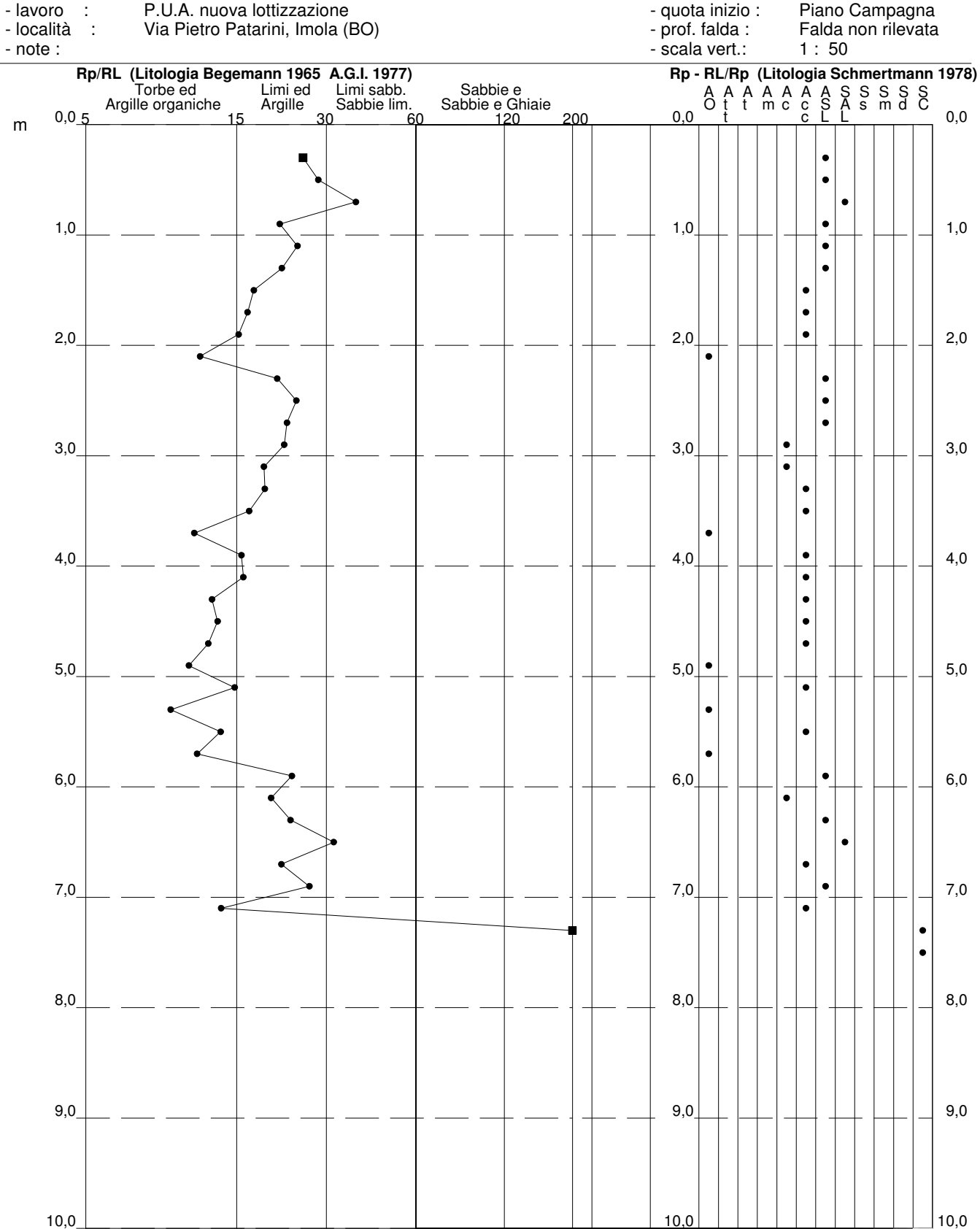
Dott. Geol. Maurizio Castellari

Rifer. 193-20

PROVA PENETROMETRICA STATICA VALUTAZIONI LITOLOGICHE

CPT 6 2.010496-071

- data : 24/11/2020 - quota inizio : Piano Campagna



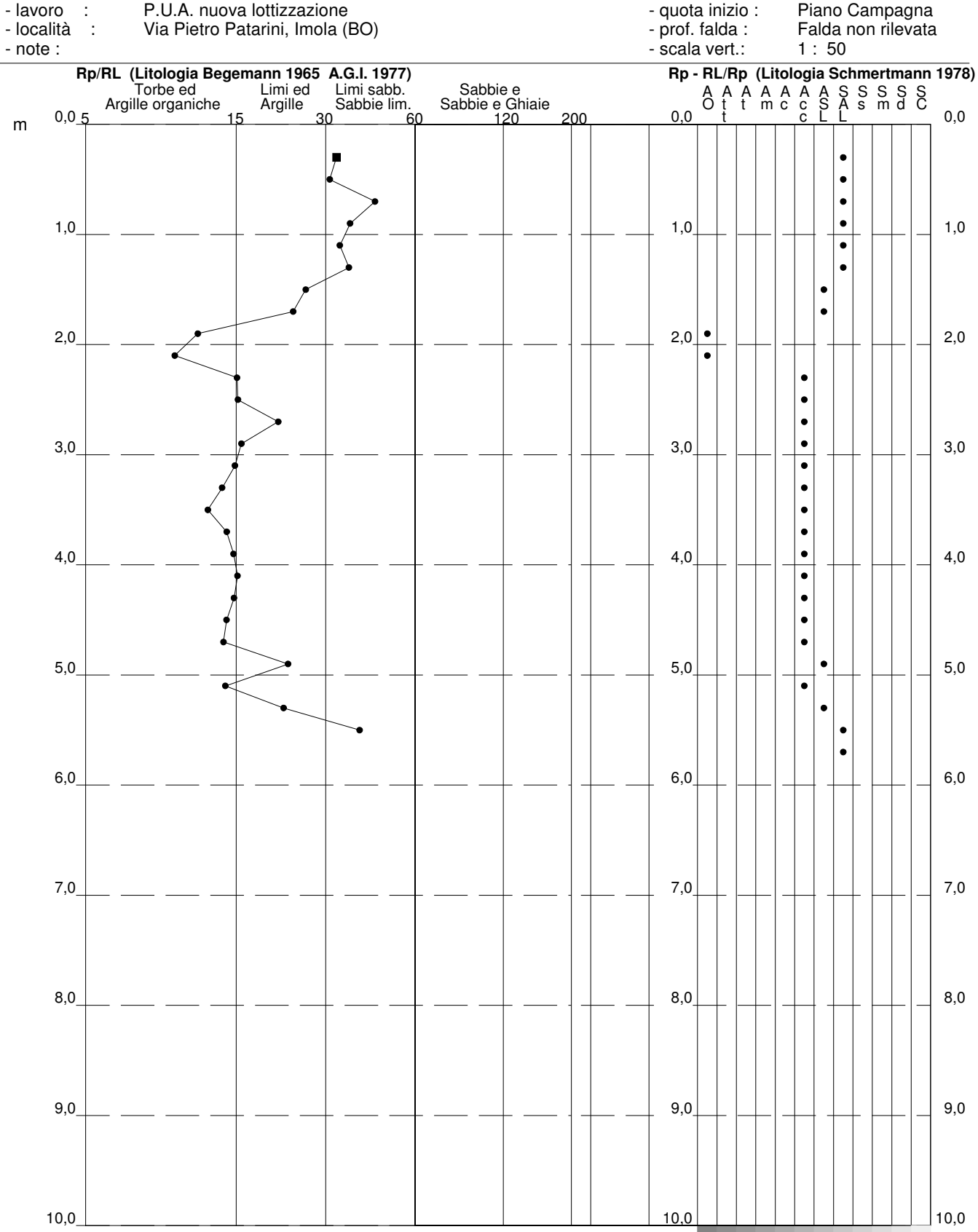
Rifer. 193-20

PROVA PENETROMETRICA STATICA VALUTAZIONI LITOLOGICHE

CPT 7

2.010496-071

- committente : Dott. Geol. Maurizio Castellari 24/11/2020 - data : P.U.A. nuova lottizzazione - quota inizio: Piano Campagna Via Pietro Patarini, Imola (BO) - prof. falda:



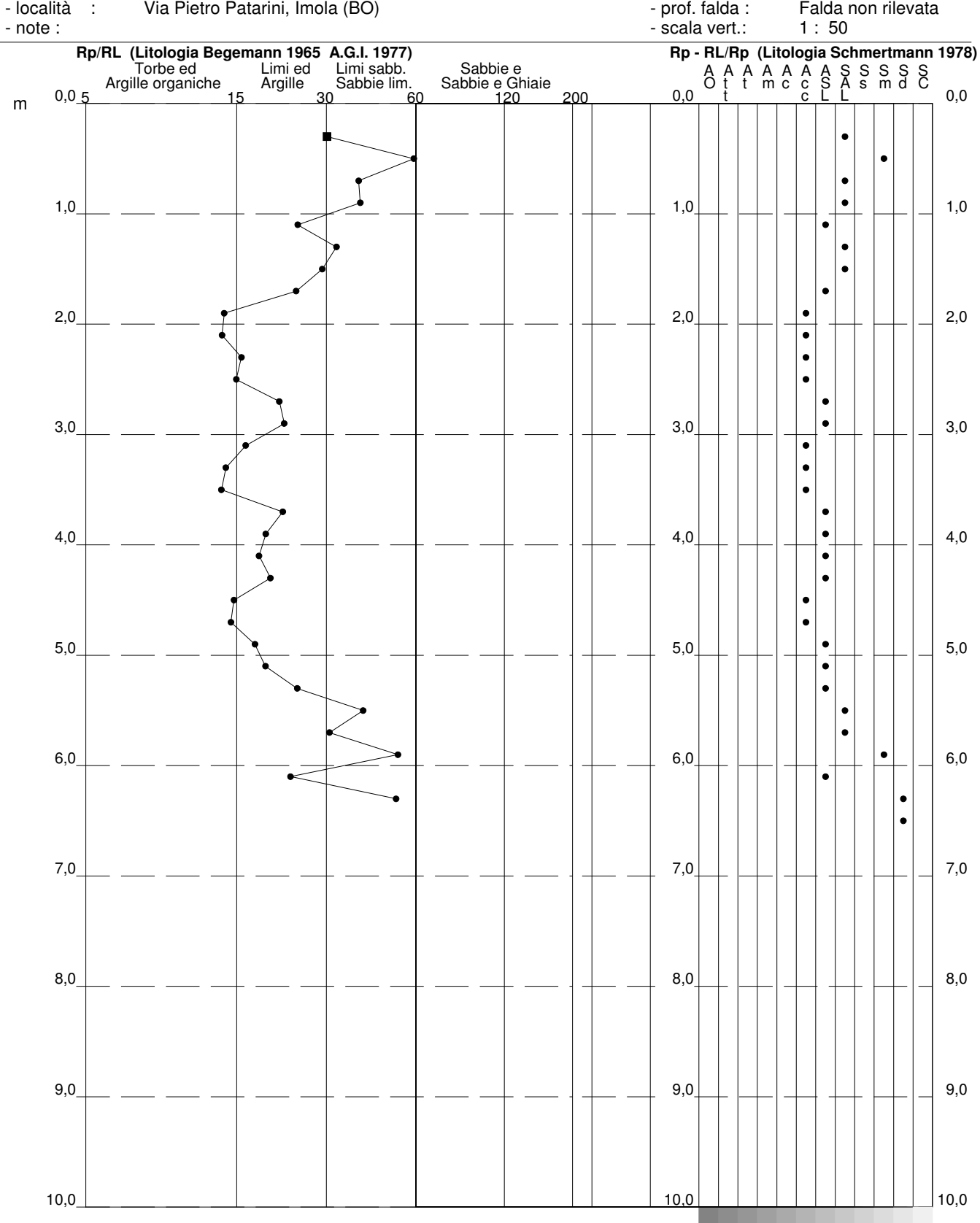
Rifer. 193-20

PROVA PENETROMETRICA STATICA VALUTAZIONI LITOLOGICHE

CPT 8

2.010496-071

- committente : Dott. Geol. Maurizio Castellari - data : 24/11/2020 - lavoro : P.U.A. nuova lottizzazione - quota inizio : Piano Campagna - località : Via Pietro Patarini, Imola (BO) - prof. falda : Palda non rilevata



Rifer. 193-20

PROVA PENETROMETRICA STATICA TABELLA PARAMETRI GEOTECNICI

CPT 1

2.010496-071

- committente : Dott. Geol. Maurizio Castellari - data : 24/11/2020 - lavoro : P.U.A. nuova lottizzazione - quota inizio : Piano Campagna - località : Via Pietro Patarini, Imola (BO) - prof. falda : Falda non rilevata

- note : - pagina : 1

						NA1	TURA	COES	AMI\$					NATU	JRA (GRAI	∖ IŲ↓	ARE			
Prof.	Rp	Rp/RI	Natura	Y'	p'vo	Cu	OCR	Eu50	Eu25	Мо	Dr	ø1s	ø2s	ø3s	ø4s	ødm	ømy	Amax/g	E'50		Мо
m	kg/cm ²	(-)	Litol.	t/m³	kg/cm ²	kg/cm ²	(-)	kg/c	:m²	kg/cm ²	%	(°)	(°)	(°)	(°)	(°)	(°)	(-)	kg/	cm² kg	/cm ²
0,20			???	1,85	0,04																
0,40	38	28	4/:/:	1,85	0,07	1,27	99,9	215	323	114	100	42	43	45	46	44	30	0,258	63	95	114
0,60	46	53	3::::	1,85	0,11						99	42	43	44	46	43	31	0,255	77		138
0,80	60	41	3::::	1,85	0,15						100	42	43	45	46	43	32	0,258	100		180
1,00	44	24	4/:/:	1,85	0,19	1,47	83,5	249	374	132	85	40	41	43	45	41	31	0,206	73		132
1,20	40	25	4/:/:	1,85	0,22	1,33	59,0	227	340	120	77	39	41	42	44	40	30	0,181	67		120
1,40 1,60	38 28	21 14	4/:/: 4/:/:	1,85 1.85	0,26 0,30	1,27 0,97	45,7 27,5	215 164	323 246	114 84	72 58	38 36	40 38	42 40	44 43	39 37	30 28	0,164 0,125	63 47	95 70	114 84
1,80	27	10	4/:/:	1.85	0,30	0,97	23,2	161	242	81	54	36	38	40	42	36	28	0,123	45	68	81
2,00	23	9	4/:/:	1.85	0,33	0,93	18,2	148	221	69	46	34	37	39	42	34	28	0,093	38	58	69
2,20	20	9	4/:/:	1,85	0,41	0,80	14,6	136	204	60	39	33	36	38	41	33	27	0,077	33	50	60 —
2,40	18	13	2////	1,85	0,44	0,75	12.1	128	191	56											
2,60	21	19	4/:/:	1,85	0,48	0,82	12,3	140	210	63	36	33	36	38	41	32	27	0,071	35	53	63
2,80	20	19	4/:/:	1,85	0,52	0,80	10,8	136	204	60	33	33	35	38	41	32	27	0,064	33	50	60
3,00	19	20	2////	1,85	0,55	0,78	9,5	133	200	58											
3,20	22	14	4/:/:	1,85	0,59	0,85	9,8	144	216	66	33	33	35	38	41	31	28	0,064	37	55	66
3,40	25	22	4/:/:	1,85	0,63	0,91	9,9	155	232	75	36	33	36	38	41	32	28	0,070	42	63	75
3,60 3,80	28 31	11 12	4/:/: 4/:/:	1,85 1.85	0,67 0,70	0,97 1,03	10,0 10,2	164 176	246 264	84 93	38 40	33 34	36 36	38 39	41 41	32 32	28 29	0,076 0,081	47 52	70 78	84 93
4,00	32	11	4/:/:	1,85	0,70	1,03	9,9	182	272	96	40	34	36	39	41	32	29	0,081	53	80	96
4,20	43	17	4/:/:	1,85	0,78	1,43	13,5	244	366	129	49	35	37	39	42	34	30	0,102	72		129 —
4,40	43	19	4/:/:	1,85	0,81	1,43	12.7	244	366	129	48	35	37	39	42	33	30	0,099	72		129
4,60	84	20	4/:/:	1,85	0,85	2,80	27,8	476	714	252	70	38	40	42	44	37	33	0,159	140		252
4,80	345	136	3::::	1,85	0,89						100	42	43	45	46	43	40	0,258	575	863 1	
5,00	370	168	3::::	1,85	0,93						100	42	43	45	46	43	40	0,258	617	925 1	
5,20	400		3::::	1,85	0,96						100	42	43	45	46	43	40	0,258	667	1000 1	200

Rifer. 193-20

PROVA PENETROMETRICA STATICA TABELLA PARAMETRI GEOTECNICI

CPT 2

2.010496-071

- committente : Dott. Geol. Maurizio Castellari - data : 24/11/2020

- lavoro : P.U.A. nuova lottizzazione - quota inizio : Piano Campagna - località : Via Pietro Patarini, Imola (BO) - prof. falda : Falda non rilevata

- note : - pagina :

						NAT	URA	COES	IMA					NATU	IRA	GRAI	ΝŲĻ	ARE		
Prof.		Rp/RI	Natura	Υ'	p'vo	Cu	OCR		Eu25	Мо	Dr	ø1s	ø2s	ø3s	ø4s	ødm	ømy	Amax/g	E'50	E'25 Mo
m	kg/cm ²	(-)	Litol.	t/m³	kg/cm ²	kg/cm ²	(-)	kg/cı	m²	kg/cm ²	%	(°)	(°)	(°)	(°)	(°)	(°)	(-)	kg/	cm² kg/cm²
0,20			???	1,85	0,04															
0,40	32	17	4/:/:	1,85	0,07	1,07	99,9	181	272	96	96	41	43	44	46	43	29	0,245	53	80 96
0,60	49	31	3::::	1,85	0,11						100	42	43	45	46	43	31	0,258	82	123 147
0,80	84 93	47 36	3:::: 3::::	1,85 1,85	0,15 0.19						100 100	42 42	43 43	45 45	46 46	44 44	33 33	0,258	140 155	210 252 233 279
1,00	93 82	30	4/:/:	1,85	0,19	2,73	99,9	465	697	246	100	42 42	43 43	45 45	46 46	44	33	0,258 0,258	137	205 246 —
1,40	67	27	4/:/:	1,85	0,26	2,73	92,8	380	570	201	91	41	42	44	45	41	32	0,237	112	168 201
1,60	68	26	4/:/:	1,85	0,30	2,27	80,0	385	578	204	88	40	42	43	45	41	32	0,218	113	170 204
1,80	62	24	4/:/:	1,85	0,33	2,07	61,5	351	527	186	82	40	41	43	45	40	32	0,198	103	155 186
2,00	57	17	4/:/:	1,85	0,37	1,90	48,5	323	485	171	77	39	40	42	44	39	31	0,180	95	143 171
2,20	55	22	4/:/:	1,85	0,41	1,83	41,2	312	467	165	73	38	40	42	44	38	31	0,169	92	138 165
2,40	52 52	19 22	4/:/: 4/:/:	1,85 1,85	0,44 0.48	1,73 1,73	34,5 31,2	295 295	442 442	156 156	69 67	38 37	40 39	42 41	44 43	38 37	31 31	0,157 0,151	87 87	130 156 130 156
2,60 2,80	5≥ 43	11	4/:/: 4/:/:	1,85	0,48	1,73	22,4	295 244	366	129	59	36	38	40	43	36	30	0,151	72	108 129
3,00	38	12	4/:/:	1,85	0,55	1,43	17,6	215	323	114	53	35	38	40	42	35	30	0,120	63	95 114
3,20	33	10	4/:/:	1,85	0,59	1,10	13,6	187	281	99	47	35	37	39	42	34	29	0.096	55	83 99 —
3,40	33	10	4/:/:	1,85	0,63	1,10	12,6	187	281	99	45	34	37	39	42	33	29	0,092	55	83 99
3,60	31	10	4/:/:	1,85	0,67	1,03	10,9	176	264	93	42	34	36	39	41	33	29	0,084	52	78 93
3,80	35	13	4/:/:	1,85	0,70	1,17	11,8	198	298	105	45	34	37	39	42	33	29	0,090	58	88 105
4,00	47	12	4/:/:	1,85	0,74	1,57	16,0	266	400	141	53	35 35	38	40	42 42	34 33	31	0,113	78	118 141
4,20 4,40	40 47	11 12	4/:/: 4/:/:	1,85 1,85	0,78 0,81	1,33 1,57	12,3 14,2	227 266	340 400	120 141	47 51	35 35	37 37	39 40	42	34	30 31	0,096 0.107	67 78	100 120 — 118 141
4,60	43	11	4/:/:	1,85	0,85	1,43	12,0	244	366	129	47	35	37	39	42	33	30	0,107	72	108 129
4,80	40	16	4/:/:	1.85	0,89	1,33	10,4	227	340	120	43	34	36	39	41	33	30	0,088	67	100 120
5,00	43	12	4/:/:	1,85	0,93	1,43	10,9	244	366	129	45	34	37	39	42	33	30	0,091	72	108 129
5,20	39	13	4/:/:	1,85	0,96	1,30	9,1	229	343	117	41	34	36	39	41	32	30	0,081	65	98 117
5,40	50	_ 7	4/:/:	1,85	1,00	1,67	11,9	283	425	150	.48	35	37	39	42	33	31	0,099	83	125 150
5,60	239	358	3::::	1,85	1,04						100	42	43	45	46	41	39	0,258	398	598 717
5,80	455		3::::	1,85	1,07						100	42	43	45	46	43	40	0,258	758	1138 1365

Via Pietro Patarini, Imola (BO)

Rifer. 193-20

PROVA PENETROMETRICA STATICA **TABELLA PARAMETRI GEOTECNICI**

CPT 3

Falda non rilevata

- prof. falda:

2.010496-071

Dott. Geol. Maurizio Castellari - committente : - data : 24/11/2020 - lavoro : - località : P.U.A. nuova lottizzazione - quota inizio: Piano Campagna

- note :

note :														- pag	gına	:		1		
						NA1	TURA	COES	IMA					NATU	IRA	GRAI	NUL.	ARE		
Prof. m	Rp kg/cm²	Rp/RI (-)	Natura Litol.	Y' t/m³	p'vo kg/cm²	Cu kg/cm²	OCR (-)	Eu50 kg/c	Eu25	Mo kg/cm ²	Dr %	ø1s (°)	ø2s (°)	ø3s (°)	ø4s (°)	ødm (°)	ømy (%)	Amax/g (-)	E'50	E'25 Mo cm ² kg/cm ²
	-				-	•	. ,	-		-			. ,	. ,			()	. ,	-	•
0,20 0,40	31	22	??? 4/:/:	1,85 1,85	0,04 0,07	1,03	99,9	176	264	93	95	41	43	44	46	43	29	0,241	52	78 93
0,40	43	28	4/./. 4/:/:	1,85	0,07	1,43	99,9	244	366	129	95 97	42	43	44	46	43	30	0,241	72	108 129
0,80	46	25	4/:/:	1,85	0.15	1,53	99,9	261	391	138	92	41	42	44	45	42	31	0,230	77	115 138
1,00	30	30	4/:/:	1,85	0,19	1,00	51,7	170	255	90	72	38	40	42	44	39	29	0,164	50	75 90
1,20	38	28	4/:/:	1,85	0,22	1,27	55,4	215	323	114	75	39	40	42	44	39	30	0,176	63	95 114
1,40	38	24	4/:/:	1,85	0,26	1,27	45,7	215	323	114	72	38	40	42	44	39	30	0,164	63	95 114
1,60 1,80	39 43	22 27	4/:/: 4/:/:	1,85 1,85	0,30 0,33	1,30 1,43	39,9 38,9	221 244	332 366	117 129	69 70	38 38	40 40	42 42	44 44	38 38	30 30	0,157 0,159	65 72	98 117 108 129
2,00	45 45	25	4/./. 4/:/:	1,85	0,33	1,50	36,1	255	383	135	69	38	40	41	44	38	31	0,156	75	113 135
2,20	45	22	4/:/:	1,85	0,41	1,50	32,1	255	383	135	66	37	39	41	43	38	31	0,149	75	113 135 —
2,40	32	18	4/:/:	1,85	0,44	1,07	18,8	181	272	96	53	35	38	40	42	35	29	0,111	53	80 96
2,60	37	19	4/:/:	1,85	0,48	1,23	20,4	210	315	111	56	36	38	40	42	36	30	0,119	62	93 111
2,80	21	11	4/:/:	1,85	0,52	0,82	11,2	140	210	63	34	33	35	38	41	32	27	0,067	35	53 63
3,00	25 30	16 18	4/:/: 4/:/:	1,85 1,85	0,55 0,59	0,91 1,00	11,6 12,1	155 170	232 255	75 90	39 43	33 34	36 36	38 39	41 41	33 33	28	0,077 0,088	42 50	63 75 <u> </u>
3,40	33	11	4/./. 4/:/:	1,85	0,59	1,10	12,1	187	281	99	45 45	34	37	39	42	33	29 29	0,088	55	83 99
3,60	37	13	4/:/:	1,85	0,67	1,23	13,6	210	315	111	48	35	37	39	42	34	30	0,098	62	93 111
3,80	40	13	4/:/:	1,85	0,70	1,33	14,0	227	340	120	49	35	37	39	42	34	30	0,102	67	100 120
4,00	44	13	4/:/:	1,85	0,74	1,47	14,8	249	374	132	51	35	37	40	42	34	31	0,107	73	110 132
4,20	39	13	4/:/:	1,85	0,78	1,30	11,9	221	332	117	46	34	37	39	42	33	30	0,094	65	98 117 —
4,40	38	12 20	4/:/: 4/:/:	1,85 1,85	0,81	1,27	10,9	215 232	323 349	114 123	44 45	34 34	37 37	39 39	42 42	33 33	30	0,089 0,092	63 68	95 114 103 123
4,60 4,80	41 50	19	4/:/:	1,85	0,85 0,89	1,37 1,67	11,4 13,8	283	349 425	150	45 51	35	37	40	42	34	30 31	0,092	83	125 150
5,00	69	8	4/:/:	1,85	0,93	2,30	19,6	391	586	207	61	37	39	41	43	35	32	0,134	115	173 207
5,20	150	173	3::::	1,85	0,96	_,					87	40	42	43	45	39	36	0,212	250	375 450
5.40	456		3::::	1.85	1.00						100	42	43	45	46	44	40	0.258	760	1140 1368

Rifer. 193-20

PROVA PENETROMETRICA STATICA TABELLA PARAMETRI GEOTECNICI

CPT 4

2.010496-071

- committente : Dott. Geol. Maurizio Castellari - data : 24/11/2020
- lavoro : P.U.A. nuova lottizzazione - quota inizio : Piano Campagna
- località : Via Pietro Patarini, Imola (BO) - prof. falda : Falda non rilevata

- note : - pagina :

						NAT	URA	ÇOES	IVA					NATL	JRA (GRAI	NUL.	ARE		
Prof.	Rp	Rp/RI	Natura	Y'	p'vo	Cu	OCR	Eu50	Eu25	Mo	Dr	ø1s	ø2s	ø3s	ø4s	ødm	ømy	Amax/g	E'50	E'25 Mo
m	kg/cm ²	(-)	Litol.	t/m³	kg/cm ²	kg/cm ²	(-)	kg/c	:m²	kg/cm²	%	(°)	(°)	(°)	(°)	(°)	(°)	(-)	kg/	cm² kg/cm²
0,20			???	1,85	0,04															
0,40	55	33	3::::	1,85	0,07						100	42	43	45	46	45	31	0,258	92	138 165
0,60	60	37	3::::	1,85	0,11						100	42	43	45	46	44	32	0,258	100	150 180
0,80	77	31	3::::	1,85	0,15	0.00		074		400	100	42	43	45	46	44	33	0,258	128	193 231
1,00 1,20	66 66	29 28	4/:/: 4/:/:	1,85 1.85	0,19 0,22	2,20 2,20	99,9 99,9	374 374	561 561	198 198	99 94	42 41	43 43	44 44	46 46	43 42	32 32	0,254 0,238	110 110	165 198 165 198
1,40	71	27	4/:/:	1,85	0,22	2,20	99,7	402	604	213	93	41	43	44	45	41	32	0,234	118	178 213
1,60	65	22	4/:/:	1,85	0,30	2,17	75,6	368	553	195	87	40	42	43	45	40	32	0,213	108	163 195
1,80	57	18	4/:/:	1,85	0,33	1,90	55,4	323	485	171	79	39	41	43	44	39	31	0,188	95	143 171
2,00	44	11	4/:/:	1,85	0,37	1,47	35,1	249	374	132	68	38	39	41	43	38	31	0,153	73	110 132
2,20	44	12	4/:/:	1,85	0,41	1,47	31,2	249	374	132	66	37	39	41	43	37	31	0,147	73	110 132
2,40	38	14	4/:/:	1,85	0,44	1,27	23,3	215	323	114	59	36	38	40	43	36	30	0,126	63	95 114
2,60	22	9	4/:/:	1,85	0,48	0,85	12,7	144	216	66	38	33	36	38	41	33	28	0,075	37	55 66
2,80 3,00	26 30	12 12	4/:/: 4/:/:	1,85 1.85	0,52	0,93	13,0 13.1	158 170	237 255	78 90	42 45	34 34	36 37	39 39	41 42	33 34	28 29	0,084	43 50	65 78 75 90
3,00	30	11	4/:/:	1.85	0,55 0,59	1,00 1,03	12,6	176	264	93	45 45	34	37	39	42 42	33	29	0,092 0,090	50 52	75 90 <u> </u>
3,40	35	- 11	4/:/:	1,85	0,63	1,17	13.6	198	298	105	47	35	37	39	42	34	29	0,097	58	88 105
3,60	36	10	4/:/:	1,85	0,67	1,20	13.1	204	306	108	47	35	37	39	42	34	30	0,096	60	90 108
3,80	44	12	4/:/:	1,85	0,70	1,47	15,7	249	374	132	52	35	38	40	42	34	31	0,110	73	110 132
4,00	51	11	4/:/:	1,85	0,74	1,70	17,8	289	434	153	56	36	38	40	42	35	31	0,120	85	128 153
4,20	50	12	4/:/:	1,85	0,78	1,67	16,3	283	425	150	54	36	38	40	42	35	31	0,115	83	125 150
4,40	56	12	4/:/:	1,85	0,81	1,87	17,7	317	476	168	57	36	38	40	43	35	31	0,122	93	140 168
4,60	50	10	4/:/:	1,85	0,85	1,67	14,5	283	425	150	52	35	38	40	42	34	31	0,109	83	125 150
4,80 5,00	43 41	12 15	4/:/: 4/:/:	1,85 1.85	0,89 0,93	1,43 1.37	11,4 10.2	244 232	366 349	129 123	46 43	34 34	37 36	39 39	42 41	33 32	30 30	0,094 0,087	72 68	108 129 103 123
5,00	41	19	4/:/:	1,85	0,93	1,60	11,9	232 272	408	144	43 48	35	36	39	41	33	31	0,087	80	120 144
5,40	32	48	3::::	1.85	1.00	1,00			400		33	33	35	38	41	31	29	0,064	53	80 96
5,60	390		3::::	1,85	1,04						100	42	43	45	46	43	40	0,258	650	975 1170

Rifer. 193-20

PROVA PENETROMETRICA STATICA TABELLA PARAMETRI GEOTECNICI

CPT 5

2.010496-071

- committente : Dott. Geol. Maurizio Castellari - data : 24/11/2020

- lavoro : P.U.A. nuova lottizzazione - quota inizio : Piano Campagna - località : Via Pietro Patarini, Imola (BO) - prof. falda : Falda non rilevata

- note: - pagina: 1

	\$IMA	<u> NATIURA GRANI</u>	/4ARE
Prof. Rp Rp/Rl Natura Y' p'vo Cu OCR Eu50 m kg/cm² (-) Litol. t/m³ kg/cm² kg/cm² (-) kg/	Eu25 Mo Dr cm² kg/cm² %		my Amax/g E'50 E'25 Mo °) (-) kg/cm² kg/cm²
m kg/cm² (-) Litol. t/m³ kg/cm² kg/cm² (-) kg/c 0,20 ??? 1,85 0,04 0,40 20 37 4/:/: 1,85 0,07 0,80 99,9 136 0,60 39 28 4/:/: 1,85 0,15 1,00 57 26 4/:/: 1,85 0,15 1,00 57 26 4/:/: 1,85 0,22 1,90 91,9 323 1,20 57 26 4/:/: 1,85 0,22 1,90 91,9 323 1,40 57 19 4/:/: 1,85 0,26 1,90 75,8 323 1,80 38 15 4/:/: 1,85 0,33 1,27 33,4 215 2,00 25 11 4/:/: 1,85 0,37 0,91 19,3 155 2,20 38 19 4/:/: 1,85 0,41 1,27 26,0 215 2,40 20 20 4/:/: 1,85 0,41 1,27 26,0 215 2,40 39 31 3:::: 1,85 0,44 0,80 13,1 136 2,80 39 31 3::: 1,85 0,44 0,80 13,1 136 2,80 39 31 3::: 1,85 0,48	kg/cm² kg/cm² %	39 41 43 44 41 34 41 42 44 45 42 33 42 43 45 46 43 33 36 38 41 32 23 34 36 39 41 32 33 34 36 39 41 32 33 34 36 39 41 32 33 34 36 39 41 32 3 34 34 36 39 41 32 33 34 34 36 39 41 32 33 34 34 36 39 41 32 33 34 34 36 39 41 32 32 34 34 36 39 41 32 32 34 34 36 39 41 32 32 34 34 36 39 41 32 32 34 34 36 39 41 32 32 34 34 36 39 41 32 32 34 34 36 39 41 32 34 34 34 34 34 34 34 34 34 34 34 34 34	77 0,191 33 50 60 100 0,234 65 98 117 120 0,258 100 150 180 131 0,226 95 143 171 131 0,226 95 143 171 141 0,228 95 143 171 151 0,001 0,162 68 103 123 152 0,146 63 95 114 153 0,146 63 95 114 154 0,072 33 50 60 155 0,072 33 50 60 157 0,072 33 50 60 157 0,072 33 50 60 157 0,072 33 50 60 158 0,070 47 77 84 159 0,055 48 93 117 159 0,084 63 95 114 150 0,084 63 95 114 150 0,084 63 95 114 150 0,084 63 95 114 150 0,084 63 95 114 150 0,084 63 95 114 150 0,085 67 100 120 150 0,084 63 95 114 150 0,085 67 100 120 150 0,085 67 100 120 150 0,085 67 100 120 150 0,085 67 100 120 150 0,087 73 187 159 0,055 48 73 87 159 0,055 48 73 87 159 0,055 48 73 87 159 0,055 48 73 87 159 0,055 48 73 87 159 0,055 48 73 87 159 0,055 48 73 87 159 0,055 48 73 87 159 0,055 48 73 87 159 0,056 57 89 168 0,047 47 70 84 179 0,068 65 98 117 189 0,068 65 98 117
7,20 196 35 3::: 1,85 1,33 7,40 276 47 3::: 1,85 1,37 7,60 366 3::: 1,85 1,41	88 99 100	40 42 43 45 39 3 42 43 45 46 40 4	8 0,217 327 490 588

Rifer. 193-20

PROVA PENETROMETRICA STATICA TABELLA PARAMETRI GEOTECNICI

CPT 6

2.010496-071

- committente : Dott. Geol. Maurizio Castellari - data : 24/11/2020 - lavoro : P.U.A. nuova lottizzazione - quota inizio : Piano Campagna - località : Via Pietro Patarini, Imola (BO) - prof. falda : pagina : 1

m kg/cm² (-) Litol. t/m³ kg/cm² kg/cm² kg/cm² kg/cm² kg/cm² kg/cm² kg/cm² kg/cm² (-) kg/cm² kg/cm² kg/cm² (-) kg/cm² kg/c						NAT	URA	OES	SIMA					UTAN	RA (GRAI	NUL.	ARE			
0,40 19 26 2//// 1,85 0,07 0,78 99,9 132 198 58					P															E'25 Mo cm² kg/cm²	
1,00 58 22 4/:/: 1,85 0,19 1,93 99,9 329 493 174 94 41 43 44 46 42 31 0,239 97 145	0,40 0,60	0 19 2 0 33 2	26 2/ 29 4/	//// 1,8 /:/: 1,8	35 0,07 35 0,11	0,78	99,9	132	198	58	88		42	43	45	42	29		55		
1,40 56 22 4/:/: 1,85 0,26 1,87 74,1 317 476 168 85 40 41 43 45 40 31 0,206 93 140	1,00 1,20	<u>0</u> 58 2 0 53 2	22 4/ 25 4/	/:/: 1,8 /:/: 1,8	0,19 5 0,22	1,77 1,87	83,9	300	451	174 159	94 87	41 40	43 42	44 43	46 45	42 41	31 31	0,239 0,213	97 88	145 174 <u> </u>	_
1,60 44 18 4/:/: 1,85 0,30 1,47 46,4 249 374 132 73 38 40 42 44 39 31 0,170 73 110 1,80 42 17 4/:/: 1,85 0,33 1,40 37,8 238 357 126 69 38 40 41 44 38 30 0,156 70 105	1,60 1,80 2,00	0 44 1 0 42 1 0 35	18 4/ 17 4/ 16 4/	/:/: 1,8 /:/: 1,8	35 0,33 35 0,37	1,47 1,40 1,17	46,4 37,8 26,4	238 198	357 298	126 105	69 60	38 36	40 38	41 41	44	38 37	30 29	0,170 0,156	70 58	105 126 88 105	_
2,40 27 21 4/:: 1,85 0,44 0,95 16,2 161 242 81 47 35 37 39 42 34 28 0,096 45 68 2,60 23 25 4/:: 1,85 0,52 0,93 13,0 158 237 78 42 34 36 38 41 33 28 0,078 38 58 3,00 18 22 2/:: 1,85 0,55 0,75 9,1 132 198 56	2,40 2,60 2,80	0 27 2 0 23 2 0 26 2	21 4/ 25 4/ 23 4/	/:/: 1,8 /:/: 1,8 /:/: 1,8	35 0,44 35 0,48 35 0,52	0,95 0,87 0,93	16,2 13,1 13,0	161 148 158	242 221 237	81 69 78	39 42	34 34	36 36	38 39	41 41	33 33	28 28	0,078 0,084	38 43	58 69 65 78	
3,20 18 19 2//// 1,85 0,59 0,75 8,4 141 211 56	3,20 3,40 3,60	0 18 0 0 22 0 0 23	19 2/ 19 4/ 17 4/	//// 1,8 /:/: 1,8 /:/: 1,8	35 0,59 35 0,63 35 0,67	0,75 0,85 0,87	8,4 9,1 8,7	141 149 158	211 224 237	56 66 69	31 31	32 32	35 35	38 38	41 41	31 31	28 28	0,060 0,061	37 38	55 66 58 69	-
4,40 52 13 4/./: 1,85 0,81 1,73 16,1 295 442 156 55 36 38 40 42 34 31 0,116 87 130	4,00 4,20 4,40	0 26 0 44 0 52	16 4/ 16 4/ 13 4/	/:/: 1,8 /:/: 1,8 /:/: 1,8	35 0,74 35 0,78 35 0,81	0,93 1,47 1,73	8,3 13,9 16,1	176 249 295	264 374 442	78 132 156	33 50 55	33 35 36	35 37 38	38 40 40	41 42 42	31 34 34	28 31 31	0,064 0,104 0,116	43 73 87	65 78 110 132 130 156	_
4,80 43 13 4/:1: 1,85 0,89 1,43 11,4 244 366 129 46 34 37 39 42 33 30 0,094 72 108 5,00 32 11 4/:1: 1,85 0,93 1,07 7,5 226 340 96 35 33 35 38 41 31 29 0,068 53 80	4,80 5,00	0 43 0 32	13 4/ 11 4/	/:/: 1,8 /:/: 1,8	0,89 5 0,93	1,43 1,07	11,4 7,5	244 226	366 340	129 96	46 35	34 33	37 35	39 38	42 41	33 31	30 29	0,094 0,068	72 53	108 129 80 96	_
5,40 26 10 4/:: 1,85 1,00 0,93 5,7 268 402 78 26 32 34 37 40 29 28 0,049 43 65 5,60 25 14 4/:: 1,85 1,04 0,91 5,3 283 424 75 23 31 34 37 40 29 28 0,045 42 63 5,80 24 12 4/:: 1,85 1,07 0,89 5,0 296 445 72 21 31 34 37 40 29 28 0,040 40 60 6,00 27 24 4/:: 1,85 1,11 0,95 5,2 305 457 81 24 31 34 37 40 29 28 0,047 45 68	5,60 5,80	0 25 ° 0 24 °	14 4/ 12 4/	/:/: 1,8 /:/: 1,8	35 1,04 35 1,07	0,91 0,89	5,3 5,0	283 296	424 445	75 72	23 21	31 31	34 34	37 37	40 40	29 29	28 28	0,045 0,040	42 40	63 75 60 72	
6.20 19 20 2//// 1,85 1,15 0,78 3,8 322 484 58	6,20 6,40 6,60	0 19 2 0 22 2 0 24 3	20 2/ 24 4/ 33 3:	//// 1,8 /:/: 1,8 :::: 1,8	35 1,15 35 1,18 35 1,22	0,78 0,85 	3,8 4,1 	322 331	484 496	58 66	16 18	30 31	33	36 36	39 39	28 28	28 28	0,030 0,034	37 40	55 66 60 72	_
	7,00 7,20 7,40	0 29 2 0 26 0 194 20	27 4/ 14 4/ 08 3:	/:/: 1,8 /:/: 1,8 :::: 1,8	1,30 5 1,33 5 1,37	0,98 0,93	4,4 4,0	361	542	87 78	23 19 87	31 31 40	34 33 42	37 36 43	40 39 45	29 28 39	29 28 38	0,044 0,036 0,213	48 43 323	73 87 <u> </u>	_

Rifer. 193-20

PROVA PENETROMETRICA STATICA TABELLA PARAMETRI GEOTECNICI

CPT 7

2.010496-071

committente : Dott. Geol. Maurizio Castellari
 lavoro : P.U.A. nuova lottizzazione
 località : Via Pietro Patarini, Imola (BO)
 data : 24/11/2020
 quota inizio : Piano Campagna
 prof. falda : Falda non rilevata

- note : - pagina :

ole.		- pagina .
	NATURA COESIMA	NATURA GRANULARE
Prof. Rp Rp/Rl Natura Y' p'\ m kg/cm² (-) Litol. t/m³ kg/c		Mo Dr ø1s ø2s ø3s ø4s ødm ømy Amax/g E'50 E'25 Mo kg/cm² % (°) (°) (°) (°) (°) (-) kg/cm² kg/cm²
0,20 ??? 1,85 0,0 0,40 47 34 3::: 1,85 0,0 0,60 68 32 3::: 1,85 0,0 0,80 66 45 3::: 1,85 0,1 1,20 62 34 3::: 1,85 0,1 1,40 64 37 3::: 1,85 0,2 1,40 64 37 3::: 1,85 0,2 1,40 64 37 3::: 1,85 0,2 1,40 64 37 3::: 1,85 0,2 1,80 58 24 4/: 1,85 0,3 1,80 58 24 4/: 1,85 0,3 1,80 58 24 4/: 1,85 0,2 2,00 32 12 4/: 1,85 0,2 2,00 32 12 4/: 1,85 0,2 2,00 32 12 4/: 1,85 0,2 2,00 16 4/: 1,85 0,4 2,60 18 16 2//// 1,85 0,4 2,60 18 16 2//// 1,85 0,4 1,85 0,4 2,60 18 16 2//// 1,85 0,4 1,85 0,4 2,60 18 16 2//// 1,85 0,4 1,85 0,4 2,60 18 16 2//// 1,85 0,4 1,85 0,4 2,60 18 16 2//// 1,85 0,4	04	Rycme % (7) (7) (7) (7) (7) (7) (7) (7) (8) Rycme Rycme Rycme
4,80 37 14 4/:/: 1,85 0,8 5,00 31 23 4/:/: 1,85 0,8 5,20 26 14 4/:/: 1,85 0,9 5,40 36 22 4/:/: 1,85 1,0	89 1,23 9,5 213 319 93 1,03 7,2 230 344 96 0,93 6,0 255 382 00 1,20 7,9 241 361	111 41 34 36 39 41 32 30 0,081 62 93 111 93 34 33 35 38 41 31 29 0,066 52 78 93 78 27 32 34 37 40 30 28 0,051 43 65 78 108 37 33 36 38 41 31 30 0,073 60 90 108
5,60 48 40 3:::: 1,85 1,0 5,80 468 3:::: 1,85 1,0		46 34 37 39 42 33 31 0,094 80 120 144 100 42 43 45 46 43 40 0,258 780 1170 1404

Rifer. 193-20

PROVA PENETROMETRICA STATICA TABELLA PARAMETRI GEOTECNICI

CPT 8

2.010496-071

- committente : Dott. Geol. Maurizio Castellari - data : 24/11/2020 - lavoro : P.U.A. nuova lottizzazione - quota inizio : Piano Campagna - località : Via Pietro Patarini, Imola (BO) - prof. falda : Falda non rilevata

- note : - pagina : 1

						NA1		COES						NATI	JRA	GRAI	NUL	ARE			
Prof. m	Rp kg/cm²	Rp/RI (-)	Natura Litol.	Y' t/m³	p'vo kg/cm²	Cu kg/cm²	OCR (-)	Eu50 kg/c	Eu25 m²	Mo kg/cm²	Dr %	ø1s (°)	ø2s (°)	ø3s (°)	ø4s (°)	ødm (°)	ømy (°)	Amax/g (-)	E'50 kg/	E'25 cm² kg	Mo /cm²
0,20 0,40 0,60 0,80 1,00 1,20 1,40 2,20 2,40 2,20 3,40 3,20 3,20 3,40 4,20 4,40 4,60 4,80 5,00 5,20 5,20 5,20 5,20 5,20 6,20 6,20 6,20 6,20 6,20 6,20 6,20 6	29 68 79 88 83 69 66 64 39 29 25 26 27 28 27 40 43 52 52 44 44 42 48 52 43 60 38 83 60 60 61 61 61 61 61 61 61 61 61 61 61 61 61	31 40 40 40 25 33 30 25 14 16 16 22 22 22 21 7 7 14 14 22 20 15 15 15 18 19 19 19 19 19 19 19 19 19 19 19 19 19	???? 3:::: 3:::: 3:::: 4/:: 4/:: 4/:: 4/:: 4	1,85 1,85 1,85 1,85 1,85 1,85 1,85 1,85	0,04 0,01 0,15 0,12 0,26 0,26 0,33 0,33 0,41 0,44 0,52 0,59 0,67 0,70 0,74 0,85 0,89 0,93 0,93 0,96 1,00 1,11 1,15 1,15 1,15	2,77 2,20 2,13 1,30 0,91 0,93 0,95 0,97 0,95 1,33 1,73 1,43 1,73 1,47 1,47 1,40 1,73 1,43	99,9 77,0 64,0 30,2 18,9 15,8 13,9 13,9 12,2 11,6 10,2 9,8 14,3 17,1 16,9 14,3 17,1 11,5 12,4 11,1 12,5 13,1 9,9 	470 	706	249 	93 100 100 100 100 987 83 64 42 41 41 41 37 49 50 56 56 48 45 49 49 49 40 40 40 40 40 40 40 40 40 40 40 40 40	412 42 42 42 41 40 40 40 37 33 33 33 33 33 33 33 33 33 33 33 33	42 43 43 43 443 442 41 397 37 37 36 36 36 36 36 37 37 37 37 37 37 37 37 37 37 37 37 37	445 455 455 445 444 433 4339 339 339 339 339 40 40 40 339 340 340 340 340 340 340 340 340 340 340	45 46 46 46 45 45 45 42 42 42 42 42 42 42 42 42 42 44 43 44 44 44 44 44 44 44 44 44 44 44	43 44 44 44 41 40 37 35 33 33 33 32 34 35 35 35 35 35 35 35 35 35 35 35 35 36 37 37 37 37 37 37 37 37 37 37 37 37 37	299 288 288 288 288 288 280 301 311 311 3130 321 331 331 331 331 331 331 331 331 331	0.233 0.258 0.258 0.258 0.258 0.258 0.231 0.214 0.201 0.108 0.085 0.084 0.083 0.073 0.105 0.119 0.119 0.119 0.119 0.119 0.119 0.119 0.098 0.093 0.105 0.085	48 113 132 138 115 110 107 65 48 43 42 43 45 47 43 45 67 72 87 90 80 87 72 100 63 80 87 92 100 80 80 80 80 80 80 80 80 80 80 80 80 8	198 2208 173 165 160 98 73 65 68 70 65 68 100 135 110 135 120 130 150 95 195	78 204 237 204 237 204 249 207 207 207 207 207 207 207 207 207 207





Sondaggi a carotaggio continuo

	SOGEO		COMMITTENTE	E: CASTELLARI AMBIENTE Studio	Assoc	iato	SOND.N°: S.1	PROF.(m): 20.00
	INDAGINI GEOGNOSTICHE ED AMBIENTALI		CANTIERE: Imc	ola (BO) - Via Lughese			QUOTA (m): p.d.c.	
	Via S. Potito n. 43 - 48022 S. Potito di LUGO (RA) Tel. 054522042 - Fax 054534443 - E-mail: sogeo@	sogeo-srl.com	PERFORATRIC	CE: CMV MK900 D1			LATITUDINE (°):	
	Concessione Ministero Infrastrutture e Trasporti - S Decr. n. 005754 del 05/07/2010	Settore C	METODO PERF	FORAZ.: Carotaggio continuo			LONGITUDINE (°):	
RIVESTI	MENTO: Ø 127 mm		ATTREZZO PE	RFORAZ.: Carotiere semplice Ø 10)1 mm		DATA INIZ-FINE: 21/	/01/2021-21/01/2021
PIEZOMI	ETRO: Installato piezometro Norto	n Ø 2" a -20.0	00 m dal p.d.c. (fe	essurato da -8.0 a -20.0 m)			SCALA: 1:100	
RIF.PRE	V.N°: 227-20 CERTIFICAT	ΓΟ N°: C21-0	04-1	RAPPORTO N°:	I	DATA DI EMISSIONE: 25/01/2021	PAGINA N°: 1 di 1	

Scala 1:100	P.P. I [daN/cm²]	Vane Test [daN/cm²]	Profondita'	Stratigrafia	Descrizione	Campioni	Campioni Rim.	S.P.T. [n. colpi] P.A.	Falda	Pz.Norton
1 2	- 3.3 - 5.5 - 5.6 - > 6	-	2.40		Limo e limo sabbioso di colore marrone-nocciola, con calcinelli					
3 4	- 5.1 - > 6 - > 6 - > 6	-	- 2.40 - 4.00		Argilla limosa di colore marrone, poi marrone-nocciola, con calcinelli					
5	- 4.2	-	4.50		Limo argilloso, passante gradualmente a limo, poi a limo sabbioso. Colore marrone-grigiastro e nocciola. Presenti abbondanti calcinelli Sabbia fine, a tratti limosa, di colore marrone-nocciola e marrone-giallastro					
6 7 8 9					Ghiaia media-fine, talora grossolana, arrotondata e subarrotondata, in matrice limo sabbiosa di colore grigio-marrone. Da -7.50 a -7.70 m limo e limo sabbioso, con ghiaia					
11	- 1.3 - 1.7 - 0.8	0.70 0.80 0.40	10.30		Limo e limo argilloso di colore marrone-giallastro e grigiastro, con veli limo sabbiosi. Presenti abbondanti calcinelli. Da -11.20 m passa a limo e limo sabbioso di colore marrone-grigio-giallastro e rossastro	_				
12	1.0	0.40	11.60		Ghiaia media-fine, arrotondata e subarrotondata, con sabbia e limo, di colore marrone			= 12.00 = 26/30/31 = 12.45 =	=	
13			12.60 13.00	0.0	Limo di colore giallastro, con qualche granulo di ghiaia			= 12.45 =		
15					Ghiaia, da media-fine a grossolana, in matrice limo sabbiosa di colore marrone. Presenti livelli centimetrici di limo				15.10	-
17 18 19	3.3 3.1 1.9 0.9 1.7 2.4	1.50 1.30 1.00 0.40 0.80 1.00	16.40		Limo con argilla di colore marrone-giallastro con venature brune, con abbondanti calcinelli. Da -17.50 a -18.10 m passa a limo e limo sabbioso. Da -18.60 m limo, a tratti sabbioso, con livelli centimetrici di calcinelli cementati					
20	- 1.2	0.60	19.30		Sabbia fine limosa					
			- 20.00	自然素質		_				20.00
21										
22										
23										
24										
25										

Lo Sperimentatore

Note: Livello acqua rilevato a fine sondaggio.

Il Direttore del Laboratorio

	OGEO [®] .	COMMITTENTI	E: CASTELLARI AMBIENTE Studio	Associato	SOND.N°: S.2	PROF.(m): 20.00
1 10/3/129	GINI GEOGNOSTICHE ED AMBIENTALI	CANTIERE: Im	ola (BO) - Via Lughese		QUOTA (m): p.d.c.	
Via S.	Gini Geognosiiche et Alvierinali . Potito n. 43 - 48022 S. Potito di LUGO (RA) 154522042 - Fox 054534443 - E-maili: sogeo@sogeo-srl.com	PERFORATRIC	CE: CMV MK900 D1		LATITUDINE (°):	
Cond	cessione Ministero Infrastrutture e Trasporti - Settore C . n. 005754 del 05/07/2010	METODO PER	FORAZ.: Carotaggio continuo		LONGITUDINE (°):	
RIVESTIMEN	TO: Ø 127 mm	ATTREZZO PE	RFORAZ.: Carotiere semplice Ø 10	1 mm	DATA INIZ-FINE: 22/0	1/2021-22/01/2021
PIEZOMETRO	D: Installato piezometro Norton Ø 2" a -20	0.00 m dal p.d.c. (f	essurato da -8.0 a -20.0 m)		SCALA: 1:100	
BIF PREV No.	227-20 CERTIFICATO Nº: C21	.004-2	BAPPORTO Nº	DATA DI EMISSIONE: 25/01/2021	PAGINA Nº 1 di 1	

Scala 1:100	P.P. I [daN/cm²]	Vane Test [daN/cm²]	Profondita'	Stratigrafia	Descrizione	Campioni	Campioni Rim.	S.P.T. [n. colpi] P.A.	Falda	Pz.Norton
1 2	- 0.8 - > 6 - > 6 - 4.7 - 2.2	-	- 2.60		Limo e limo sabbioso di colore marrone. Presenza di calcinelli					
4	5.3 4.9 5.8 > 6	-	4.80		Argilla limosa di colore marrone-nocciola. Da -4.0 m presenti abbondanti calcinelli					
6	3.5 4.4 4.1 1.7	0.80	- 6.70		Sabbia fine limosa di colore marrone-giallastro. Da -6.0 a -6.3 m limo argilloso di colore marrone, con calcinelli	-				
8 9					Ghiaia media-fine, a tratti grossolana, arrotondata e subarrtondata, in matrice limo sabbiosa di colore marrone			7.50 — 22/26/24 — 7.95 —		
11	- 3.9 - 1.6 - 1.1 - 4.1	- 1.60 - 0.80 - 0.50 - 1.80	10.00		Limo argilloso di colore marrone-giallastro, con venature brune e con calcinelli. Da -11.0 m livelletti di limo e limo sabbioso					
13	4.6	- 1.00	12.60		Argilla limosa di colore marrone-bruno, con venature grigie e rossastre e con abbondanti calcinelli					
14 15 16		- 1.00	13.30		Limo passante a limo sabbioso di colore marrone-giallastro Ghiaia media-fine, arrotondata e subarrotondata, con sabbia e limo, di colore marrone. Da -15.0 m circa passa a ghiaia, da media-fine a grossolana, arrotondata e subarrotondata, in matrice limo sabbiosa di colore marrone				14.80	-
18	1.5 1.5 1.8 1.7 2.2	- 0.70 - 0.80 - 0.90 - 0.80 - 1.10	- - -		Limo con argilla di colore marrone-giallastro e grigio, variegato, con venature bruno-nerastre. Presenti veli limo sabbiosi e rari calcinelli. Da -19.3 m passa ad argilla limosa di colore grigio-ocra, variegato, con veli limo sabbiosi e con calcinelli diffusi					
22 23	- 2.5	+ 1.30	-20.00							20.00
24										

Note: Livello acqua rilevato a fine sondaggio.

Lo Sperimentatore

Il Direttore del Laboratorio

COMMITTENTE: CASTELLARI AMBIENTE Studio Ass. LOCALITA: Imola (BO) - Via Lughese

ALLEGATO A: C21-004-1

SONDAGGIO N: S.1

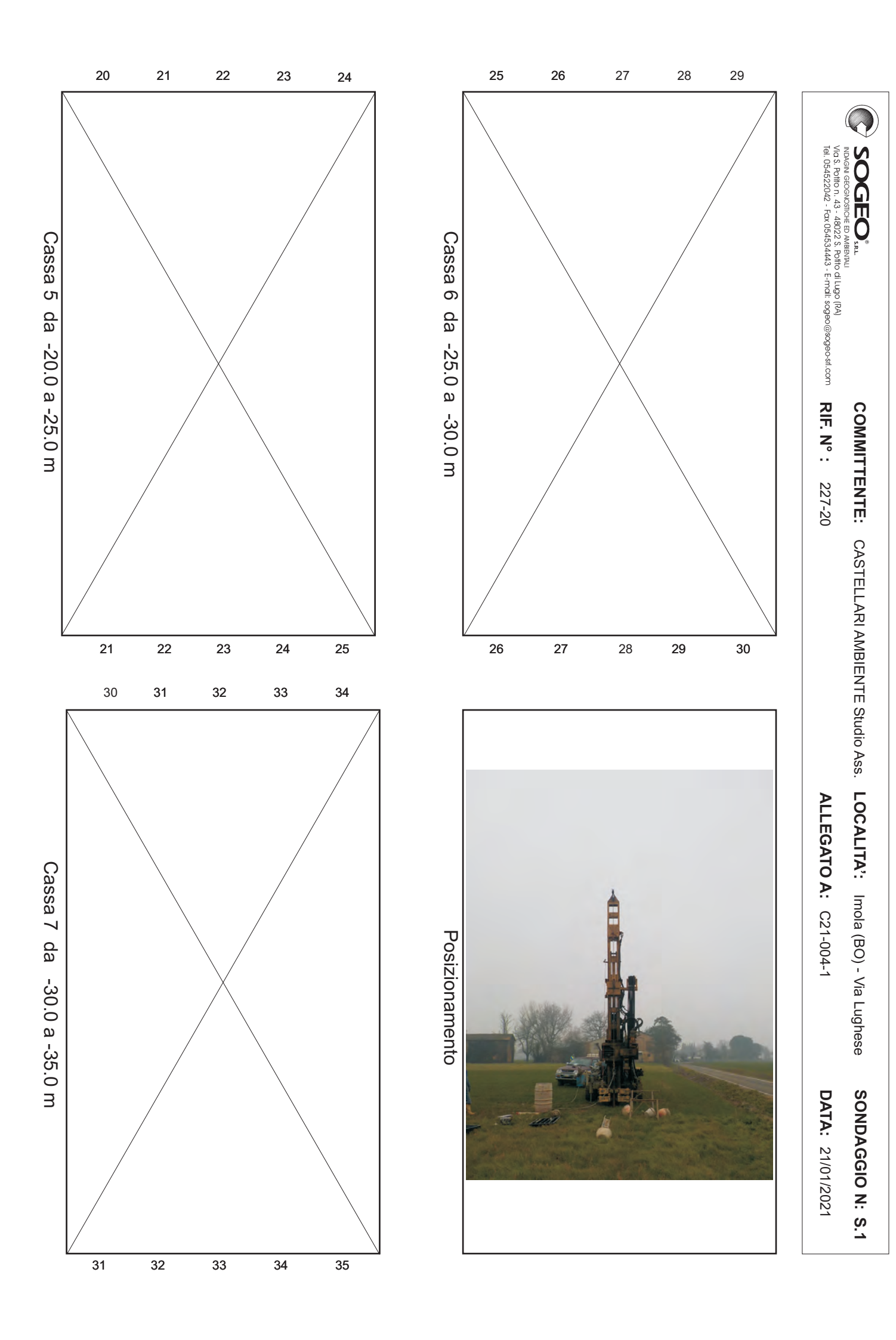
DATA: 21/01/2021





Cassa 3 da -10.0 a -15.0 m

Cassa 1 da 0.0 a -5.0 m



COMMITTENTE: CASTELLARI AMBIENTE Studio Ass. LOCALITA: Imola (BO) - Via Lughese

ALLEGATO A: C21-004-2

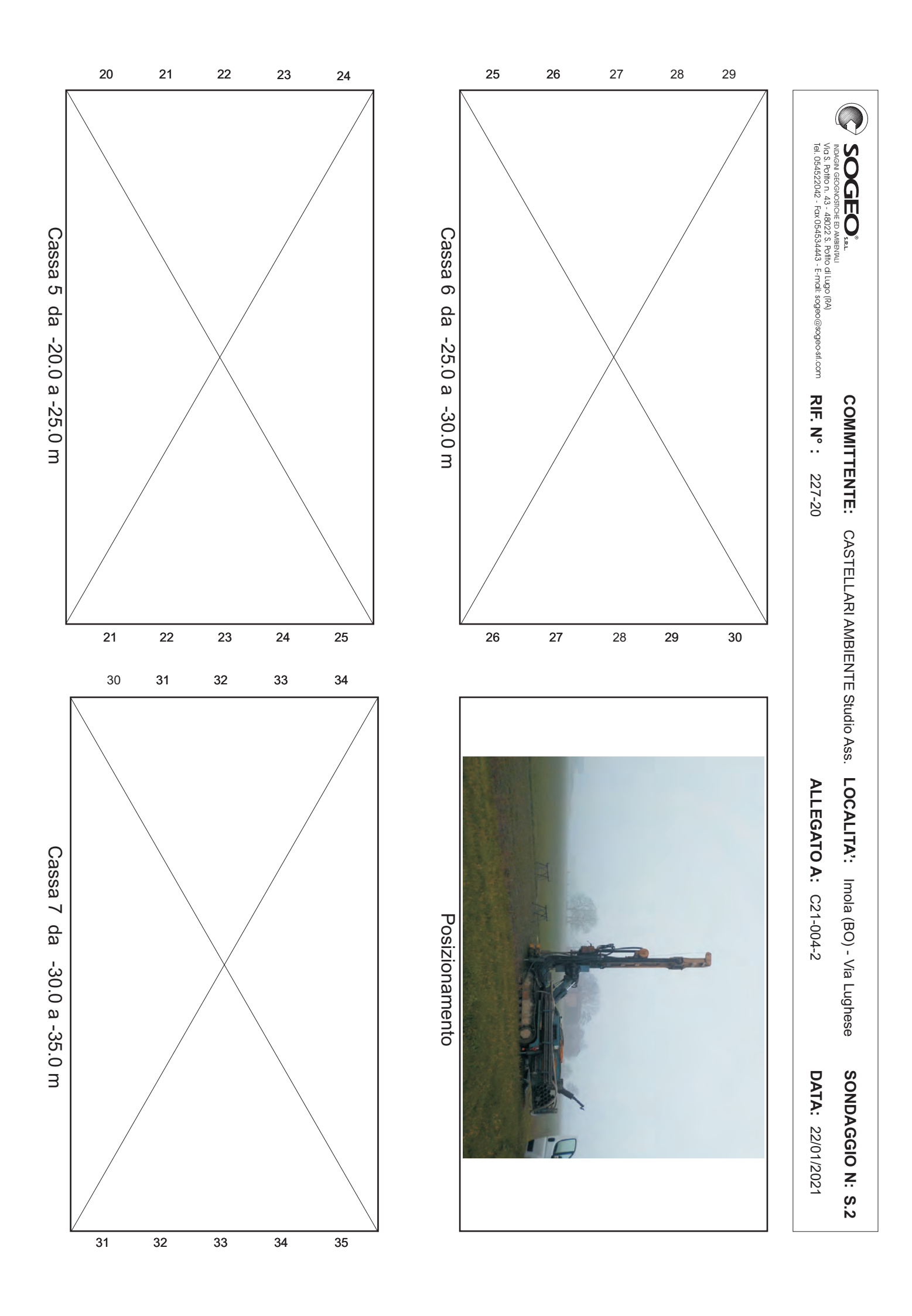
SONDAGGIO N: S.2

DATA: 22/01/2021

Cassa 2 da -5.0 a -10.0 m Cassa 4 da -15.0 a -20.0 m



Cassa 3 da -10.0 a -15.0 m









INDAGINE SISMICA mediante la tecnica del rapporto spettrale H/V a stazione singola eseguita con tromografo digitale TROMINO-Micromed ed elaborazione dei dati mediante software GRILLA-Micromed

CANTIERE: via Patarini – Imola (BO)

LAVORO: P.U.A. nuova lottizzazione

COMMITTENTE: dr.geol. Maurizio Castellari

Faenza, Novembre 2020

Dr. Geol. Bruno Gardegni



INDICE

Ubicazione indagine	3
Indagine geofisica e interpretazione	4
Parametri sismici e spettri di risposta	11
Spettri di risposta	14
Coefficienti di amplificazione sismica	19
Conclusioni	22

Dr. Geol. Bruno Gardegni



UBICAZIONE INDAGINE

Scopo della presente relazione è la caratterizzazione sismica di un area ubicata nel Comune di Imola in via Patarini dove è prevista la realizzazione di una nuova lottizzazione, pertanto è stata redatta una relazione geologica a cui verrà allegata la presente relazione sismica, inoltre sono state eseguite 8 prove penetrometriche statiche spinte fino alla profondità di circa 5-8 m, tali prove sono servite come supporto per l'interpretazione geofisica.

L'indagine è stata eseguita utilizzando un tromografo digitale Tromino-Micromed, lo strumento è stato posizionato tra le prove penetrometriche eseguite.

L'area è inquadrata nella carta topografica 1:25.000 della Regione Emilia-Romagna all'interno del quadrante 239 NO Imola, nel C.T.R. 1:10.000 nella sezione 239010 Imola e nel C.T.R. 1:5.000 risulta inquadrato nell'elemento 239012 Imola Est.

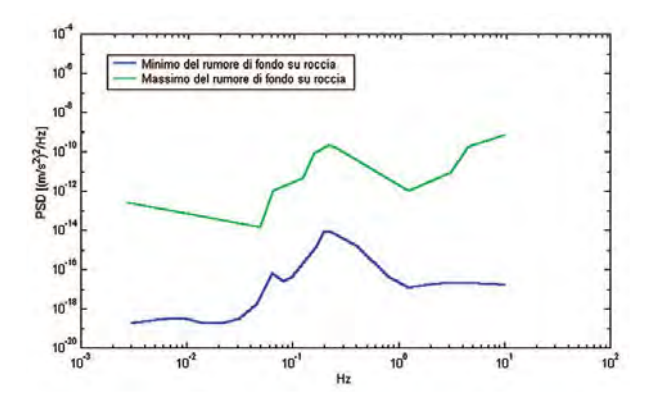


• Ubicazione tromino - • Prove CPT

INDAGINE GEOFISICA e INTERPRETAZIONE

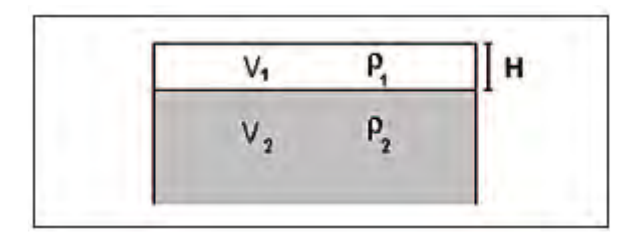
Il rumore sismico ambientale o microtremore è generato da fenomeni atmosferici e attività antropica e riguarda oscillazioni molto piccole (10-15 m/s²)² in termini di accelerazione.

Nelle zone dove non è presente una sorgente di rumore locale o il terreno è roccioso o pianeggiante lo spettro in frequenza del rumore di fondo è rappresentato nel grafico sotto ed è costituito da un minimo, la curva blu, e da un massimo, la curva verde (secondo USGS).



Ai fini della caratterizzazione sismica del sottosuolo, l'indagine geofisica con apparecchio tromografico digitale **TROMINO**, avvalendosi del metodo di Nakamura sul rapporto spettrale H/V fornisce una valutazione diretta della Vs₃₀ in base all'individuazione delle discontinuità sismiche e della profondità della formazione rocciosa.

Le basi teoriche dell'H/V sono schematizzabili nel modello a seguire attraverso due strati, uno stratotipo e lo strato bedrock o assimilabile al bedrock, gli strati 1 e 2 si distinguono per le diverse densità (ρ 1 e ρ 2) e velocità delle onde (V1 e V2).



La frequenza fondamentale di risonanza (fr) dello strato 1 relativa alle onde S è pari a:

$$fr = Vs1 / 4H$$

dove f è la frequenza e H lo spessore dello strato sismico.

Inoltre, questa tecnica dei rapporti spettrali o HVSR (Horizontal to Vertical Spectral Ratio) con apparecchio tromografico **TROMINO** permette anche di misurare la frequenza caratteristica di risonanza del sito, parametro che è utilizzabile in termini di risposta sismica locale (RSL) per progettare edifici non con la stessa frequenza di risonanza del terreno, in modo da evitare l'effetto di doppia risonanza pericoloso per la stabilità degli edifici.

La Vs₃₀ viene calcolata o meglio stimata mediante un codice di calcolo apposito attraverso il software **GRILLA**, è necessario conoscere la profondità di un riflettore stratigrafico (prova penetrometrica o sondaggio) e riconoscibile dalla curva H/V.

La tecnica HVSR si basa in parte sulla sismica tradizionale dei microtremori, cioè di oscillazioni molto piccole rispetto al sisma, il metodo di acquisizione dei dati è quindi detto passivo in quanto il rumore non è generato come nelle esplosioni della sismica attiva.

I dati sono stati acquisiti con un frequenza base di 128 Hz e convertiti in file ASCII mediante il software Grilla, il rumore sismico viene registrato nelle sue tre componenti per un intervallo di tempo di 20 o 30 minuti, suddiviso in intervalli della durata di 8 sec.

Successivamente si è operato alla costruzione di un modello teorico HVSR e, tramite un algoritmo, all'adattamento della curva sperimentale e quella teorica.

Le acquisizioni rispettano le indicazioni del processo SESAME 2006.

Lo strumento viene orientato a N oltre al posizionamento orizzontale ottenuto tramite la messa in bolla dello stesso, inoltre la base di appoggio dello strumento, ossia il terreno, deve essere anch'essa pianeggiante e occorre quindi rimuovere lo strato appena superficiale erboso.

Dalla registrazione del rumore sismico si ricavano:

- 1 Le curve HVSR ottenute con il software Grilla secondo la procedura base (Castellaro et al. 2005) con i parametri:
- a larghezza delle finestre d'analisi 20 s
- b lisciamento triangolare con ampiezza 10%
- c rimozione automatica delle finestre di disturbo principale
- d rimozione manuale delle finestre di disturbo ancora presenti
- 2 le curve dello spettro di velocità nelle 3 componenti del moto.

Di seguito si riportano i dati relativi all'acquisizione sismica:

e-mail: brunogard@libero.it - cell.: 3294053135

Traccia 1

Inizio registrazione: 24/11/20 10:16:46 Fine registrazione: 24/11/20 10:36:46

Nomi canali: NORTH SOUTH; EAST WEST; UP DOWN

Dato GPS non disponibile

Durata registrazione: 0h20'00". Analizzato 98% tracciato (selezione manuale)

Freq. campionamento: 128 Hz

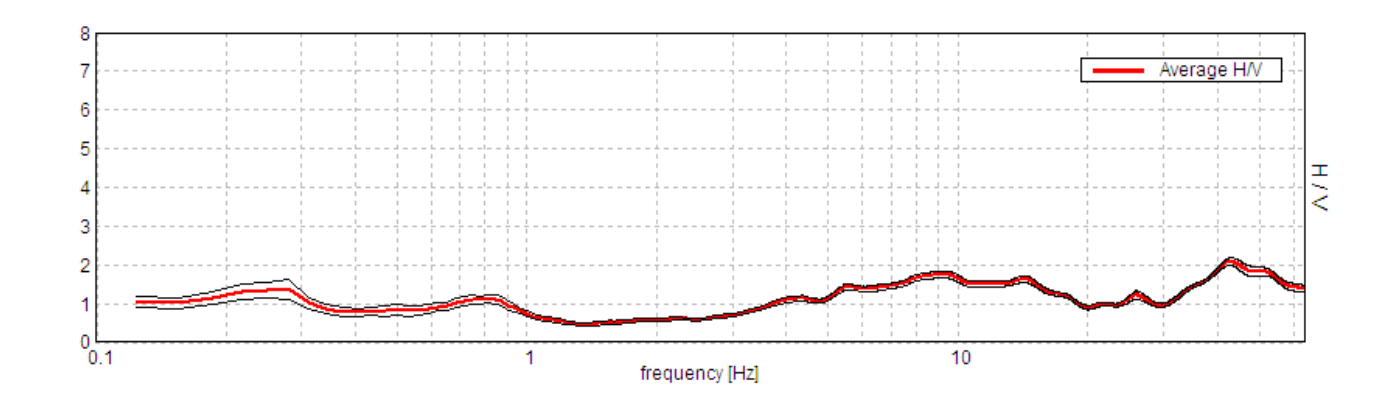
Lunghezza finestre: 20 s

Tipo di lisciamento: Triangular window

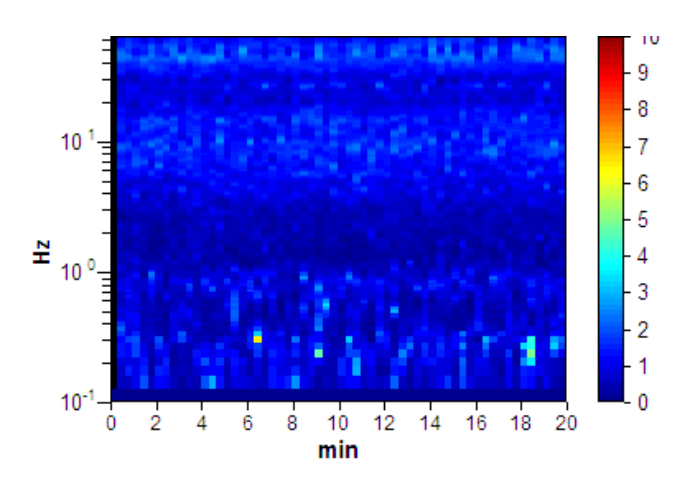
Lisciamento: 10%

Nel grafico che segue è rappresentata la curva sperimentale H/V frutto dell'elaborazione mediante algoritmo dei microtremori registrato dall'apparecchiatura, in ascissa la frequenza di risonanza del terreno, in ordinata il rapporto H/V:

HORIZONTAL TO VERTICAL SPECTRAL RATIO

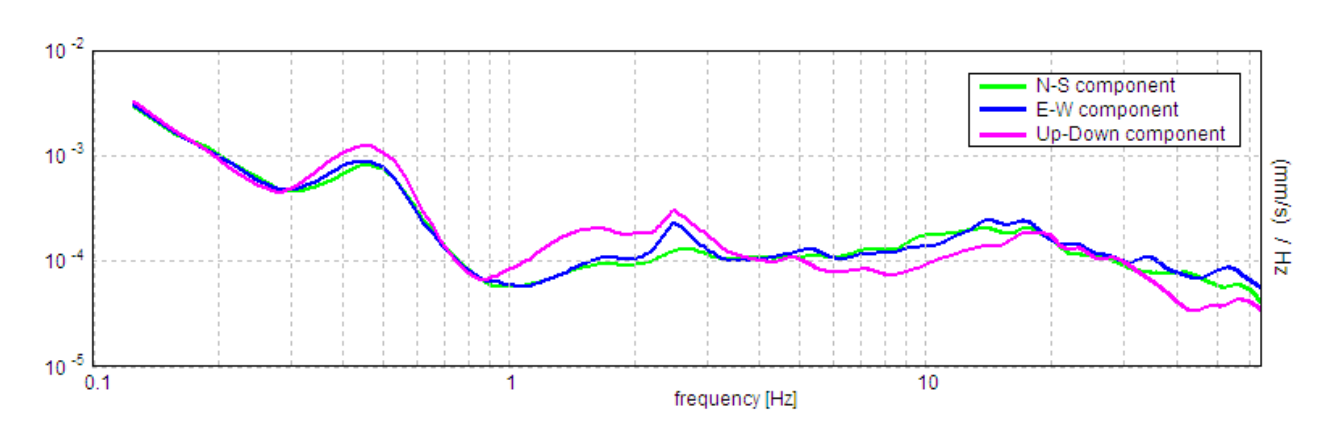


H/V TIME HISTORY

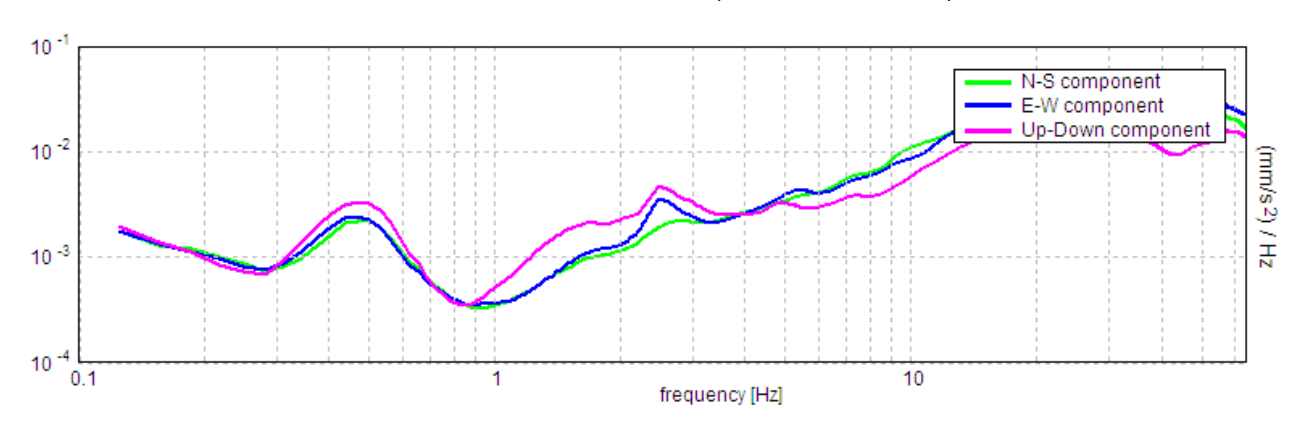


Nei grafici successivi l'andamento della traccia nelle 3 componenti N-S, E-W e verticale:

SINGLE COMPONENT SPECTRA (VELOCITA')

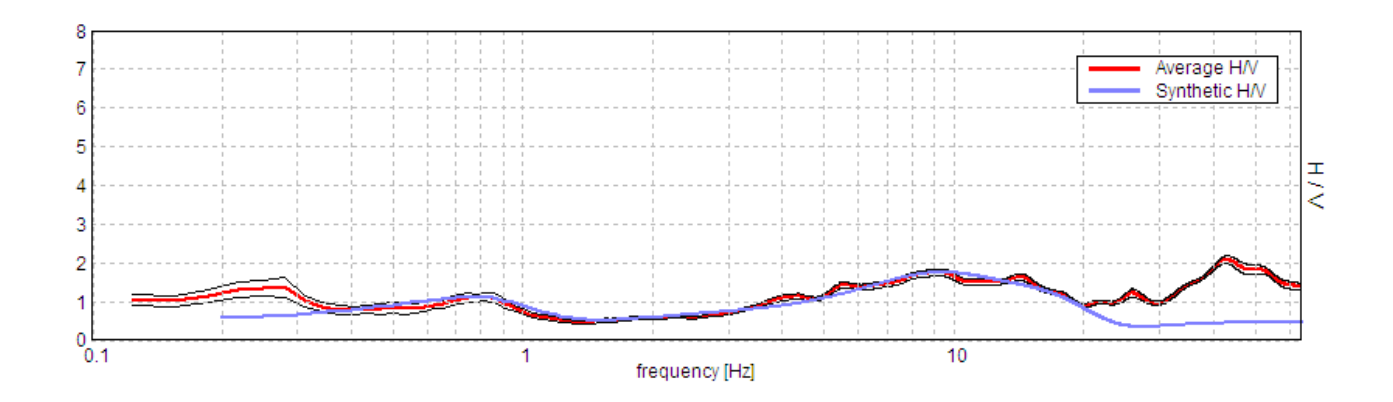


SINGLE COMPONENT SPECTRA (ACCELERAZIONE)



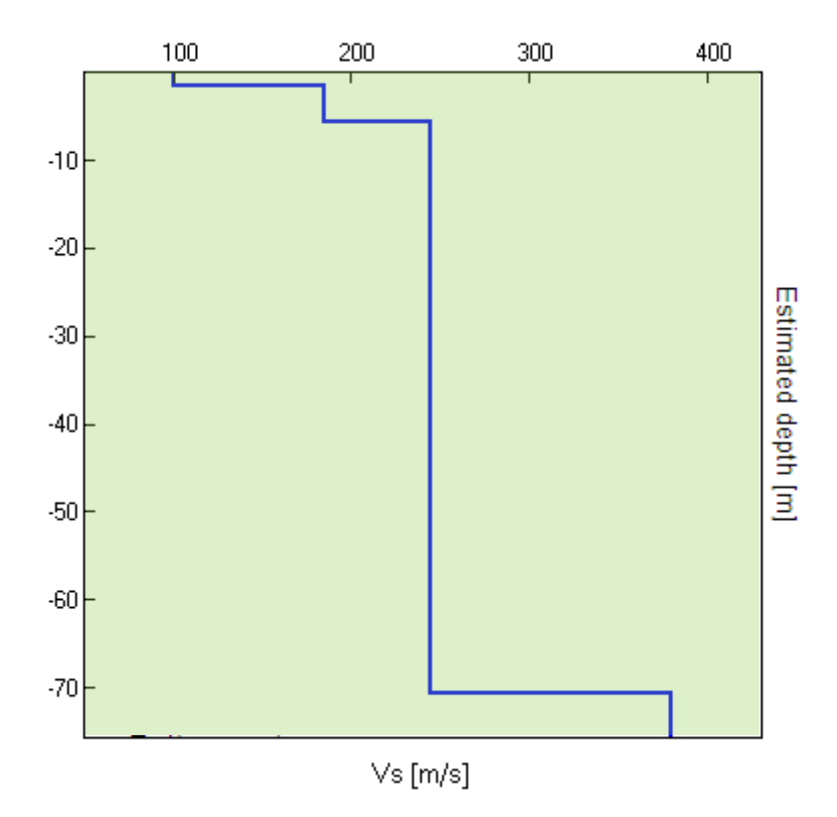
Il grafico sotto rappresenta l'elaborazione della traccia sperimentale da cui si ricava la Vs30 e relativa categoria di suolo, la curva blu è la curva teorica risultato dell'elaborazione, devono essere il più possibile coincidenti;

EXPERIMENTAL VS SYNTHETIC H/V



A seguire uno schema dei sismostrati nei quali è stato suddiviso il sottosuolo, ciascuno caratterizzato da uno specifico valore Vs, e quindi il relativo grafico dell'andamento della Vs in profondità,.

Litologia indicativa da tabella 1	Profondità totale [m]	Sismostrati [m]	Vs [m/s]
Terreno vegetale	1.60	1.60	100
Limi e argille tenere	5.60	4.00	185
Limi e argille medie, ghiaia	70.60	65.00	245
Substrato non rigido	inf.	inf.	380



Il valore medio risultante dall'elaborazione fornisce la seguente Vs30, valore che non va assunto come dato certo, ma considerando un margine di errore almeno del 20%.

$$V_{830} = 210 \text{ m/s} \pm 40 \text{ m/s}$$

Il valore ottenuto classifica il terreno come sito C.

Trattasi di sabbie e ghiaie mediamente addensate e argille di media consistenza.

Tabella 1. Velocità caratteristiche delle onde S nei vari tipi di suolo [cfr. Borcherdt, 1994]

TIPO DI SUOLO	V _s min [m/s]	V _s media [m/s]	V _s max [m/s]
ROCCE MOLTO DURE (es. rocce metamorfiche molto poco fratturate)	1400	1620	1.
ROCCE DURE (es. graniti, rocce ignee, conglomerati, arenarie e argilliti, da mediamente a poco fratturati)	700	1050	1400
SUOLI GHIAIOSI e ROCCE DA TENERE A DURE (es. rocce sedimentarie ignee, tenere, arenarie, argilliti, ghiaie e suoli con > 20% di ghiaia)	375	540	700
ARGILLE COMPATTE e SUOLI SABBIOSI (es. sabbie da sciolte a molto compatte, limi e argille sabbiose, argille da medie a compatte e argille limose)	200	290	375
TERRENI TENERI (es. terreni di riempimento sotto falda, argille da tenere a molto tenere).	100	150	200

Nella tabella sotto è illustrata la qualità del segnale acquisito in base al progetto SESAME (Linee guida 2005). Per l'affidabilità della curva HVSR devono essere positivi i primi 3 parametri, mentre per avere un chiaro e pulito segnale del picco massimo devono essere soddisfatti 5 parametri su 6.

Max. H/V at 42.81 ± 0.32 Hz. (in the range 0.0 - 64.0 Hz).						
	r a reliable HVSR curve should be fulfilled]					
f ₀ > 10 / L _w 42.81 > 0.50 OK						
$n_c(f_0) > 200$	50518.8 > 200	OK				
$s_A(f) < 2 \text{ for } 0.5f_0 < f < 2f_0 \text{ if } f_0 > 0.5Hz$	Superato 0 volte su 1364	OK				
$s_A(f) < 3 \text{ for } 0.5f_0 < f < 2f_0 \text{ if } f_0 < 0.5Hz$						
	for a clear HVSR peak out of 6 should be fulfilled]					
Exists f in $[f_0/4, f_0] A_{H/V}(f) < A_0 / 2$	31.188 Hz	OK				
Exists f + in $[f_0, 4f_0] A_{H/V}(f +) < A_0 / 2$	52.254 Hz	OK				
$A_0 > 2$	2.08 > 2	OK				
$f_{peak}[A_{H/V}(f) \pm s_A(f)] = f_0 \pm 5\%$ 0.0075 < 0.05						
$s_f < e(f_0)$ 0.32094 < 2.14063 OK						
$s_A(f_0) < q(f_0)$						

La frequenza di risonanza caratteristica o di riferimento del terreno è Fo \cong 9,0 Hz

Dr. Bruno Gardegni – Geologo – Vicolo Gottardi 13 – 48018 Faenza (RA)

e-mail: brunogard@libero.it - cell.: 3294053135

Traccia 2

Inizio registrazione: 24/11/20 10:51:45 Fine registrazione: 24/11/20 11:11:45

Nomi canali: NORTH SOUTH; EAST WEST; UP DOWN

Dato GPS non disponibile

Durata registrazione: 0h20'00". Analisi effettuata sull'intera traccia.

Freq. campionamento: 128 Hz

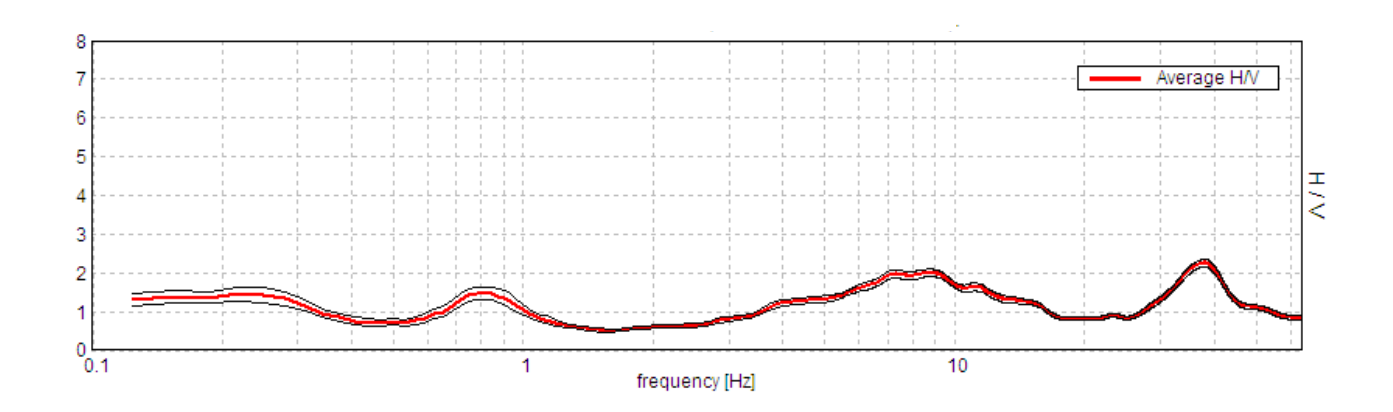
Lunghezza finestre: 20 s

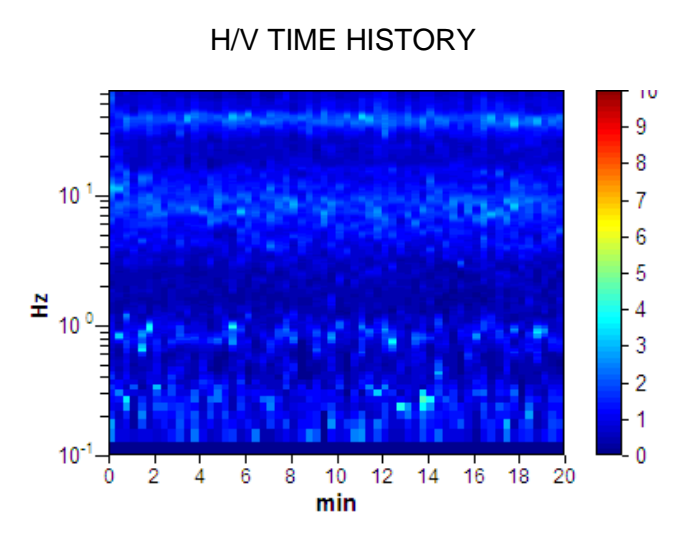
Tipo di lisciamento: Triangular window

Lisciamento: 10%

Nel grafico che segue è rappresentata la curva sperimentale H/V frutto dell'elaborazione mediante algoritmo dei microtremori registrato dall'apparecchiatura, in ascissa la frequenza di risonanza del terreno, in ordinata il rapporto H/V:

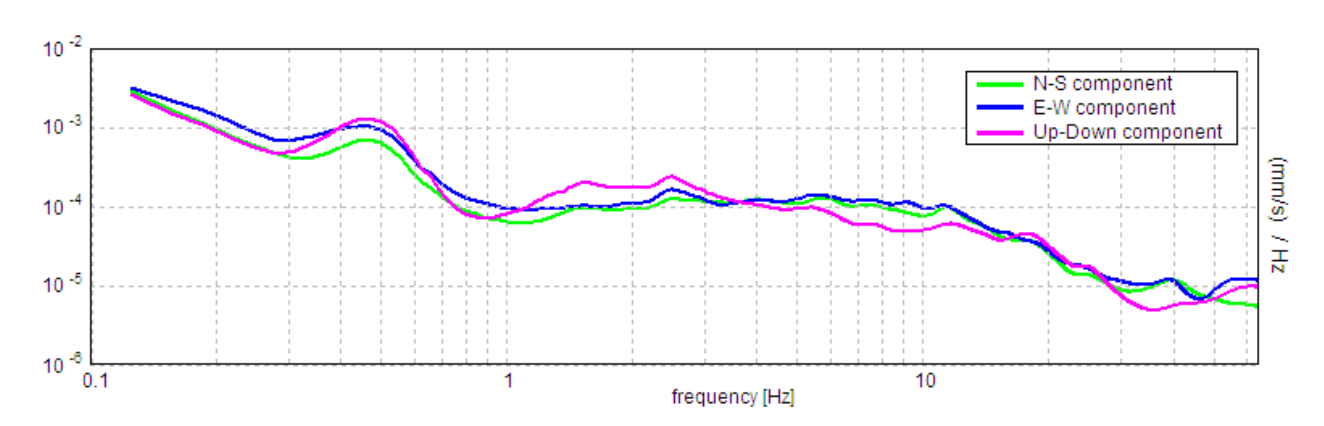
HORIZONTAL TO VERTICAL SPECTRAL RATIO



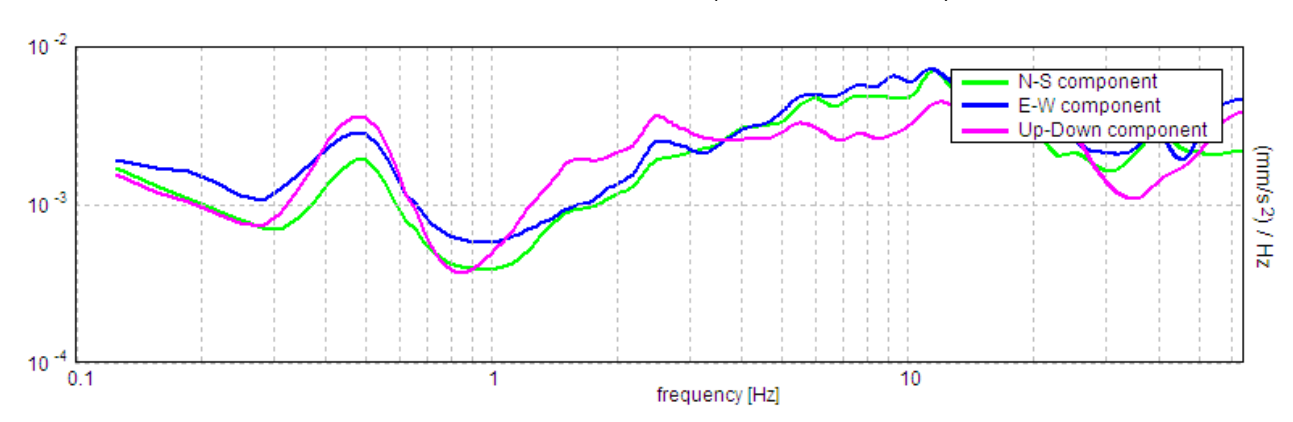


Nei grafici successivi l'andamento della traccia nelle 3 componenti N-S, E-W e verticale:

SINGLE COMPONENT SPECTRA (VELOCITA')

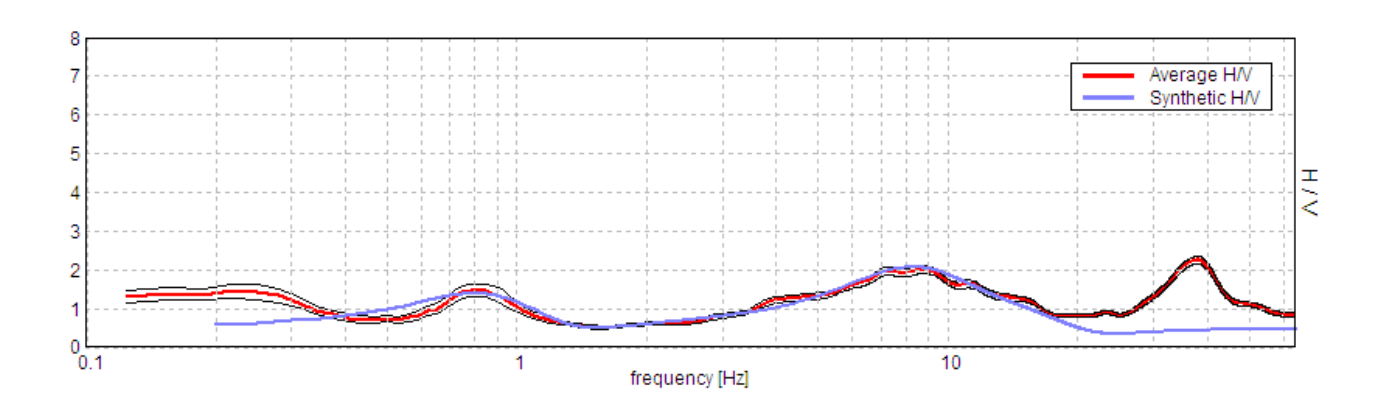


SINGLE COMPONENT SPECTRA (ACCELERAZIONE)



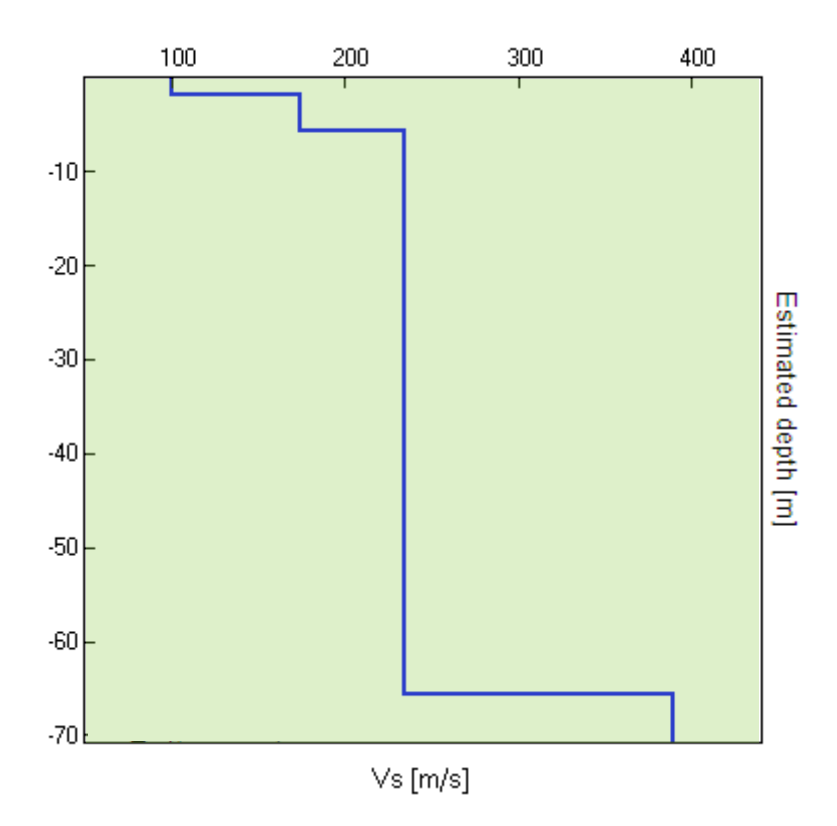
Il grafico sotto rappresenta l'elaborazione della traccia sperimentale da cui si ricava la Vs30 e relativa categoria di suolo, la curva blu è la curva teorica risultato dell'elaborazione, devono essere il più possibile coincidenti;

EXPERIMENTAL VS SYNTHETIC H/V



A seguire uno schema dei sismostrati nei quali è stato suddiviso il sottosuolo, ciascuno caratterizzato da uno specifico valore Vs, e quindi il relativo grafico dell'andamento della Vs in profondità,.

Litologia indicativa da tabella 1	Profondità totale [m]	Sismostrati [m]	Vs [m/s]
Terreno vegetale	1.80	1.80	100
Limi e argille tenere	5.70	3.90	175
Limi e argille medie, ghiaia	65.70	60.00	235
Substrato non rigido	inf.	inf.	390



Il valore medio risultante dall'elaborazione fornisce la seguente Vs30, valore che non va assunto come dato certo, ma considerando un margine di errore almeno del 20%.

$$V_{830} = 210 \text{ m/s} \pm 40 \text{ m/s}$$

Il valore ottenuto classifica il terreno come sito C.

Trattasi di sabbie e ghiaie mediamente addensate e argille di media consistenza.

Tabella 1. Velocità caratteristiche delle onde S nei vari tipi di suolo [cfr. Borcherdt, 1994]

TIPO DI SUOLO	V _s min [m/s]	V _s media [m/s]	V _s max [m/s]
ROCCE MOLTO DURE (es. rocce metamorfiche molto poco fratturate)	1400	1620	1-
ROCCE DURE (es. graniti, rocce ignee, conglomerati, arenarie e argilliti, da mediamente a poco fratturati)	700	1050	1400
SUOLI GHIAIOSI e ROCCE DA TENERE A DURE (es. rocce sedimentarie ignee, tenere, arenarie, argilliti, ghiaie e suoli con > 20% di ghiaia)	375	540	700
ARGILLE COMPATTE e SUOLI SABBIOSI (es. sabbie da sciolte a molto compatte, limi e argille sabbiose, argille da medie a compatte e argille limose)	200	290	375
TERRENI TENERI (es. terreni di riempimento sotto falda, argille da tenere a molto tenere).	100	150	200

Nella tabella sotto è illustrata la qualità del segnale acquisito in base al progetto SESAME (Linee guida 2005). Per l'affidabilità della curva HVSR devono essere positivi i primi 3 parametri, mentre per avere un chiaro e pulito segnale del picco massimo devono essere soddisfatti 5 parametri su 6.

Max. H/V at 37.81 ± 1.29 Hz. (in the range 0.0 - 64.0 Hz).					
	r a reliable HVSR curve should be fulfilled]				
f ₀ > 10 / L _w	37.81 > 0.50	ОК			
$n_c(f_0) > 200$	45375.0 > 200	OK			
$s_A(f) < 2 \text{ for } 0.5f_0 < f < 2f_0 \text{ if } f_0 > 0.5Hz$ $s_A(f) < 3 \text{ for } 0.5f_0 < f < 2f_0 \text{ if } f_0 < 0.5Hz$	Superato 0 volte su 1444	OK			
	for a clear HVSR peak out of 6 should be fulfilled]				
Exists f in $[f_0/4, f_0] A_{H/V}(f) < A_0 / 2$	28.25 Hz	OK			
Exists f + in $[f_0, 4f_0] A_{H/V}(f +) < A_0 / 2$	48.813 Hz	OK			
A ₀ > 2	2.25 > 2	OK			
$f_{peak}[A_{H/V}(f) \pm s_A(f)] = f_0 \pm 5\%$	0.04855 < 0.05	OK			
$s_f < e(f_0)$	1.2889 < 1.89063	OK			
$s_A(f_0) < q(f_0)$	0.097 < 1.58	OK			

La frequenza di risonanza caratteristica o di riferimento del terreno è Fo \cong 9,0 Hz

Dr. Bruno Gardegni – Geologo – Vicolo Gottardi 13 – 48018 Faenza (RA)

e-mail: brunogard@libero.it - cell.: 3294053135

PARAMETRI SISMICI da GEOSTRU

Tipo di elaborazione: FONDAZIONI

Sito in esame: C

Coordinate espresse in ED50: Latitudine: 44,358121° Longitudine: 11,737245°

Coordinate espresse in WGS84: Latitudine: 44.357182° Longitudine: 11.736263°

Classe d'uso I: costruzioni con presenza occasionale di persone, edifici agricoli.

Classe d'uso II: costruzioni con normale affollamento di persone, assenza di funzioni pubbliche e sociali importanti, industrie con attività non pericolose per l'ambiente, ponti, strade e opere infrastrutturali non ricadenti in classe d'uso III e IV, reti ferroviarie la cui interruzione non provochi situazioni di emergenza, dighe il cui collasso non provochi conseguenze rilevanti.

Classe d'uso III: costruzioni il cui uso preveda affollamenti significativi; industrie con attività pericolose per l'ambiente; reti viarie extraurbane non ricadenti in classe d'uso IV; ponti e reti ferroviarie la cui interruzione provochi situazioni di emergenza; dighe rilevanti per un loro eventuale collasso.

Classe d'uso IV: costruzioni con funzioni pubbliche o strategiche importanti, anche con riferimento alla gestione della Protezione Civile in caso di calamità. Industrie con attività pericolose per l'ambiente. Reti viarie di collegamento tra capoluoghi di provincia, ponti e reti ferroviarie di importanza critica per le vie di comunicazione, dighe connesse al funzionamento di acquedotti e centrali idroelettriche.

14

Dr. Bruno Gardegni – Geologo – Vicolo Gottardi 13 – 48018 Faenza (RA)

e-mail: brunogard@libero.it - cell.: 3294053135

Siti di riferimento:

	ID	Latitudine °	Longitudine °	Distanza
Sito 1	17401	44,3709	11,6722	5362,964
Sito 2	17402	44,3720	11,7421	1588,146
Sito 3	17624	44,3220	11,7436	4050,152
Sito 4	17623	44,3209	11,6737	6527,528

Categoria suolo: C Categoria topografica: T1

Vita nominale opera: 50 anni Coefficiente Cu: 1,0

Parametri sismici:

	P _{VR} %	Tr (anni)	ag (g)	Fo (-)	Tc* (s)
Operatività SLO	81	30	0,066	2,408	0,260
Danno SLD	63	50	0,084	2,396	0,268
Salvaguardia vita SLV	10	475	0,204	2,441	0,299
Prevenzione collasso SLC	5	975	0,256	2,494	0.314

 P_{VR} = probabilità di superamento nel periodo di riferimento V_R = 35 anni

Tr = periodo di riferimento

ag = accelerazione di gravità

Fo = valore massimo del fattore di amplificazione dello spettro in accelerazione orr.

Tc = periodo di inizio del tratto di velocità costante dello spettro di accelerazione orr.

Coefficienti sismici:

	Ss (-)	Cc (-)	St (-)	Kh (-)	Kv (-)	Amax (m/s²)	Beta (-)
SLO	1,500	1,640	1,000	0,020	0,010	0,966	0,200
SLD	1,500	1,620	1,000	0,025	0,013	1,235	0,200
SLV	1,400	1,560	1,000	0,080	0,040	2,807	0,280
SLC	1,320	1,540	1,000	0,095	0,047	3,316	0,280

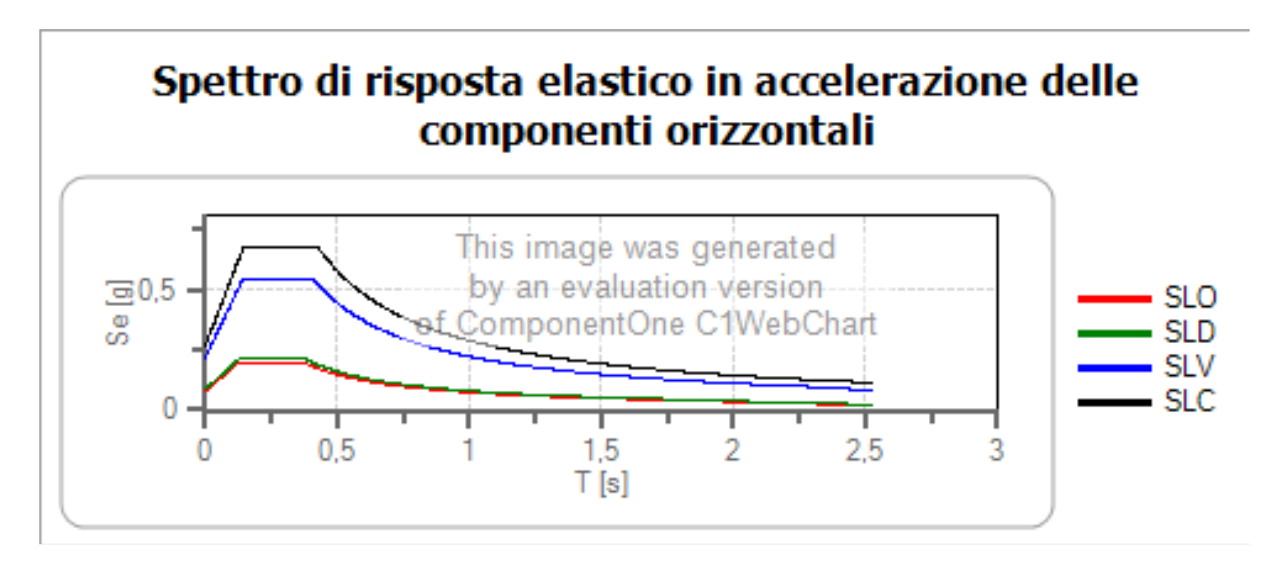
Ss = amplificazione stratigrafica Cc = coeff. funz. categoria

St = amplificazione topografica Amax = acc. max attesa al sito

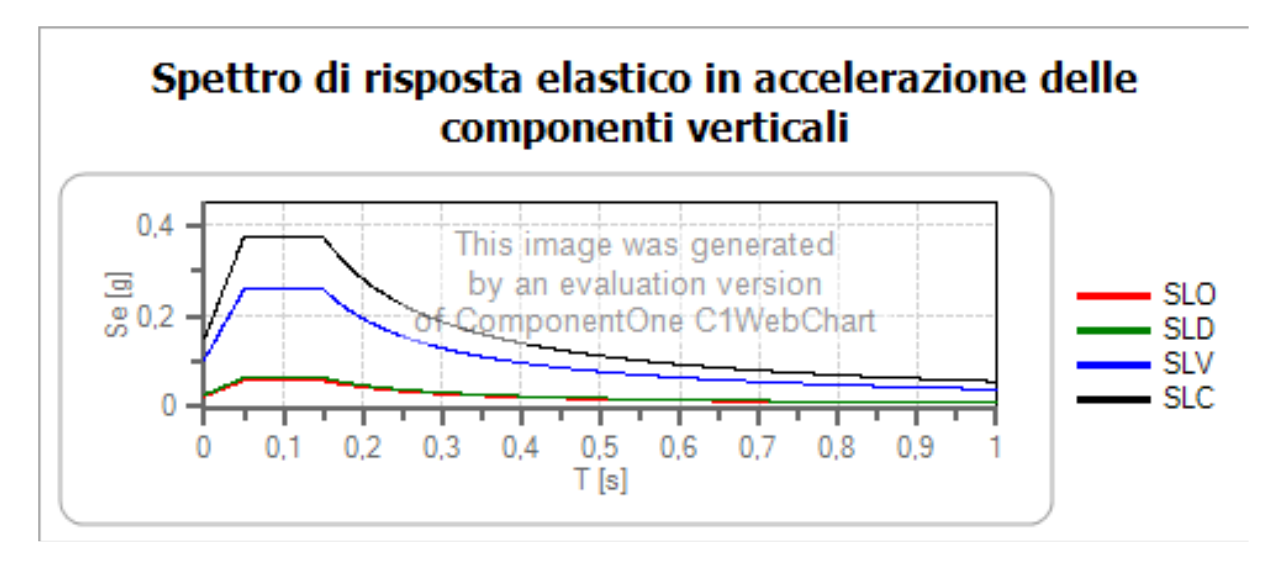
Kh = coeff, sismico verticale Kv = coeff. Sismico orizzontale

Beta = coeff. riduzione acc.max

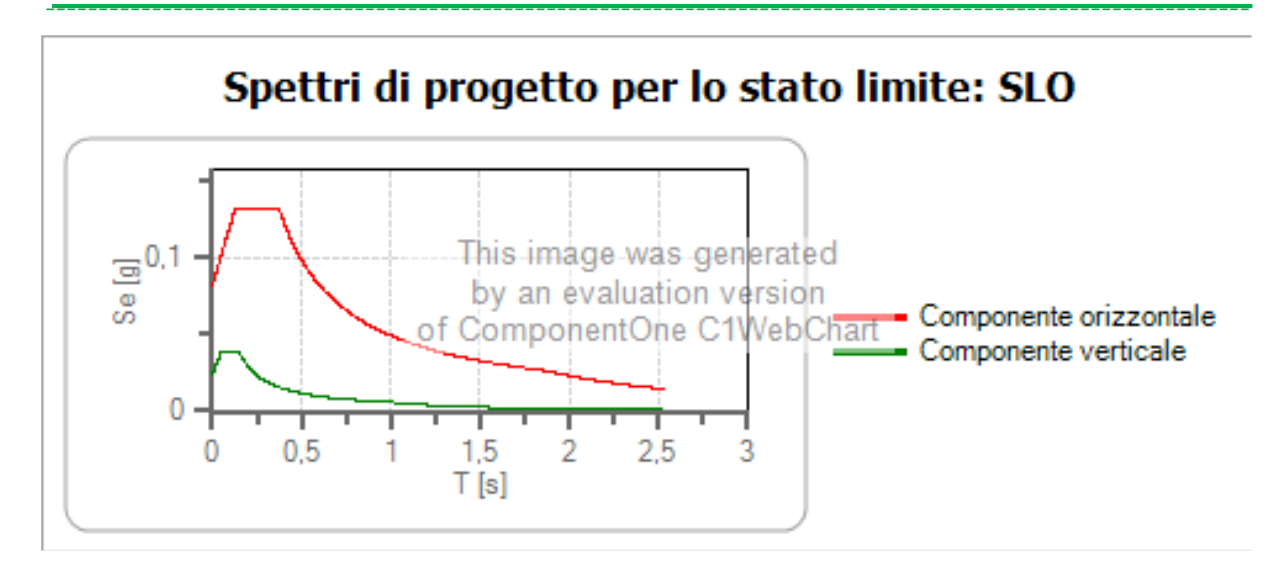
Zona 1 = 0.35g Zona 2 = 0.25g Zona 3 = 0.15g Zona 4 = 0.05g



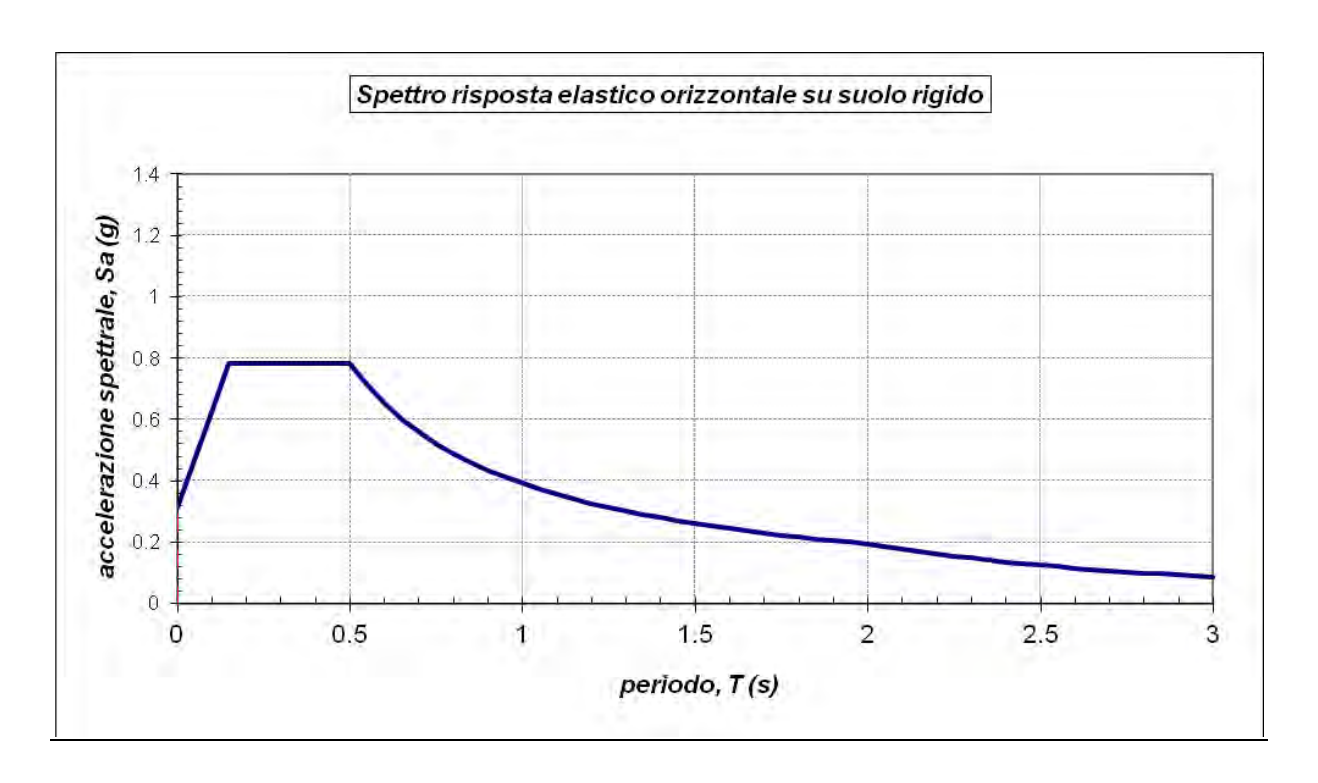
	cu	ag	Fo	Tc	Ss	Cc	St	S	q	Tb	Tc	Td
SLO	1,0	0,066	2,408	0,260	1,500	1,640	1,000	1,500	1,000	0,142	0,427	1,863
SLD	1,0	0,084	2,396	0,268	1,500	1,620	1,000	1,500	1,000	0,145	0,435	1,936
SLV	1,0	0,204	2,441	0,299	1,400	1,560	1,000	1,400	1,000	0,156	0,467	2,418
SLC	1,0	0,256	2,494	0,314	1,320	1,540	1,000	1,320	1,000	0,161	0,483	2,625



	cu	ag	Fo	Tc	Ss	Сс	St	S	q	Tb	Tc	Td
SLO	1,0	0,066	2,408	0,260	1,000	1,640	1,000	1,000	1,000	0,050	0,150	1,000
SLD	1,0	0,084	2,396	0,268	1,000	1,620	1,000	1,000	1,000	0,050	0,150	1,000
SLV	1,0	0,204	2,441	0,299	1,000	1,560	1,000	1,000	1,000	0,050	0,150	1,000
SLC	1,0	0,256	2,494	0,314	1,000	1,540	1,000	1,000	1,000	0,050	0,150	1,000



	cu	ag	Fo	Tc	Ss	Cc	St	S	q	Tb	Tc	Td
SLO h	1,0	0,066	2,408	0,260	1,500	1,640	1,000	1,500	1,500	0,142	0,427	1,863
SLO v	1,0	0,066	2,408	0,260	1,500	1,640	1,000	1,000	1,500	0,050	0,150	1,000



Zona 2	Tipo suolo	ag	S	Tb(s)	Tc (s)	Td(s)	piani	Т	Sa
Margine B	C	0.25	1.25	0.15	0.5	2	0	0	0,3125

Dallo spettro di risposta normalizzato è possibile ottenere, moltiplicando i valori della tabella 1 per il valore di a_{refg} di ogni comune ,lo spettro di risposta a probabilità uniforme che descrive le caratteristiche del moto sismico atteso per ogni comune dell'Emilia-Romagna.

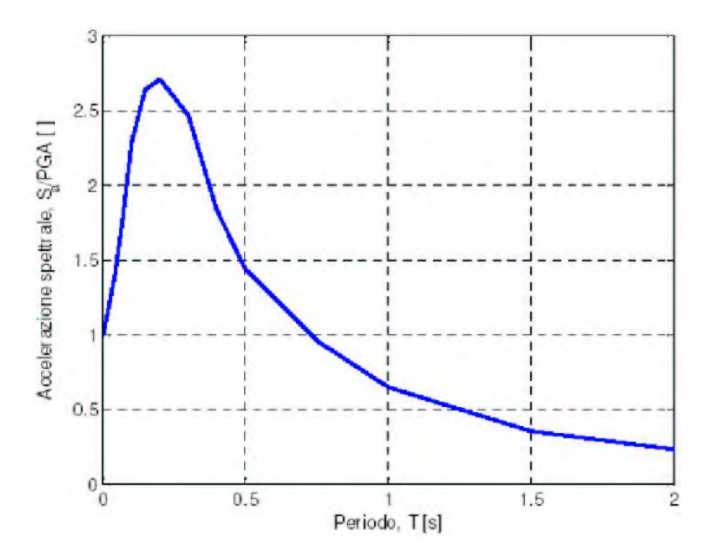


Figura - Spettro di risposta normalizzato (TR = 475 anni = 5% smorzamento) per l'Emilia-Romagna

T(s)	0,00	0,10	0,15	0,20	0,30	0,40	0,50	0,75	1,00	1,50	2,00
Sa/a _{ref}	1,0000	2,2100	2,6080	2,6562	2,4033	1,9394	1,5050	0,9172	0,6359	0,3608	0,2462

Tabella - Valori che definiscono lo spettro normalizzato per l'Emilia-Romagna

Valore di a_{refg} per il comune di Imola = 0,2029

dove a_{refg} = accelerazione massima orizzontale di picco al suolo, cioè per T=0, espressa in frazione dell'accelerazione di gravità g (a_{refg})

Categorie topografiche del terreno

T1	Superficie pianeggiante, pendii e rilievi isolate con inclinazione media i < 15°	St = 1
T2	Pendii con inclinazione media i > 15°	St =1.2
T3	Rilievi con larghezza in cresta minore che alla base e inclinazione media 15° < i < 30°	St =1.2
T4	Rilievi con larghezza in cresta minore che alla base e inclinazione media i $> 30^{\circ}$	St =1.4

Categorie suolo di fondazione

	Descrizione del profilo stratigrafico	V_{s30} (m/s)
С	Depositi di terreni a grana grossa mediamente addensati o terreni a grana fina mediamente consistenti con profondità del substrato superiori a 30 m, caratterizzati da un miglioramento delle proprietà meccaniche con la profondità e da valori di velocità equivalente compresi tra 180 m/s e 360 m/s.	180 – 360

Parametri per il profilo stratigrafico

S = 1,25, sabbie e ghiaie mediamente addensate, argille media consistenza, Tipo C;

ELEMENTI di MICROZONAZIONE SISMICA

L'area di intervento è morfologicamente classificabile come Margine appenninico-padano tipo B Si considerano i coefficienti di amplificazione sismica relativi alla fascia di velocità relativa a 200 m/s.

Tabella per il calcolo dei coefficienti di amplificazione sismica (DGR n.630 del 29/04/2019)

F.A. P.G.A.: accelerazione di picco orizzontale a periodo T=0 alla superficie del sito.

F.A. S.I.: Intensità spettrale di risposta in velocità relativo a tre intervalli.

F.A. S.A.: Intensità spettrale di risposta in accelerazione relativo a quattro intervalli.

MARGINE APPENNINICO-PADANO: settore di transizione tra la zona collinare (Appennino) e la pianura, o la costa, caratterizzato da terreni alluvionali prevalentemente fini (argille, limi, sabbie) sovrastanti orizzonti grossolani (ghiaie, ghiaie sabbiose, sabbie ghiaiose); il substrato geologico è generalmente costituito da sabbie marine o transizionali pleistoceniche (Sabbie Gialle) o dalla successione pelitica plio-pleistocenica (Argille Azzurre); il tetto del substrato geologico è a profondità indicativamente comprese tra 50 e 100 m;

MARGINE di tipo B: caratterizzato da spessore dei terreni superficiali fini o grossolani poco consolidati superiore a 30 m; la successione sottostante è costituita da alternanze di orizzonti grossolani e orizzonti fini;

Vs30	150	200	250	300	350	400
F.A. P.G.A	1.6	1.6	1.6	1.6	1.6	1.5

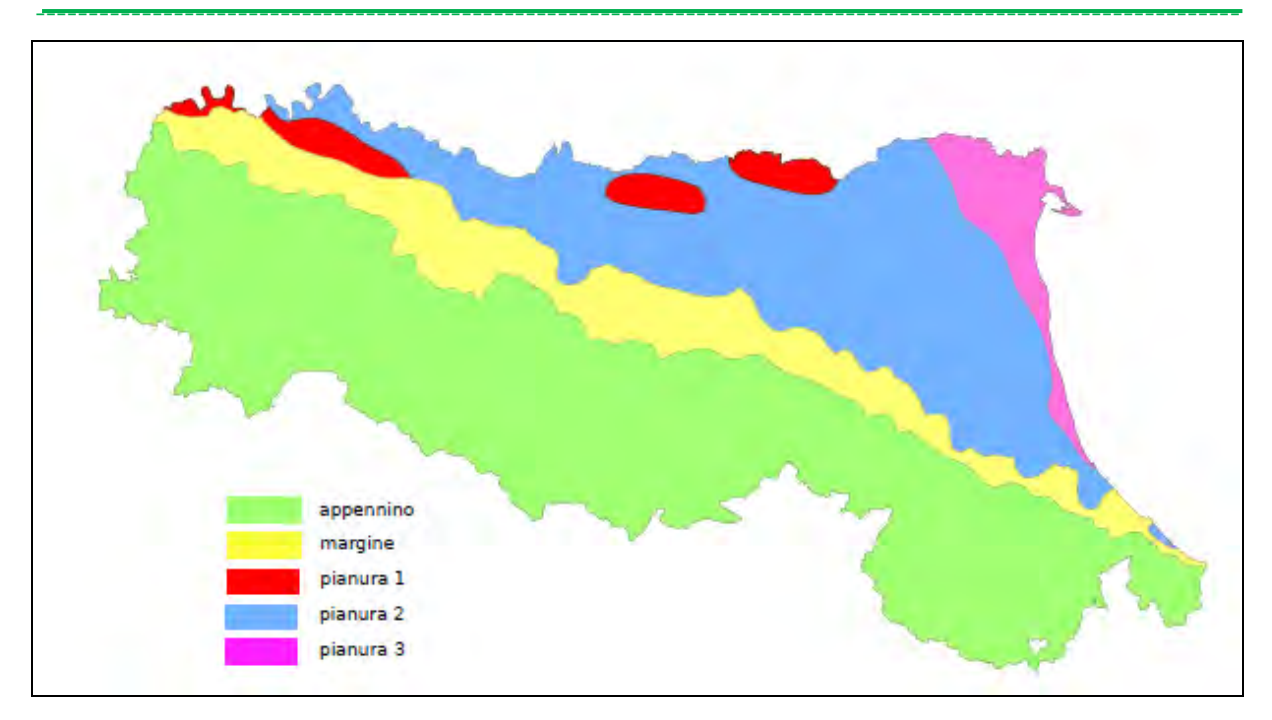
Fattore di Amplificazione PGA

Vs30	150	200	250	300	350	400
F.A SI1	1.9	1.9	1.9	1.8	1.7	1.6
F.A SI2	2.9	2.8	2.5	2.3	2.1	2.0
F.A SI3	3.3	3.1	2.7	2.4	2.2	2.0

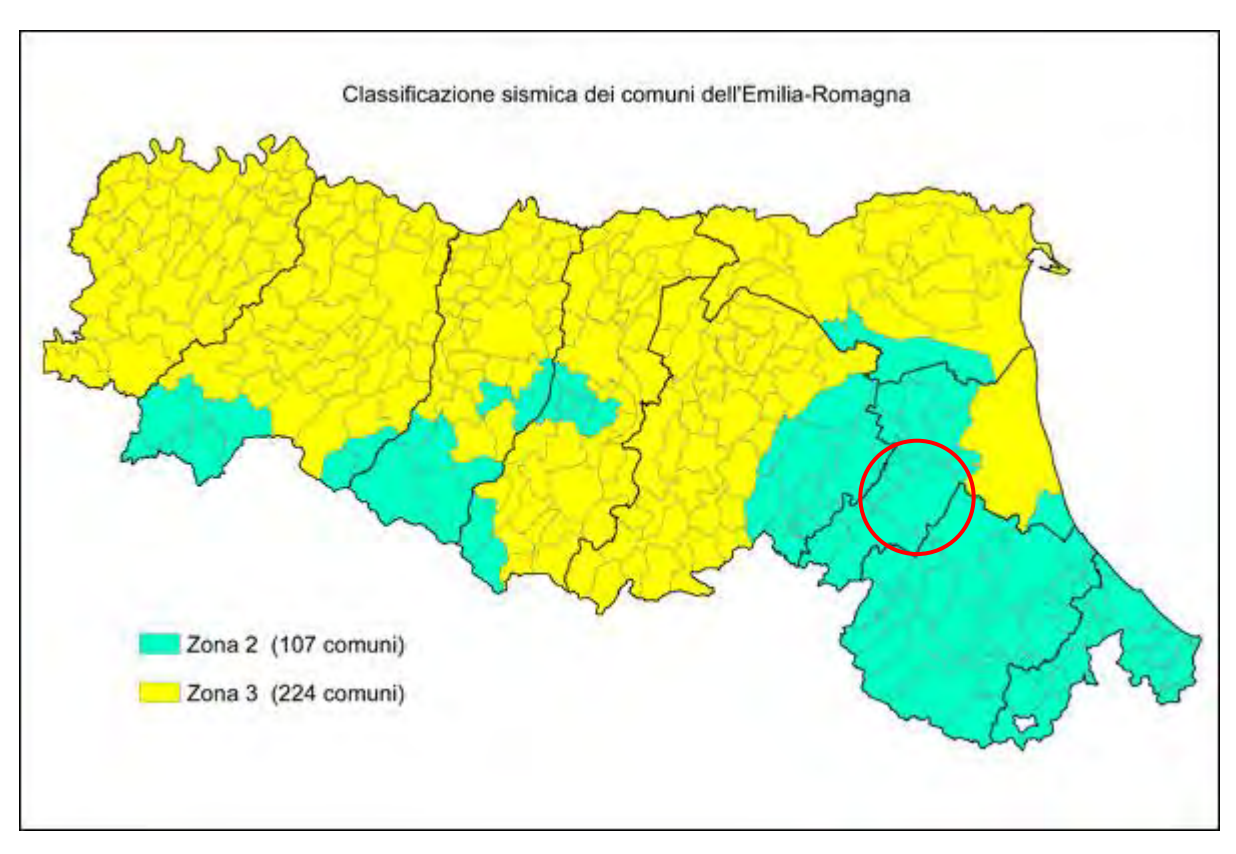
Fattori di Amplificazione SI1 $(0.1s \le T \le 0.5s)$, SI2 $(0.5s \le T \le 1.0s)$, SI3 $(0.5s \le T \le 1.5s)$

Vs30	150	200	250	300	350	400
F.A. SA1	1,8	1,8	1,8	1,7	1,7	1,5
F.A SA2	2,6	2,6	2,3	2,1	1,9	1,7
F.A SA3	3,1	2,9	2,7	2,4	2,3	2,1
F.A SA4	3,0	2,9	2,6	2,3	2,1	1,9

F.A. **SA1** $(0.1s \le T \le 0.5s)$, **SA2** $(0.4s \le T \le 0.8s)$, **SA3** $(0.7s \le T \le 1.1s)$ e **SA4** $(0.5s \le T \le 1.5s)$



Localizzazione indicativa degli ambienti geomorfologici e litostratigrafici



Nuova classificazione sismica NTC 2018 - Comune di Imola

CONCLUSIONI

- Il terreno indagato e classificabile come sito C;
- La velocità stimata è pari a Vs30 = 210 m/s;
- E' prevista una nuova lottizzazione con manufatto classificabili come classe d'uso II;
- La frequenza caratteristica del sito è $F_0 \cong 9,0$ Hz;
- L'accelerazione di gravita del sito è ag = 0,204 (SLV);
- L'accelerazione massima è Amax = 2,807 (SLV);
- L' accelerazione massima orizzontale di picco al suolo, cioè per T = 0, espressa in frazione dell'accelerazione di gravità per il comune di Imola è g (a_{refg}) = 0,2029;
- La categoria topografica è **T1**;
- L'area ricade in **Zona 2 = 0.25g**;
- L'area è classificabile come Margine appenninico-padano di tipo B;
- Si assumono come coefficienti di amplificazione sismica su base regionale quelli relativi alla fascia di velocità pari a 200 m/s, tali coeff. non sono vincolanti ai fini della progettazione:

PGA = 1,6	SA1 per l'intervallo $0.1 \text{s} < \text{To} < 0.5 \text{s} = 1.8$
SI1 per l'intervallo $0.1 \text{s} < \text{To} < 0.5 \text{s} = 1.9$	SA2 per l'intervallo 0,4s <to<0,8s <b="" =="">2,8</to<0,8s>
SI2 per l'intervallo 0,5s <to<1,0s <b="" =="">2,8</to<1,0s>	SA3 per l'intervallo 0,7s <to<1,1s <b="" =="">2,9</to<1,1s>
SI3 per l'intervallo $0.5s < To < 1.5s = 3.1$	SA4 per l'intervallo $0.5s < To < 1.5s = 2.9$

Faenza, Novembre 2020

Dr. Geol. Bruno Gardegni



Via Valsellustra 32 40060 Dozza - BOLOGNA

Comune: COMUNE DI IMOLA (BO)

Indagine geofisica di superficie mediante tecnica combinata MASW/Re.Mi. e registrazioni HVSR in via Valverda, Ambito ASP_AN1.8, Comune di Imola (BO)

RELAZIONE GEOFISICA (DGR 2193/2015)

Stesura: Maggio 2018

Elaborazione: Dott. Geol. Antonio Milioto

Committente: Dott. Geol. Maurizio Castellari

tel/fax 0542 640279

 $mail\ info@studiosamuelsangiorgi.eu$





1. Premessa

Lo Studio scrivente è stato incaricato dal dott. geol. Maurizio Castellari di eseguire un'indagine finalizzata alla stima delle velocità di propagazione delle onde di taglio (Vs) ai fini della caratterizzazione sismica dei terreni di un'area da inserire all'interno del POC del Comune di Imola (BO). L'area di studio è localizzata in via Valverda, all'interno dell'Ambito ASP_AN1.8, in Comune di Imola (Figura 1).

Le Vs sono state valutate sulla base di uno stendimento sismico attivo/passivo tipo MASW/Re.Mi. e di una prova sismica speditiva di acquisizione passiva del rumore sismico ambientale, effettuata con strumento tromografico portatile ad alta risoluzione.

Si fornisce infine la stima delle velocità equivalenti di legge (VsH; Vs₃₀) ai sensi della DGR 2193/2015 della Regione Emilia-Romagna.

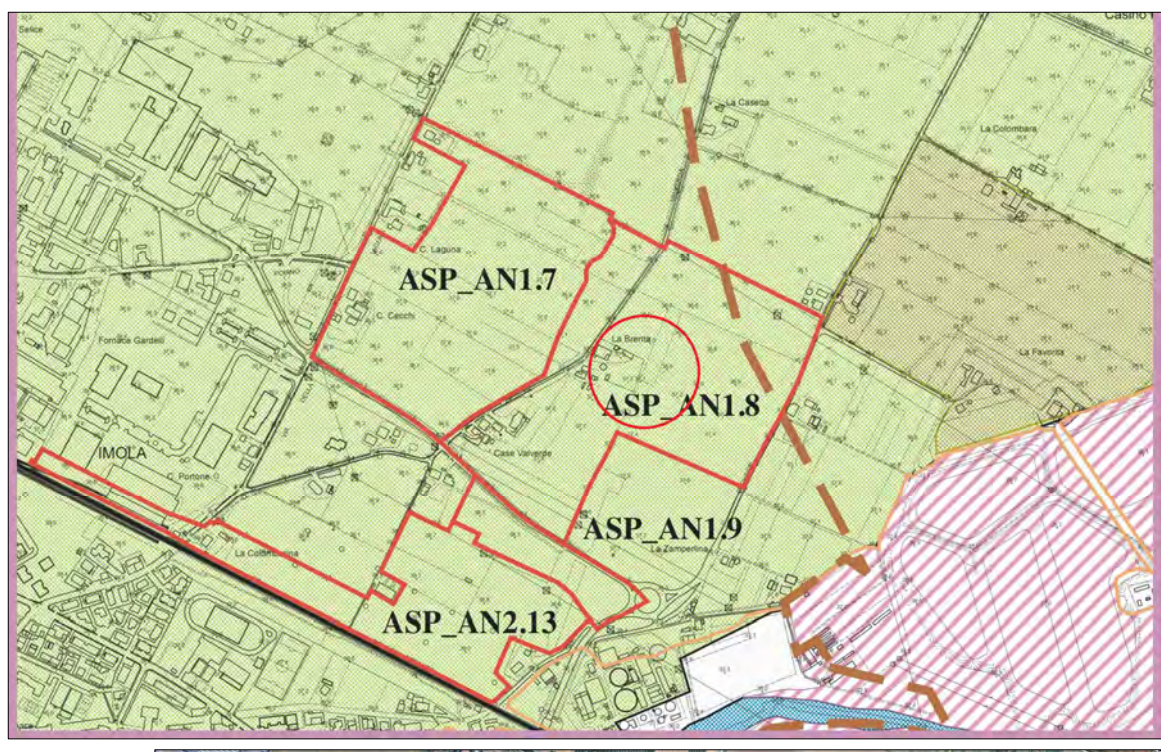


Figura 1 - Localizzazione
dell'area di studio
e delle indagini
geofisiche eseguite (stralcio scheda
d'ambito PSC
lmola e foto
<<Google
Earth>>)





2. Modalità d'indagine

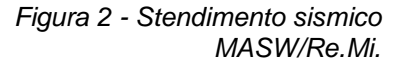
2.1 Stendimento MASW/Re.Mi.

Si tratta di una prova geofisica basata sull'analisi delle onde sismiche superficiali e mediante la quale è possibile ricostruire un profilo verticale monodimensionale della velocità delle onde "S" fino alla profondità di 30 m ed oltre. Tale risultato è ottenuto mediante registrazioni di segnali sismici generati da una sorgente energizzante artificiale (piastra-martello), registrazioni del rumore sismico ambientale (tecnica passiva) e, successivamente, dall'analisi delle onde superficiali registrate. La combinazione delle due acquisizioni offre il vantaggio che la curva di dispersione sperimentale "combinata" può essere definita tra 0 e 60 Hz, quindi sia a basse che ad alte frequenze, e che è possibile determinare il profilo di velocità delle onde di taglio (Vs) fino a profondità maggiori di 30 metri, in funzione del sito e delle caratteristiche della sorgente.

Le acquisizioni sono state elaborate con il software GEOGIGA SURFACE PLUS. L'analisi dei dati prevede l'applicazione di un'operazione matematica (trasformata FK o FV) sulle singole tracce sismiche acquisite sul campo. Il risultato di tale analisi permette di costruire lo spettro di potenza mediante il quale è possibile ricavare la curva di dispersione sperimentale delle onde "R". Successivamente, per via indiretta, una procedura di modellazione numerica permette di determinare un profilo 1D verticale della velocità Vs, compatibile con la curva sperimentale ottenuta.

L'acquisizione dei dati è stata condotta mediante l'utilizzo di un sismografo digitale a 24 bit di marca ABEM (mod. RAS-24) e 24 geofoni verticali con frequenza propria pari a 4,5 Hz. La lunghezza totale della linea sismica è stata di 69 m, con un intervallo costante tra i ricevitori pari a 3 m. Il campionamento temporale per le registrazioni passive è stato pari a 2 ms e la durata pari a 32 s, mentre per le registrazioni attive il campionamento è stato pari a 0,5 ms e la durata pari a 2 s. Per questa indagine sono state acquisite complessivamente 15 registrazioni.

In appendice si allegano i grafici relativi ai principali parametri di acquisizione ed elaborazione della prova.







2.2 Registrazione HVSR

La strumentazione utilizzata è costituita dal tomografo digitale "TrominoR" in grado di acquisire il microtremore e più precisamente il rumore sismico ambientale a corto periodo. Il rumore sismico è infatti presente in qualsiasi punto della superficie terrestre e consiste nelle onde prodotte dall'interferenza costruttiva delle onde P e delle onde S negli strati superficiali.

Il metodo teorico utilizzato per l'analisi tromografica è riferibile a quello dei rapporti spettrali di Nakamura o metodo HVSR. Questo si basa sullo studio dei valori medi di ampiezza tra le componenti spettrali del rumore sismico misurate sul piano verticale. Particolare attenzione viene data alla funzione orizzontale/verticale H/V (Nogoshi & Igarashi, 1970), poiché rappresenta i valori medi della frequenza di vibrazione e consente in media di eliminare il ruolo delle variazioni di intensità della sorgente nel corso della registrazione. L'elaborazione delle misure di microtremore è efficace per la stima delle frequenze fondamentali di risonanza fr del sottosuolo

$$fr = Vs/4*H$$
 con $H = spessore$ dello strato

In questo modo, le misure tromografiche forniscono un utile supporto alla ricostruzione di sottosuolo ed alla preliminare valutazione della pericolosità sismica, sulla base della stima delle frequenze amplificanti caratteristiche del terreno. Si tratta dunque di un'indagine non invasiva e l'acquisizione avviene tramite l'utilizzo di un sensore costituito da tre accelerometri, orientati in modo da ottenere il rumore sismico lungo le componenti: Nord-Sud; Est-Ovest; Alto-basso. Lo strumento consente di effettuare misure secondo tre differenti frequenze di acquisizione (128 – 256 – 512 Hz) a seconda delle finalità d'indagine e delle caratteristiche sismiche del sottosuolo. La traccia acquisita viene elaborata tramite l'utilizzo del software proprietario GrillaR che consente di effettuare preliminarmente il necessario "smoothing" (lisciamento) del segnale, poi la rappresentazione grafica dell'amplificazione H/V-f (Hz).

Per il campionamento del segnale tromografico si è scelta la frequenza di 128 Hz, necessaria per avere informazioni più dettagliate relative ai sedimenti profondi, ed una durata dell'acquisizione di 20 minuti. L'elaborazione con il software Grilla è impostata

con lisciamento del segnale acquisito pari al 10%. Per la prova espletata, la registrazione ha necessitato di una successiva eliminazione del rumore, pari al 25% della traccia acquisita.

In appendice si allegano i grafici relativi ai principali parametri di acquisizione ed elaborazione della prova.

Figura 3 – Registrazione HVSR





3. Risultati dell'indagine e caratterizzazione sismica (DGR 2193/2015)

Le registrazioni HVSR non hanno evidenziato particolari alti spettrali se non una blanda amplificazione alla frequenza di circa 8,5 Hz (basso rapporto spettrale H/V<2), indotta dal riflettore sismico costituito dal tetto delle ghiaie meno profonde (circa 5-6 metri).

Tramite l'elaborazione dei risultati della prova MASW/Re.Mi. si è stimata la distribuzione della velocità delle onde di taglio nei sedimenti (Vs), e in particolare si è misurata una Vs30 a partire dal suolo pari circa a 336,3 m/s.

Sulla base dei dati geofisici si fornisce di seguito l'aggiornamento della caratterizzazione sismica dell'Ambito ai sensi della DGR 2193/2015. Si precisa che l'area di studio è già inclusa nella microzonazione sismica comunale di "livello 2" elaborata ai sensi della DAL 112/2007.

L'area di studio è classificabile nel macro contesto denominato << Margine appenninico di tipo B: settore di transizione tra la zona collinare (Appennino) e la pianura, caratterizzato da spessore di terreni fini superiore a 30 m; gli strati grossolani sovrastano altri strati di terreni fini presenti fino al substrato geologico>>.

Ciò detto, si possono ricavare i seguenti fattori di amplificazione semplificati (DGR 2193/2015):

- FA (PGA) = 1,6;
- FA SI (0.1s-0.5s) = 1,7;
- FA SI (0.5s-1.0s) = 2,1;
- FA SI (0.5s-1.5s) = 2.2.

Elaborazione: dott. geol. Antonio Milioto



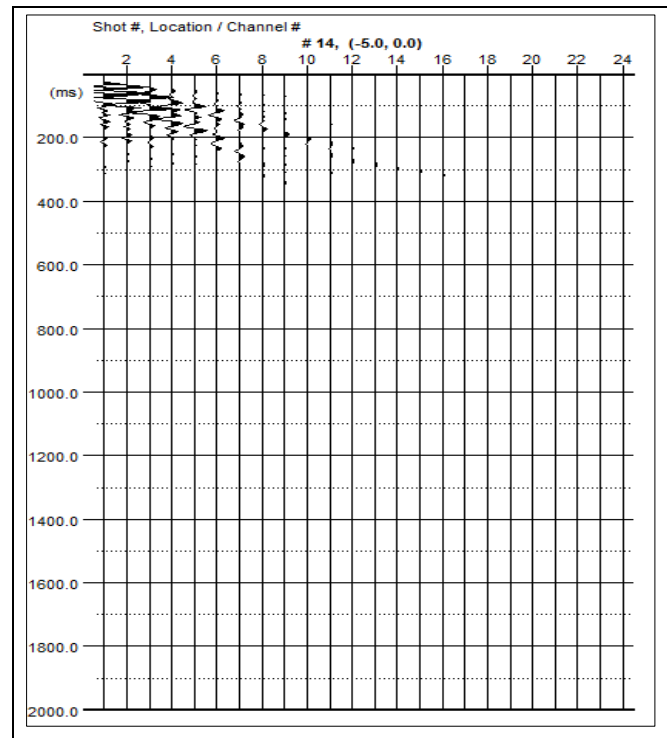


PROSPEZIONE SISMICA CON METODOLOGIA ATTIVA MASW/PASSIVA MASW/Re.Mi.

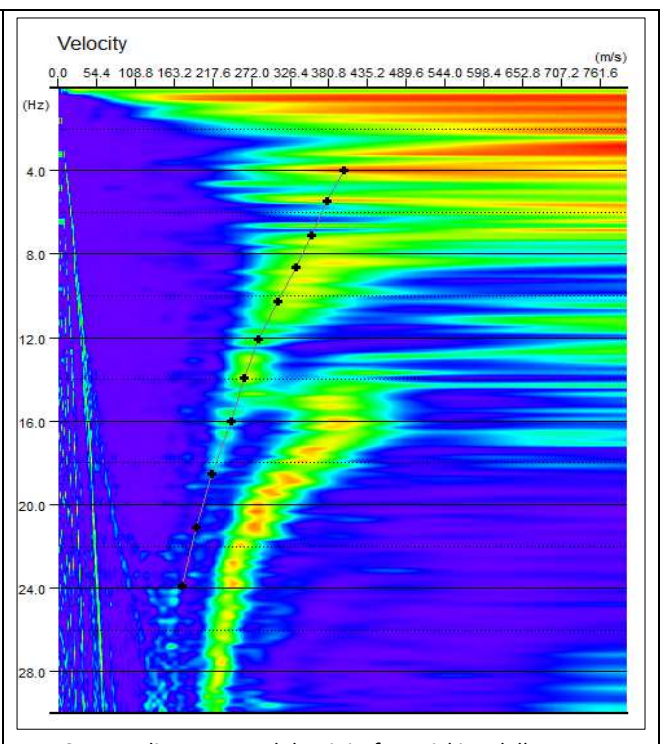
Ambito ASP_AN1.8, via Valverda – Comune di Imola (BO)

n° tracce	Δx (m)	L tot (m)	Δt (ms)	T (s)
15	3,0	69,0	0,5/2,0	2,0/32,0

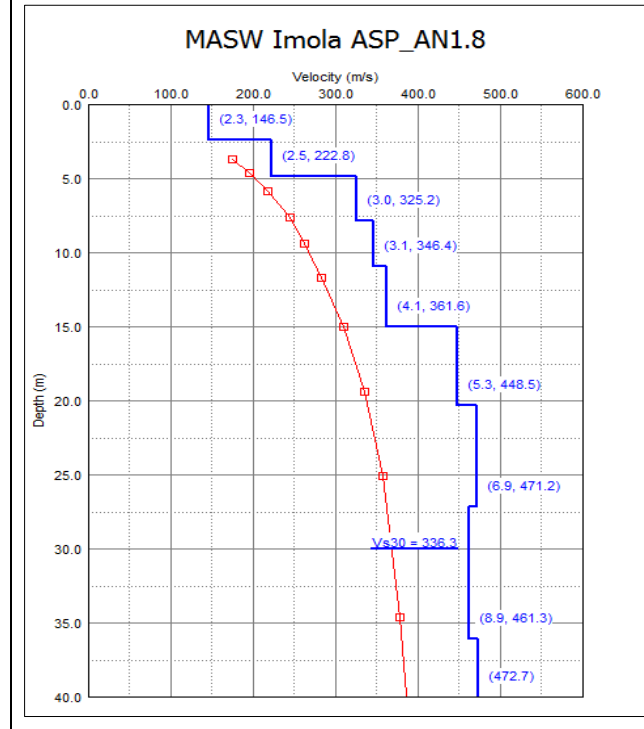
 Δx : interdistanza geofonica; L tot: lunghezza profilo; Δt : passo di campionamento; T: durata registrazione.



Sismogramma registrato durante le acquisizioni di microtremore sismico. In ascissa la distanza tra i geofoni (m), in ordinata il tempo (ms).



Spettro di potenza nel dominio *f-v* e Picking della curva sperimentali delle onde R (croci nere).



Modello di sottosuolo (1D) descritti in termini di Vs e spessore dei sismostrati (spezzata blu) e curva di dispersione sperimentale delle onde R (curva rossa).

Tabella di sintesi

n. Stra- to	Profondità let- to (m dal p.c.)	Spessore (m)	V _s (m/s)
1	2.3	2.3	146.5
2	4.8	2.5	222.8
3	7.8	3.0	325.2
4	10.9	3.1	346.4
5	15.0	4.1	361.6
6	20.3	5.3	448.5
7	27.2	6.9	471.2
8	36.1	8.9	461.3
9	8	∞	472.7

 $V_{s30} = 336.3 \pm 10\% [m/s]$

Sintesi dei parametri del modello di sottosuolo ottenuto e Valore di Vs30 calcolato.



IMOLA - ASP_N1.8, via Valverda, TR1

Instrument: TRZ-0108/01-10

Start recording: 30/04/18 12:28:20 End recording: 30/04/18 12:48:21 Channel labels: NORTH SOUTH; EAST WEST; UP DOWN

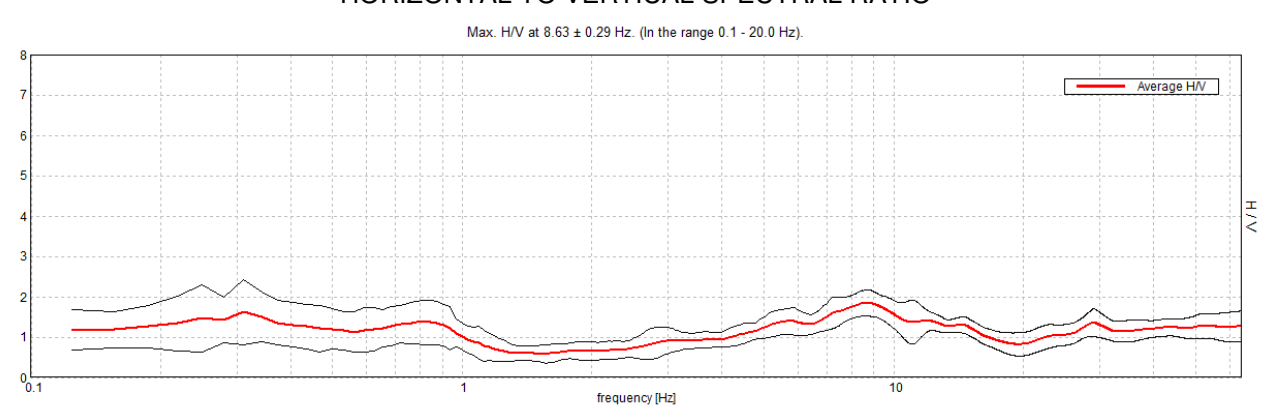
Trace length: 0h20'00". Analyzed 75% trace (manual window selection)

Sampling rate: 128 Hz Window size: 20 s

Smoothing type: Triangular window

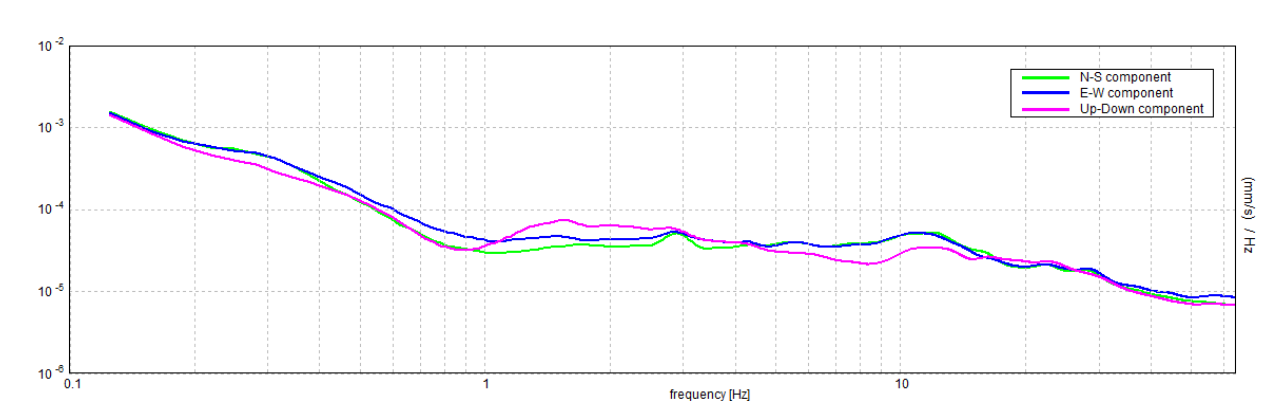
Smoothing: 10%

HORIZONTAL TO VERTICAL SPECTRAL RATIO



H/V TIME HISTORY DIRECTIONAL H/V

SINGLE COMPONENT SPECTRA





[According to the SESAME, 2005 guidelines. Please read carefully the *Grilla* manual before interpreting the following tables.]

Max. H/V at 8.63 ± 0.29 Hz (in the range 0.1 - 20.0 Hz).

Criteria for a reliable H/V curve [All 3 should be fulfilled]						
$f_0 > 10 / L_w$	8.63 > 0.50	OK				
$n_c(f_0) > 200$	7762.5 > 200	OK				
$\sigma_A(f) < 2 \text{ for } 0.5f_0 < f < 2f_0 \text{ if } f_0 > 0.5\text{Hz}$ $\sigma_A(f) < 3 \text{ for } 0.5f_0 < f < 2f_0 \text{ if } f_0 < 0.5\text{Hz}$	Exceeded 0 out of 415 times	OK				
Criteria for a clear H/V peak [At least 5 out of 6 should be fulfilled]						
Exists f in $[f_0/4, f_0] \mid A_{H/V}(f) < A_0 / 2$	3.531 Hz	OK				
Exists f^+ in $[f_0, 4f_0] A_{H/V}(f^+) < A_0 / 2$	17.281 Hz	OK				
$A_0 > 2$	1.84 > 2		NO			
$f_{peak}[A_{H/V}(f) \pm \sigma_A(f)] = f_0 \pm 5\%$	0.01643 < 0.05	OK				
$\sigma_{\rm f} < \epsilon({\sf f}_0)$	0.14175 < 0.43125	OK				
$\sigma_{A}(f_0) < \theta(f_0)$	0.158 < 1.58	OK				

L _w	window length
n_w	number of windows used in the analysis
$n_c = L_w n_w f_0$	number of significant cycles
f	current frequency
f_0	H/V peak frequency
σ_{f}	standard deviation of H/V peak frequency
$\varepsilon(f_0)$	threshold value for the stability condition $\sigma_f < \epsilon(f_0)$
A_0	H/V peak amplitude at frequency f ₀
$A_{H/V}(f)$	H/V curve amplitude at frequency f
f =	frequency between $f_0/4$ and f_0 for which $A_{H/V}(f^-) < A_0/2$
f ⁺	frequency between f_0 and $4f_0$ for which $A_{H/V}(f^+) < A_0/2$
$\sigma_{A}(f)$	standard deviation of $A_{H/V}(f)$, $\sigma_A(f)$ is the factor by which the mean $A_{H/V}(f)$ curve
	should be multiplied or divided
$\sigma_{logH/V}(f)$	standard deviation of log A _{H/V} (f) curve
$\theta(f_0)$	threshold value for the stability condition $\sigma_A(f) < \theta(f_0)$

Threshold values for σ_f and $\sigma_A(f_0)$							
Freq. range [Hz]	< 0.2	0.2 - 0.5	0.5 - 1.0	1.0 - 2.0	> 2.0		
$\varepsilon(f_0)$ [Hz]	0.25 f ₀	0.2 f ₀	0.15 f ₀	0.10 f ₀	0.05 f ₀		
$\theta(f_0)$ for $\sigma_A(f_0)$	3.0	2.5	2.0	1.78	1.58		
$\log \theta(f_0)$ for $\sigma_{\log H/V}(f_0)$	0.48	0.40	0.30	0.25	0.20		